

Chapitre VI-1/Chapter VI-1

Analyse des sous-populations de souches
selon leur niveau de sensibilité
(informations de type 1)

*Sub-population analysis of isolates
according to their susceptibility level
(type 1 information)*

Figures 1.1 à 1.96/*Figures 1.1 to 1.96*

Tableaux 1.1 à 1.12/*Tables 1.1 to 1.12*

Dans les figures suivantes, la valeur de diamètre 36 mm correspond en fait à ≥ 36 mm. En effet, 36 mm est souvent la valeur maximale mesurée par les caméras ou entrée dans les systèmes de gestion des laboratoires.

D et d représentent les valeurs supérieures et inférieures des diamètres critiques.

In the following Figures, the 36 mm diameter value corresponds to ≥ 36 mm. Indeed, 36 mm is often the highest value given by automatic cameras or recorded in laboratory information systems.

D and d represent the high and low critical values of diameters.

Figure 1.1

Escherichia coli
non BLSE (17 443 souches) :
distribution des diamètres
d'inhibition pour l'association
amoxicilline-clavulanate

Escherichia coli
non ESBL (17443 strains):
distribution of inhibition zone
diameters for amoxicillin-
clavulanate; (Réseau REUSSIR,
2008). Cf. Tableau 1.1

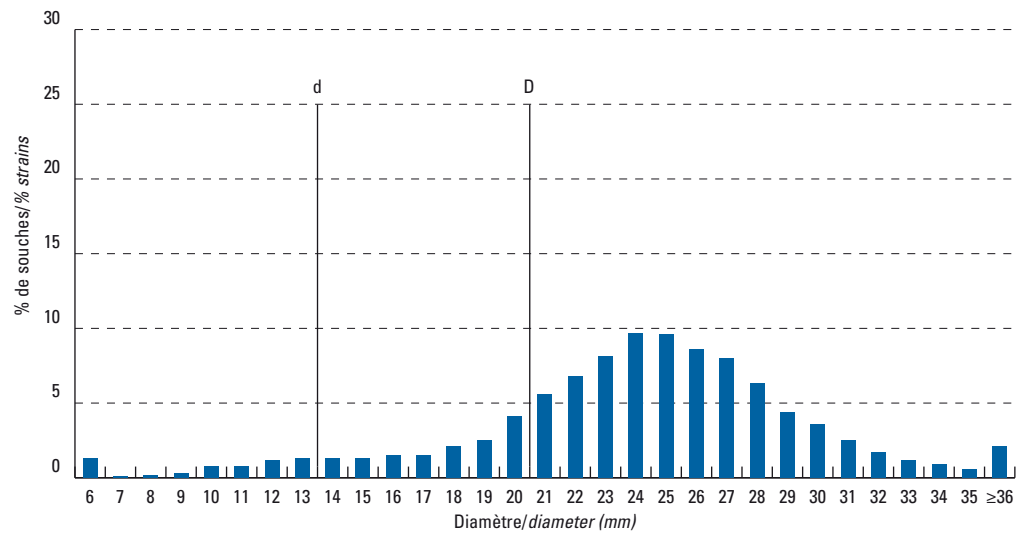


Figure 1.2

Escherichia coli
non BLSE (9 294 souches) :
distribution des diamètres
d'inhibition pour l'association
ticarcilline-clavulanate

Escherichia coli
non ESBL (9294 strains):
distribution of inhibition zone
diameters for ticarcillin-
clavulanate (Réseau REUSSIR,
2008). Cf. Tableau 1.1

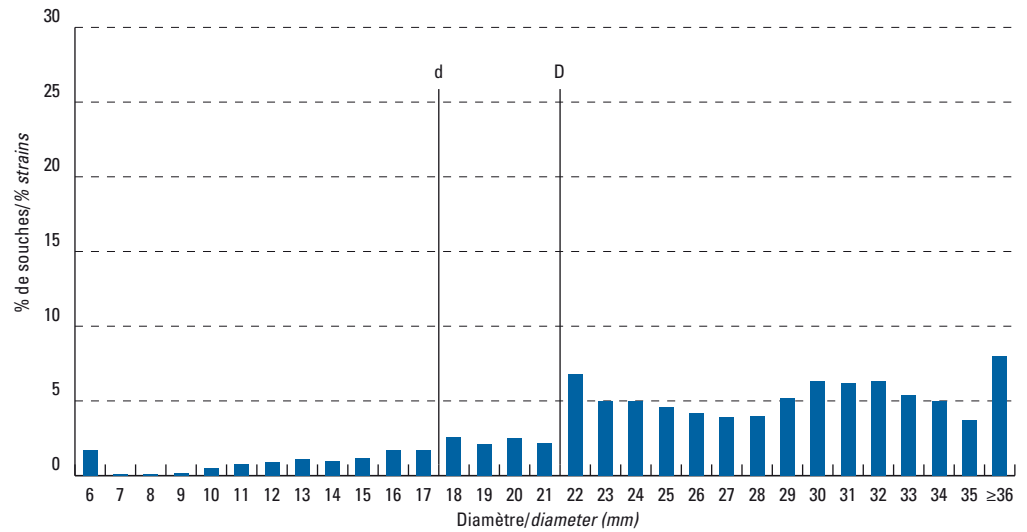


Figure 1.3

Escherichia coli
non BLSE (11 858 souches) :
distribution des diamètres
d'inhibition pour l'association
pipéracilline-tazobactam

Escherichia coli
non ESBL (11858 strains):
distribution of inhibition zone
diameters for piperacillin-
tazobactam (Réseau REUSSIR,
2008). Cf. Tableau 1.1

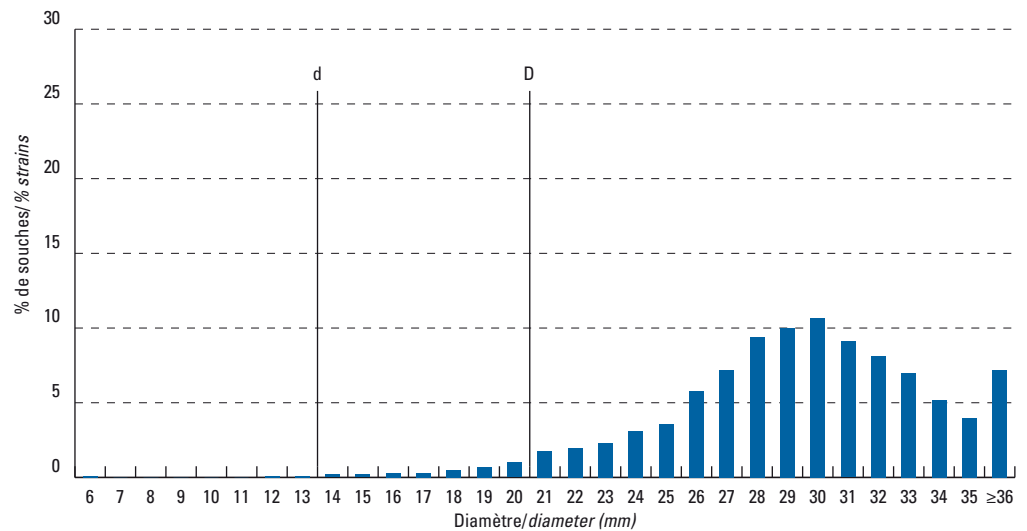


Figure 1.4
Escherichia coli
 non BLSE (9 779 souches) :
 distribution des diamètres
 d'inhibition pour la céfoxitine

Escherichia coli
 non ESBL (9779 strains):
 distribution of inhibition zone
 diameters for cefoxitin
 (Réseau REUSSIR, 2008).
 Cf. Tableau 1.1

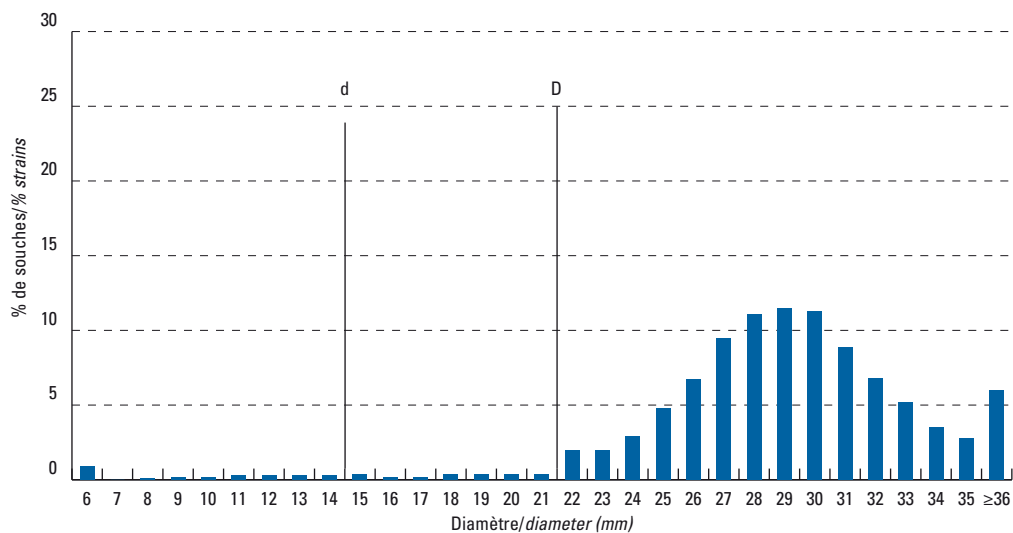


Figure 1.5
Escherichia coli
 non BLSE (15 847 souches) :
 distribution des diamètres
 d'inhibition pour le céfotaxime

Escherichia coli
 non ESBL (15847 strains):
 distribution of inhibition zone
 diameters for cefotaxime
 (Réseau REUSSIR, 2008).
 Cf. Tableau 1.1

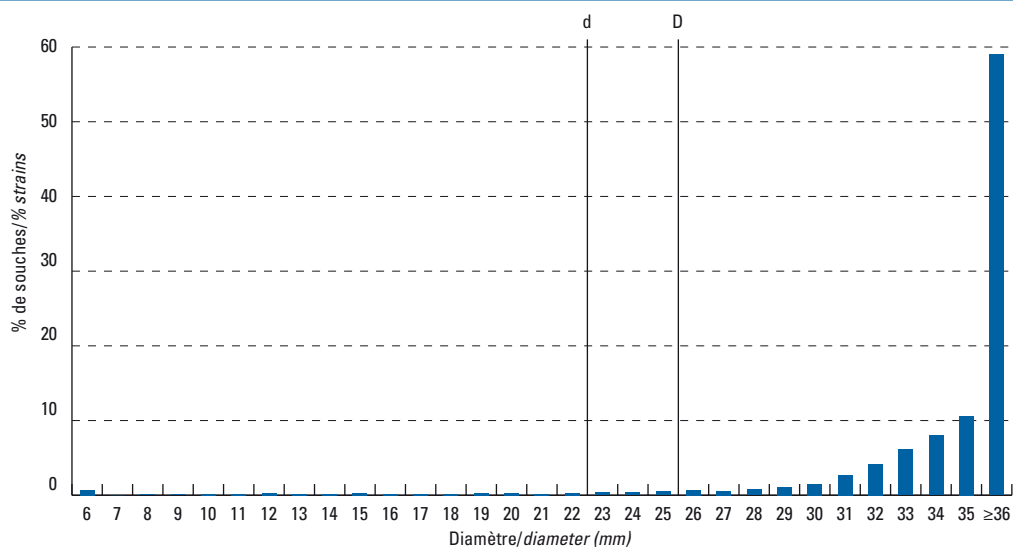


Figure 1.6
Escherichia coli
 non BLSE (15 885 souches) :
 distribution des diamètres
 d'inhibition pour la ceftazidime

Escherichia coli
 non ESBL (15885 strains):
 distribution of inhibition zone
 diameters for ceftazidime
 (Réseau REUSSIR, 2008).
 Cf. Tableau 1.1

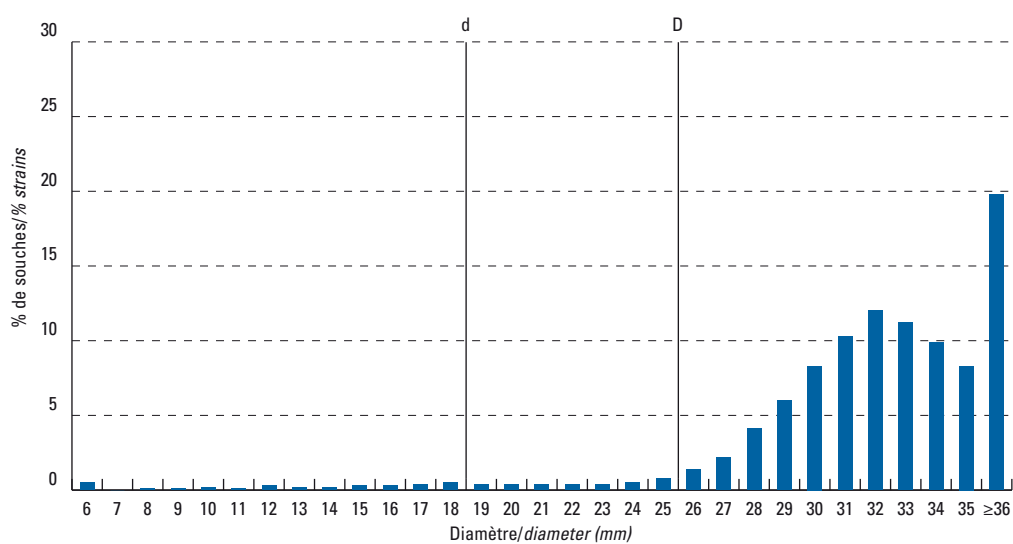


Figure 1.7
Escherichia coli
 non BLSE (8 671 souches) :
 distribution des diamètres
 d'inhibition pour l'aztréonam

Escherichia coli
 non ESBL (8671 strains):
 distribution of inhibition zone
 diameters for aztreonam
 (Réseau REUSSIR, 2008).
 Cf. Tableau 1.1

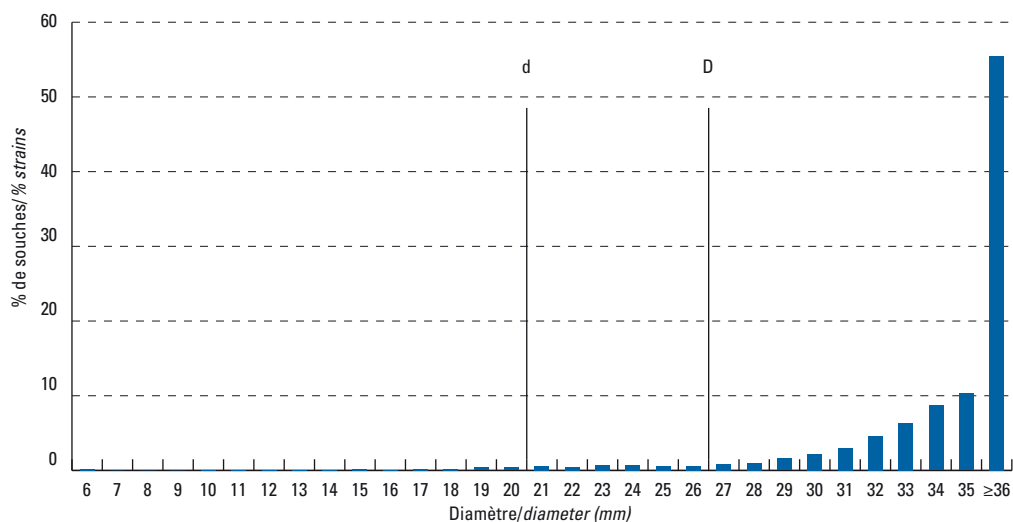


Figure 1.8
Escherichia coli
 non BLSE (10 429 souches) :
 distribution des diamètres
 d'inhibition pour le céfépime

Escherichia coli
 non ESBL (10429 strains):
 distribution of inhibition zone
 diameters for cefepime
 (Réseau REUSSIR, 2008). Cf. Tableau 1.1

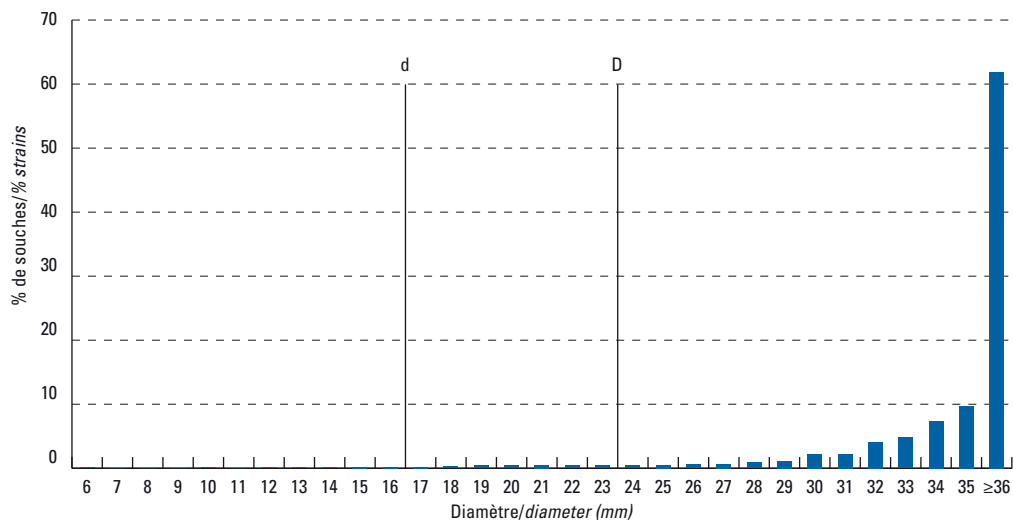


Figure 1.9
Escherichia coli
 non BLSE (1 768 souches) :
 distribution des diamètres
 d'inhibition pour le céfpirome

Escherichia coli
 non ESBL (1768 strains):
 distribution of inhibition zone
 diameters for ceftiofime
 (Réseau REUSSIR, 2008).
 Cf. Tableau 1.1

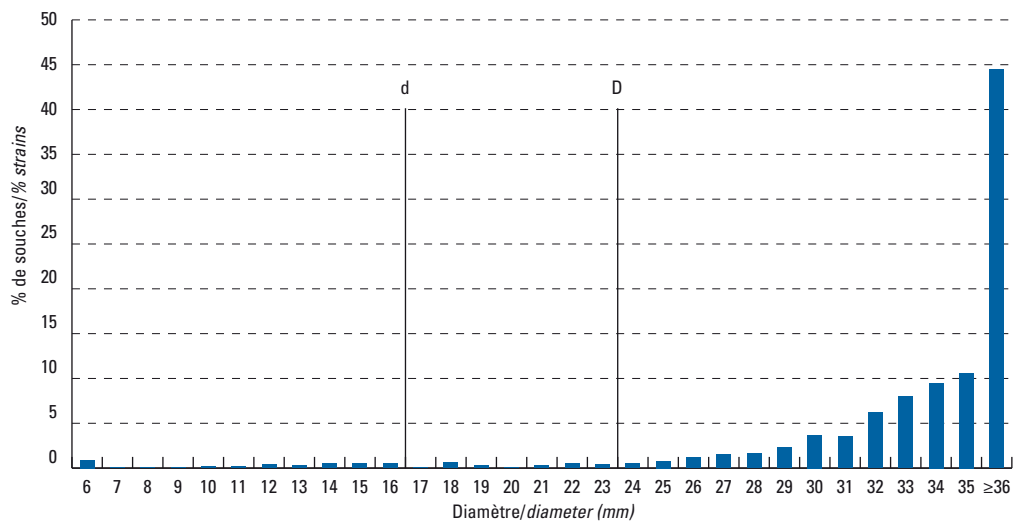


Figure 1.10
Escherichia coli
 non BLSE (11 816 souches) :
 distribution des diamètres
 d'inhibition pour l'imipénème

Escherichia coli
 non ESBL (11816 strains):
 distribution of inhibition zone
 diameters for imipenem
 (Réseau REUSSIR, 2008).
 Cf. Tableau 1.1

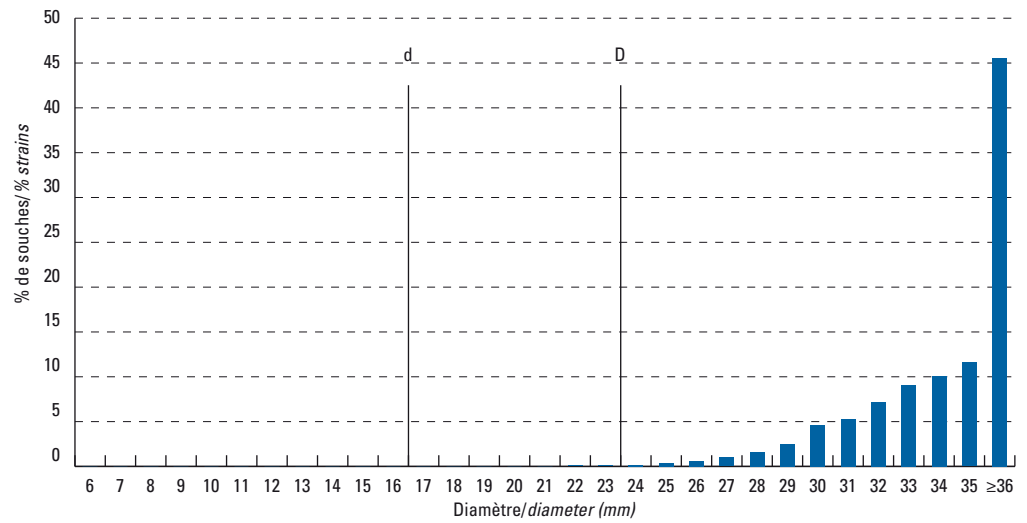


Figure 1.11
Escherichia coli
 BLSE + (1 105 souches) :
 distribution des diamètres
 d'inhibition pour l'association
 amoxicilline-clavulanate

Escherichia coli
 ESBL + (1105 strains):
 distribution of inhibition zone
 diameters for amoxicillin-
 clavulanate; (Réseau REUSSIR,
 2008). Cf. Tableau 1.2

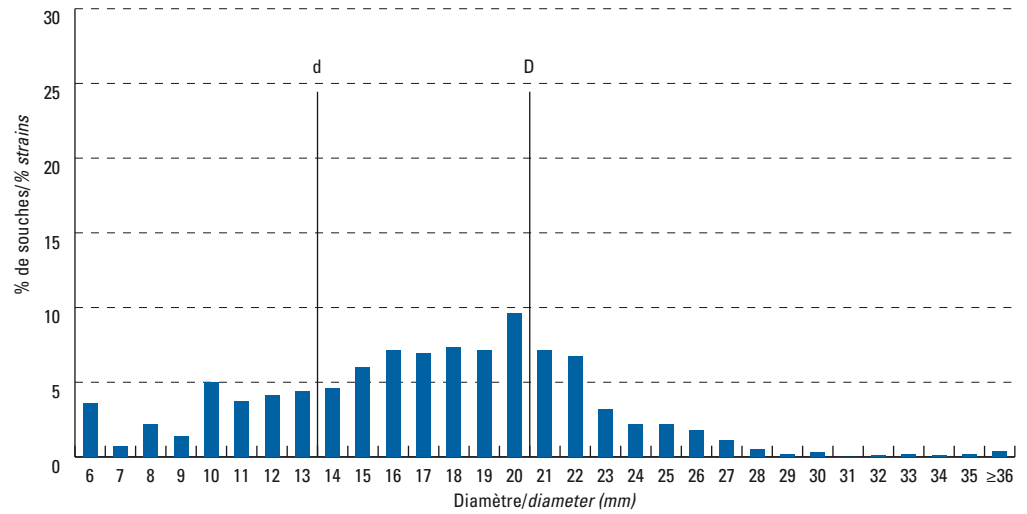


Figure 1.12
Escherichia coli
 BLSE + (525 souches) :
 distribution des diamètres
 d'inhibition pour l'association
 ticarcilline-clavulanate

Escherichia coli
 ESBL + (525 strains):
 distribution of inhibition zone
 diameters for ticarcillin-
 clavulanate (Réseau
 REUSSIR, 2008).
 Cf. Tableau 1.2

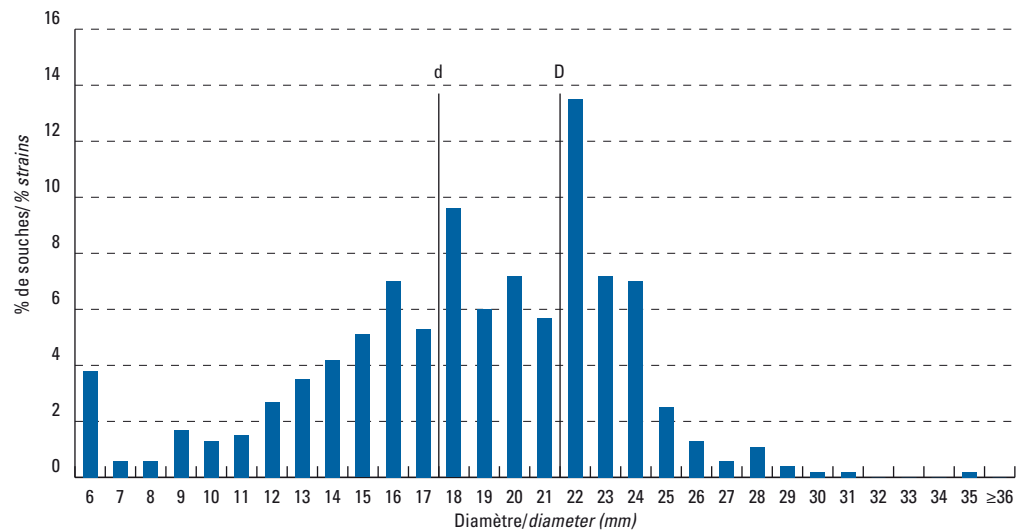


Figure 1.13

Escherichia coli

BLSE + (613 souches) :
distribution des diamètres
d'inhibition pour l'association
pipéracilline-tazobactam

Escherichia coli

ESBL + (613 strains):
distribution of inhibition zone
diameters for
piperacillin-tazobactam
(Réseau REUSSIR, 2008).
Cf. Tableau 1.2

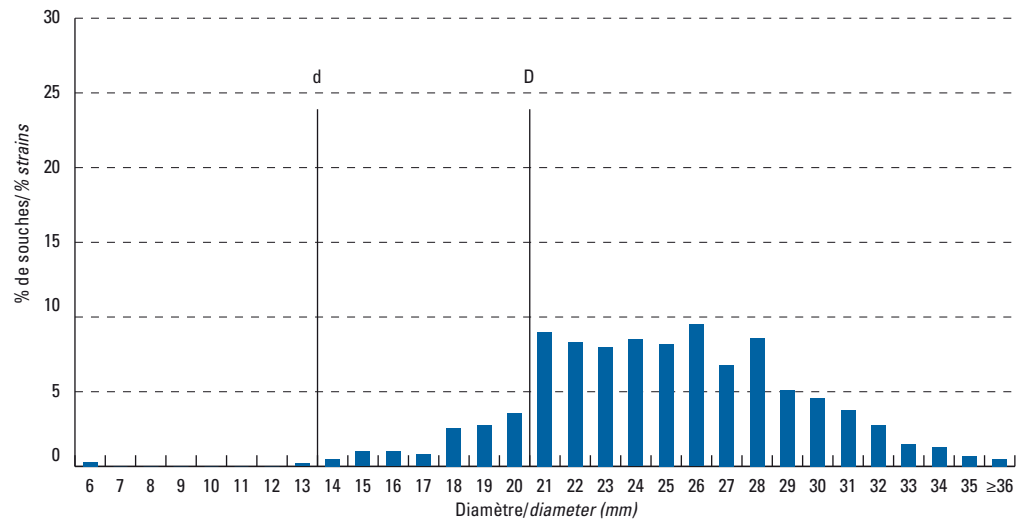


Figure 1.14

Escherichia coli

BLSE + (491 souches) :
distribution des diamètres
d'inhibition pour la céfoxitine

Escherichia coli

ESBL + (491 strains):
distribution of inhibition zone
diameters for
cefoxitin (Réseau REUSSIR,
2008). Cf. Tableau 1.2

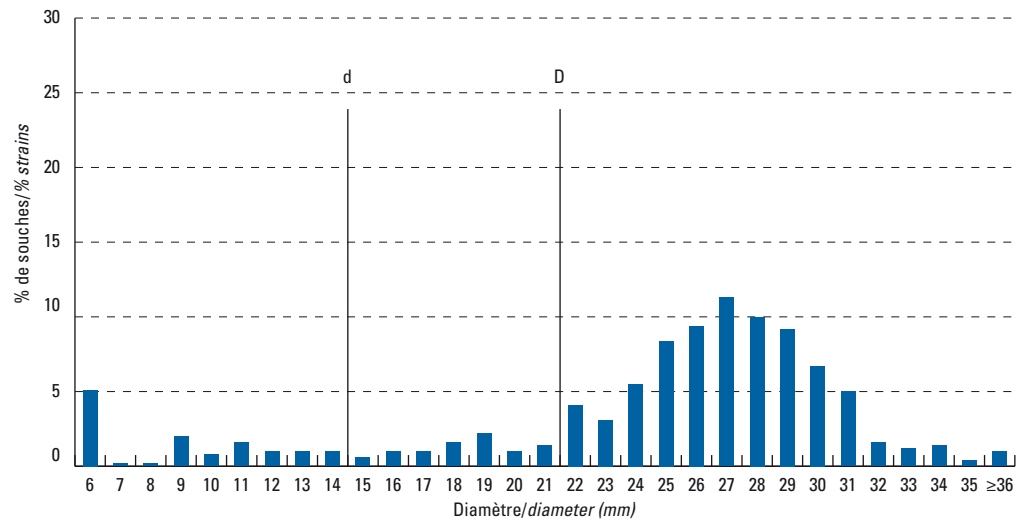


Figure 1.15

Escherichia coli

BLSE + (1 064 souches) :
distribution des diamètres
d'inhibition pour le céfotaxime

Escherichia coli

ESBL + (1064 strains):
distribution of inhibition zone
diameters for
cefotaxime (Réseau REUSSIR,
2008). Cf. Tableau 1.2

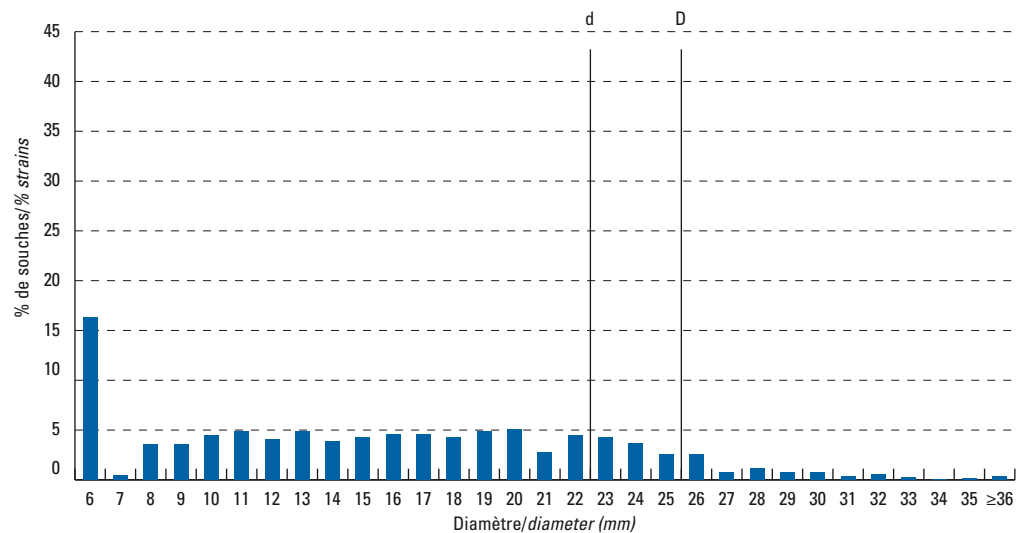


Figure 1.16
Escherichia coli
 BLSE + (1 013 souches) :
 distribution des diamètres
 d'inhibition pour la ceftazidime

Escherichia coli
 ESBL + (1013 strains):
 distribution of inhibition zone
 diameters for ceftazidime
 (Réseau REUSSIR, 2008).
 Cf. Tableau 1.2

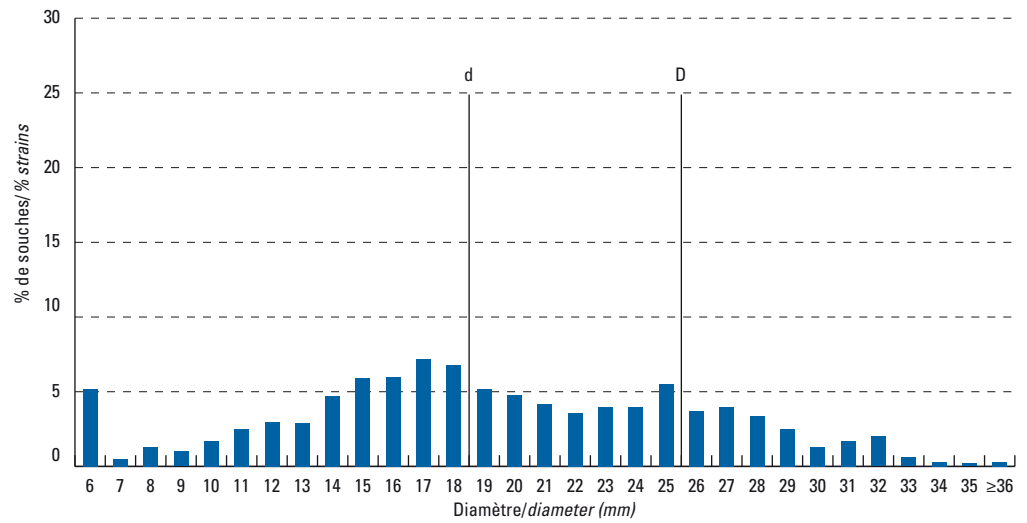


Figure 1.17
Escherichia coli
 BLSE + (657 souches) :
 distribution des diamètres
 d'inhibition pour l'aztréonam

Escherichia coli
 ESBL + (657 strains):
 distribution of inhibition zone
 diameters for aztreonam
 (Réseau REUSSIR,
 2008). Cf. Tableau 1.2

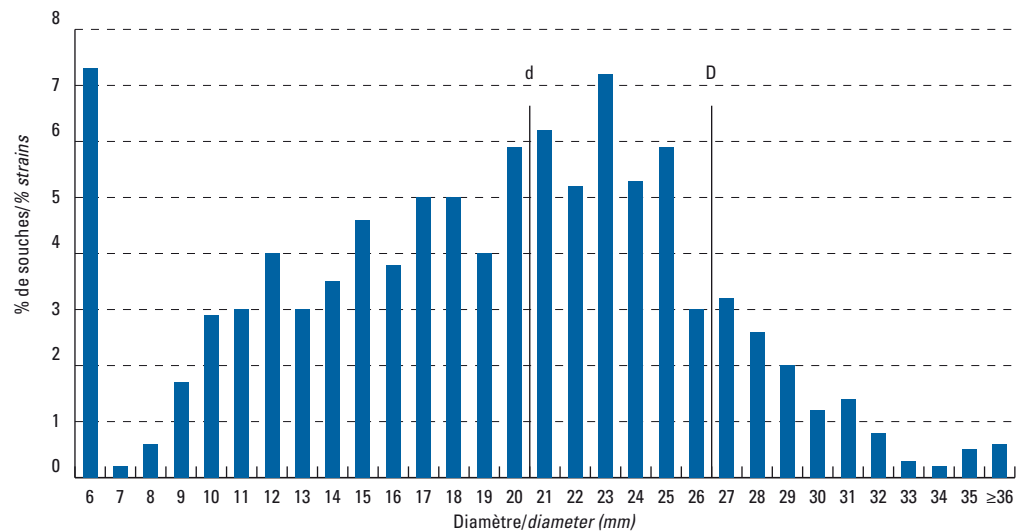


Figure 1.18
Escherichia coli
 BLSE + (986 souches) :
 distribution des diamètres
 d'inhibition pour le céfépime

Escherichia coli
 ESBL + (986 strains):
 distribution of inhibition zone
 diameters for cefepime
 (Réseau REUSSIR,
 2008). Cf. Tableau 1.2

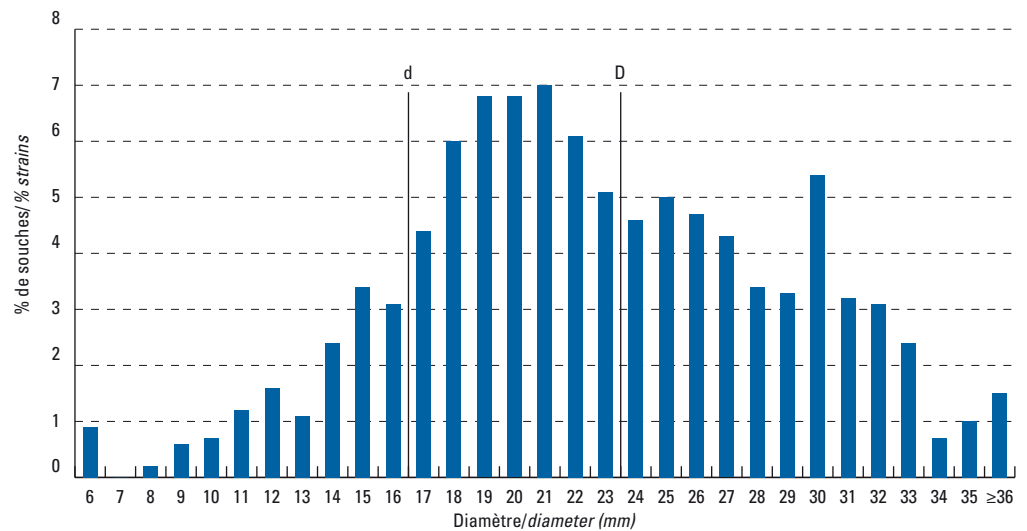


Figure 1.19

Escherichia coli

BLSE + (139 souches) :
distribution des diamètres
d'inhibition pour le cefpirome

Escherichia coli

ESBL + (139 strains):
distribution of inhibition zone diameters for
cefepime (Réseau REUSSIR,
2008). Cf. Tableau 1.2

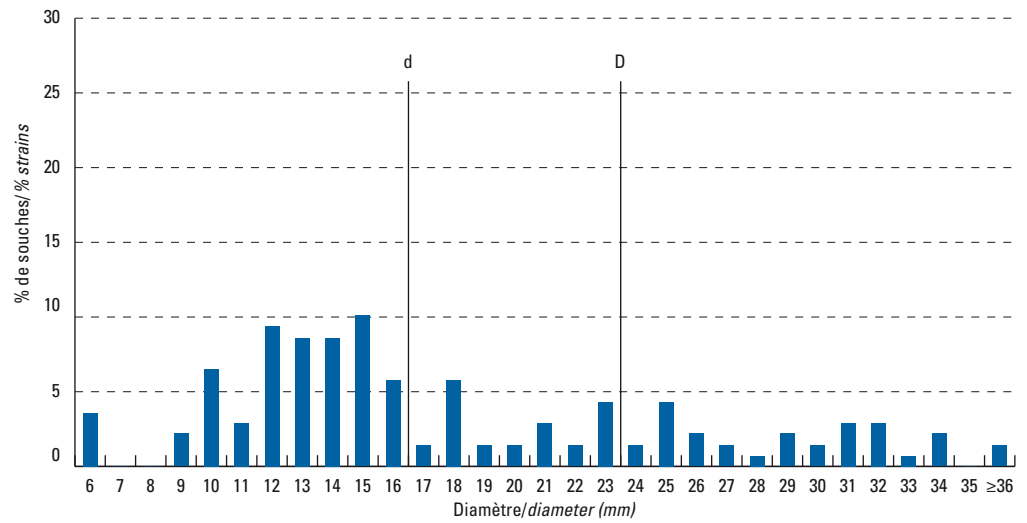


Figure 1.20

Escherichia coli

BLSE + (687 souches) :
distribution des diamètres
d'inhibition pour l'imipénème

Escherichia coli

ESBL + (687 strains):
distribution of inhibition zone diameters for
imipenem (Réseau REUSSIR,
2008). Cf. Tableau 1.2

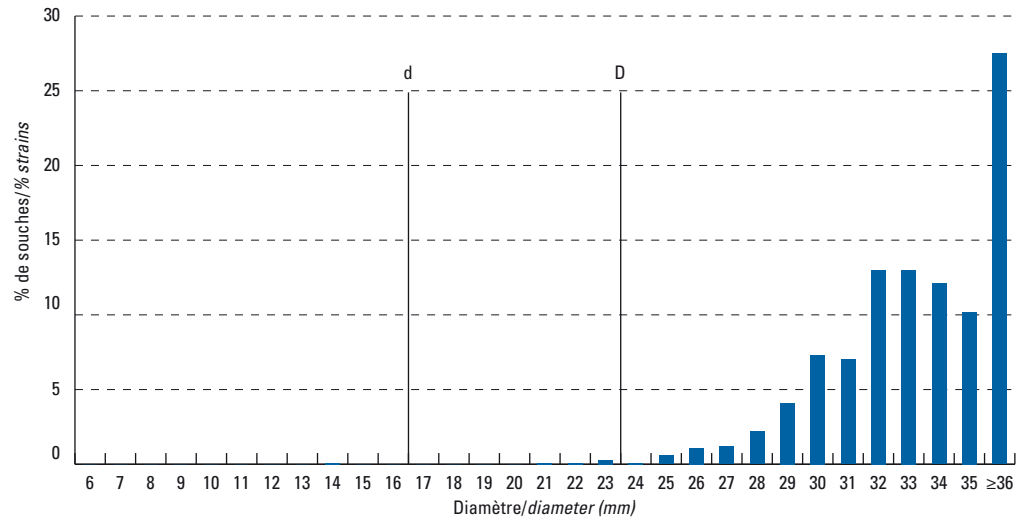


Figure 1.21

Klebsiella pneumoniae

non BLSE (2 022 souches) :
distribution des diamètres
d'inhibition pour l'association
amoxicilline-clavulanate

Klebsiella pneumoniae

non ESBL (2022 strains):
distribution of inhibition zone
diameters for amoxicillin-
clavulanate (Réseau
REUSSIR, 2008). Cf. Tableau 1.3

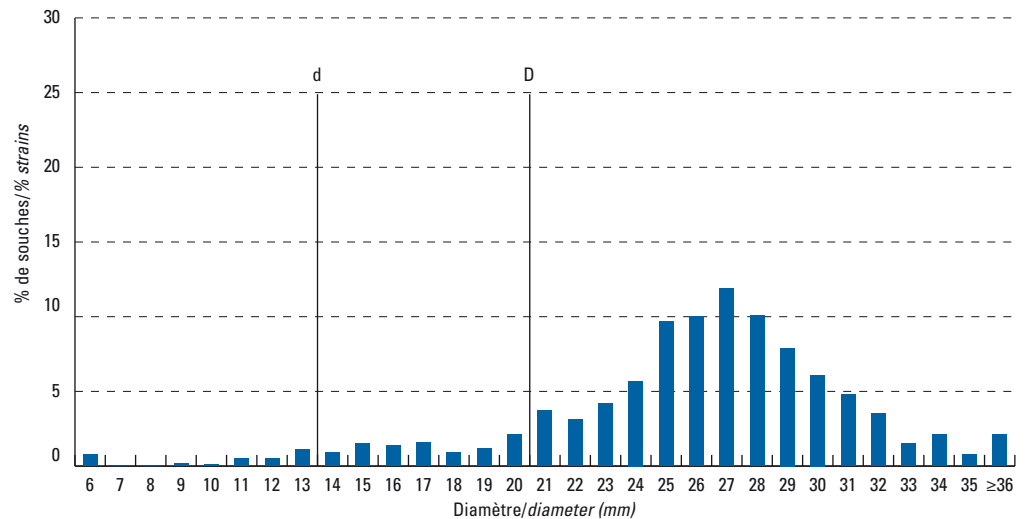


Figure 1.22

Klebsiella pneumoniae
non BLSE (1 210 souches) :
distribution des diamètres
d'inhibition pour l'association
ticarcilline-clavulanate

Klebsiella pneumoniae
non ESBL (1210 strains):
distribution of inhibition zone
diameters for ticarcillin-
clavulanate (Réseau REUSSIR,
2008). Cf. Tableau 1.3

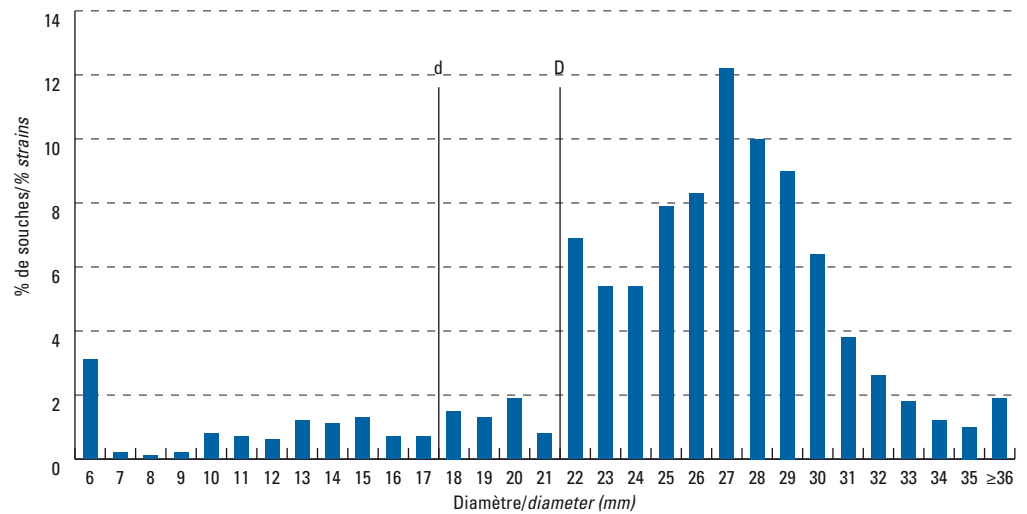


Figure 1.23

Klebsiella pneumoniae
non BLSE (1 448 souches) :
distribution des diamètres
d'inhibition pour l'association
pipéracilline-tazobactam

Klebsiella pneumoniae
non ESBL (1448 strains):
distribution of inhibition zone
diameters for piperacillin-
tazobactam (Réseau REUSSIR,
2008). Cf. Tableau 1.3

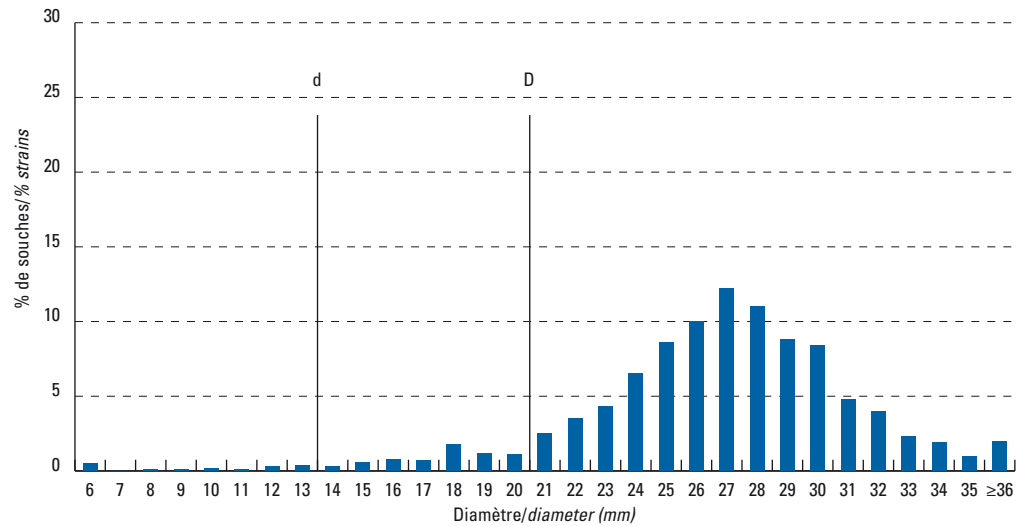


Figure 1.24

Klebsiella pneumoniae
non BLSE (1 260 souches) :
distribution des diamètres
d'inhibition pour la céfoxitine

Klebsiella pneumoniae
non ESBL (1260 strains):
distribution of inhibition zone
diameters for ceftiofime
(Réseau REUSSIR, 2008).
Cf. Tableau 1.3

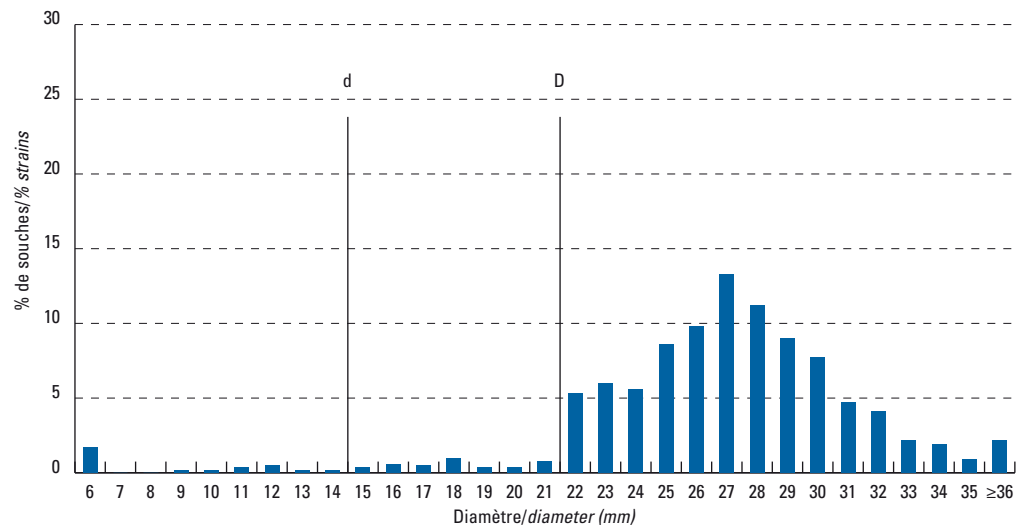


Figure 1.25
Klebsiella pneumoniae
 non BLSE (1 885 souches) :
 distribution des diamètres
 d'inhibition pour le céfotaxime

Klebsiella pneumoniae
 non ESBL (1885 strains):
 distribution of inhibition zone
 diameters for cefotaxime
 (Réseau REUSSIR, 2008).
 Cf. Tableau 1.3

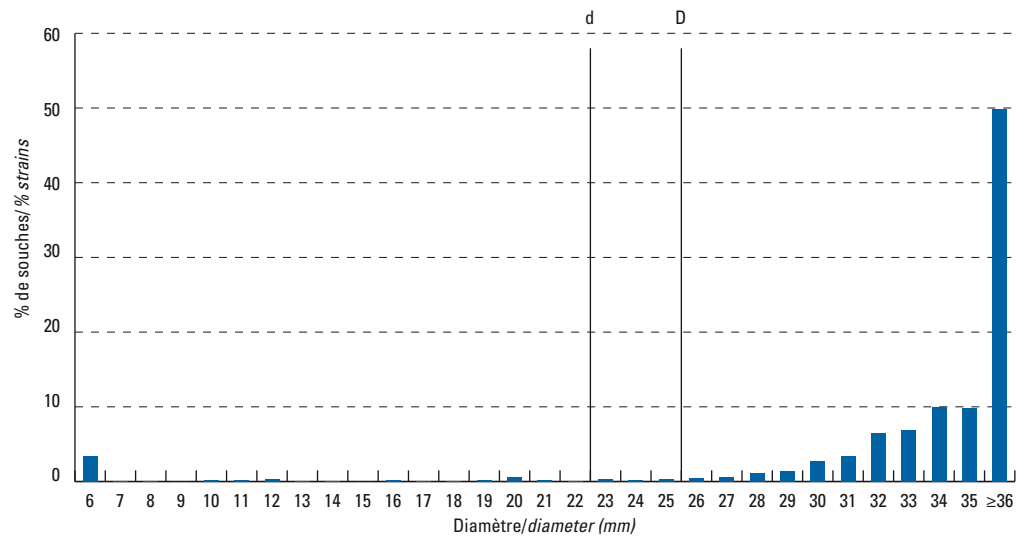


Figure 1.26
Klebsiella pneumoniae
 non BLSE (1 794 souches) :
 distribution des diamètres
 d'inhibition pour la ceftazidime

Klebsiella pneumoniae
 non ESBL (1794 strains):
 distribution of inhibition zone
 diameters for ceftazidime
 (Réseau REUSSIR, 2008).
 Cf. Tableau 1.3

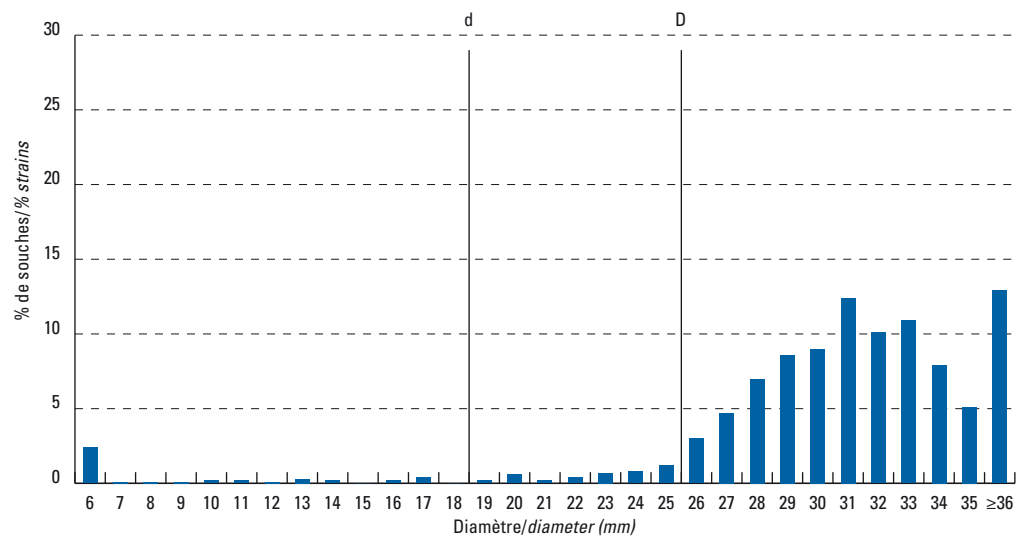


Figure 1.27
Klebsiella pneumoniae
 non BLSE (1 007 souches) :
 distribution des diamètres
 d'inhibition pour l'aztréonam

Klebsiella pneumoniae
 non ESBL (1007 strains):
 distribution of inhibition zone
 diameters for aztreonam
 (Réseau REUSSIR, 2008).
 Cf. Tableau 1.3

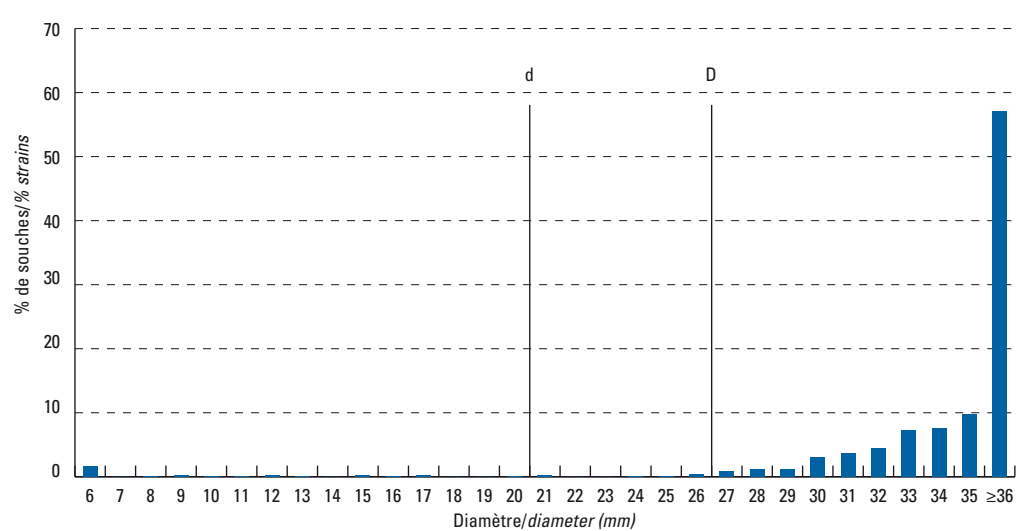


Figure 1.28

Klebsiella pneumoniae
non BLSE (1 370 souches) :
distribution des diamètres
d'inhibition pour le céfépime

Klebsiella pneumoniae
non ESBL (1370 strains):
distribution of inhibition zone
diameters for cefepime
(Réseau REUSSIR, 2008).
Cf. Tableau 1.3

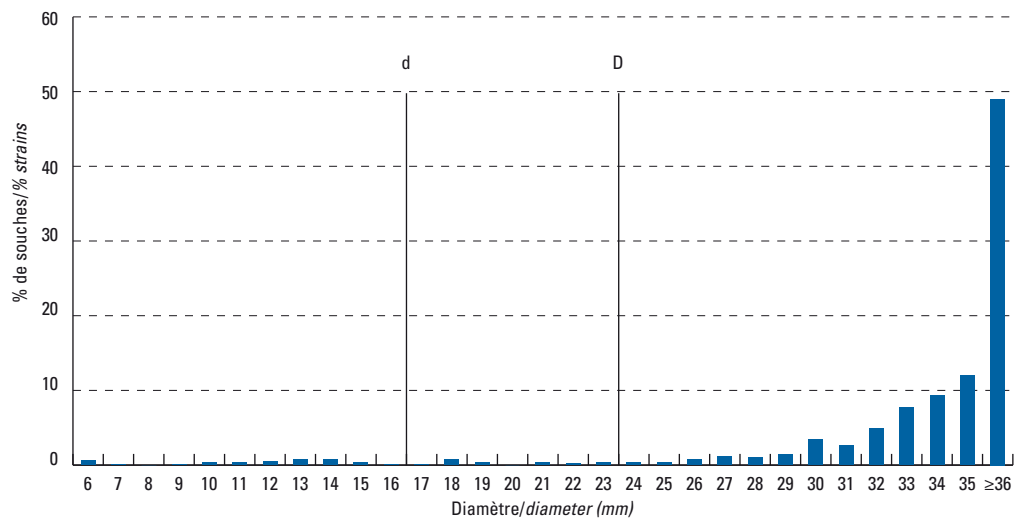


Figure 1.29

Klebsiella pneumoniae
non BLSE (363 souches) :
distribution des diamètres
d'inhibition pour le céfiprome

Klebsiella pneumoniae
non ESBL (363 strains):
distribution of inhibition zone
diameters for ceftiofime
(Réseau REUSSIR, 2008).
Cf. Tableau 1.3

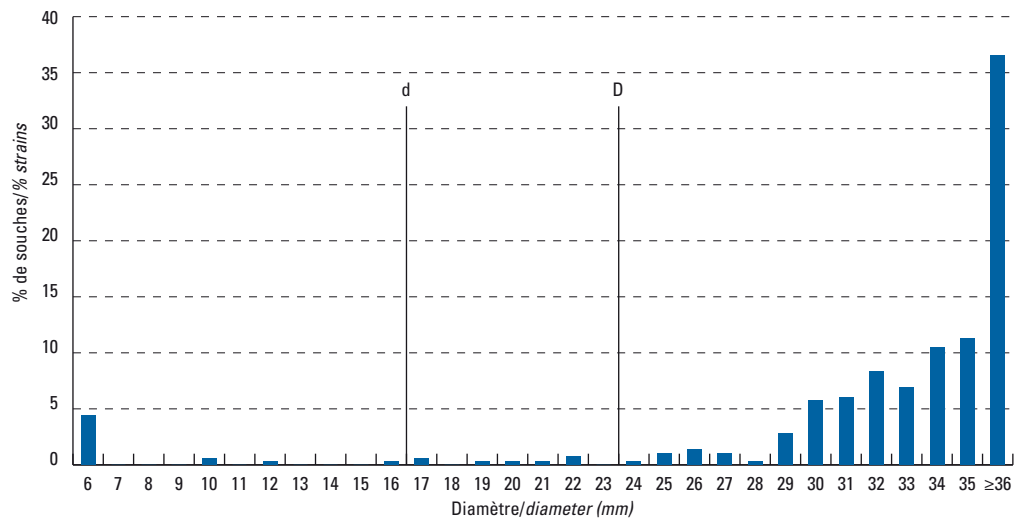


Figure 1.30

Klebsiella pneumoniae
non BLSE (1 474 souches) :
distribution des diamètres
d'inhibition pour l'imipénème

Klebsiella pneumoniae
non ESBL (1474 strains):
distribution of inhibition zone
diameters for imipenem
(Réseau REUSSIR, 2008).
Cf. Tableau 1.3

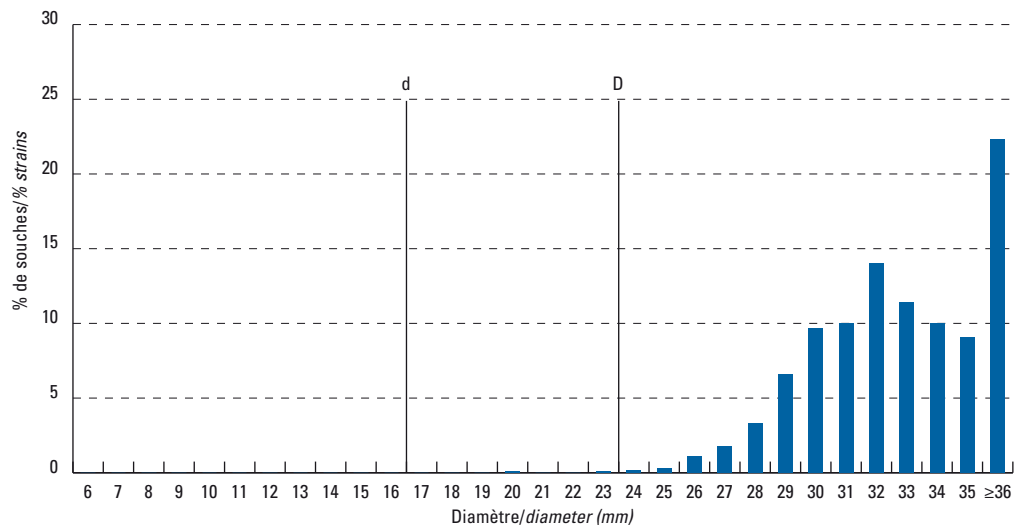


Figure 1.31

Klebsiella pneumoniae
BLSE + (324 souches) :
distribution des diamètres
d'inhibition pour l'association
amoxicilline-clavulanate

Klebsiella pneumoniae
ESBL + (324 souches):
distribution
of inhibition zone diameters for
amoxicillin-clavulanate;
(Réseau REUSSIR, 2008).
Cf. Tableau 1.4

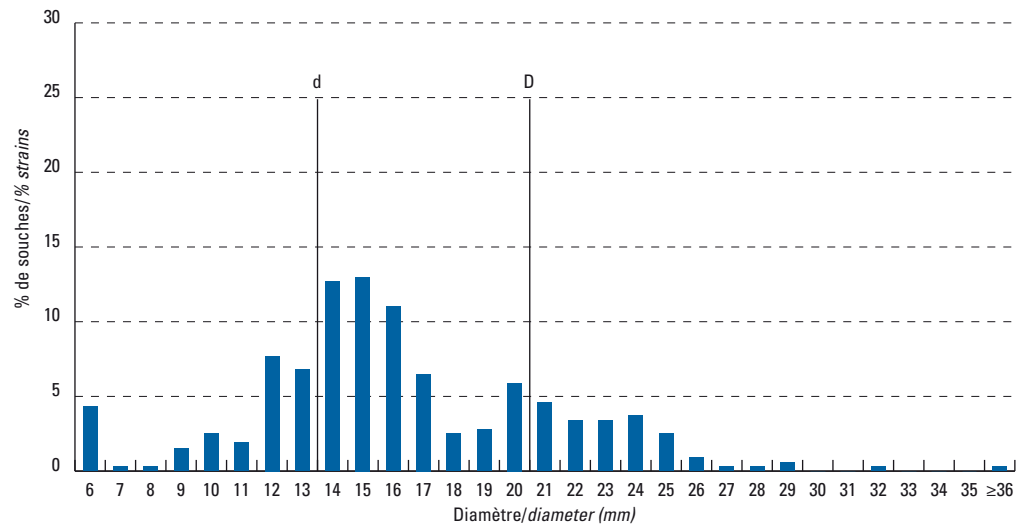


Figure 1.32

Klebsiella pneumoniae
BLSE + (214 souches) :
distribution des diamètres
d'inhibition pour l'association
ticarcilline-clavulanate

Klebsiella pneumoniae
ESBL + (214 souches):
distribution
of inhibition zone diameters for
ticarcillin-clavulanate (Réseau
REUSSIR, 2008). Cf. Tableau 1.4

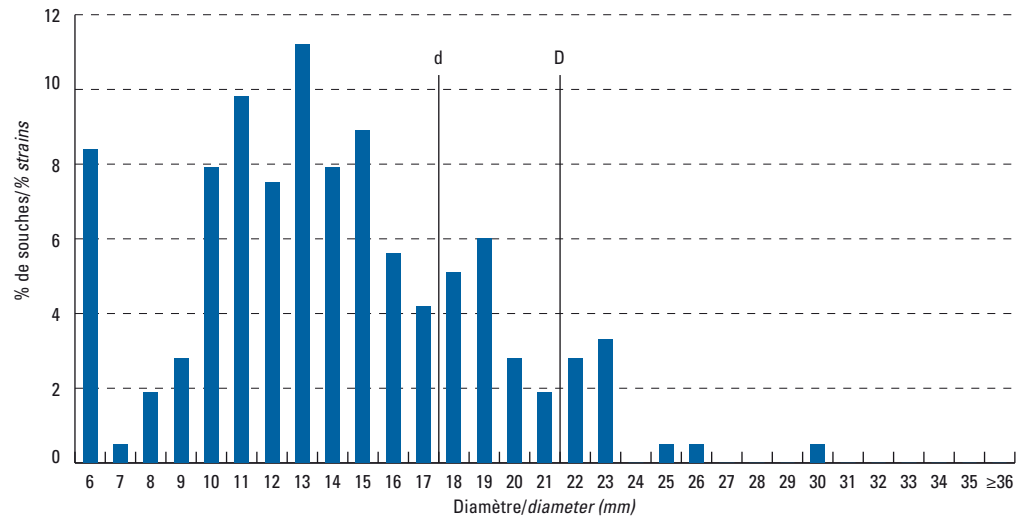


Figure 1.33

Klebsiella pneumoniae
BLSE + (211 souches) :
distribution des diamètres
d'inhibition pour l'association
pipéracilline-tazobactam

Klebsiella pneumoniae
ESBL + (211 souches):
distribution
of inhibition zone diameters for
piperacillin-tazobactam
(Réseau REUSSIR, 2008).
Cf. Tableau 1.4

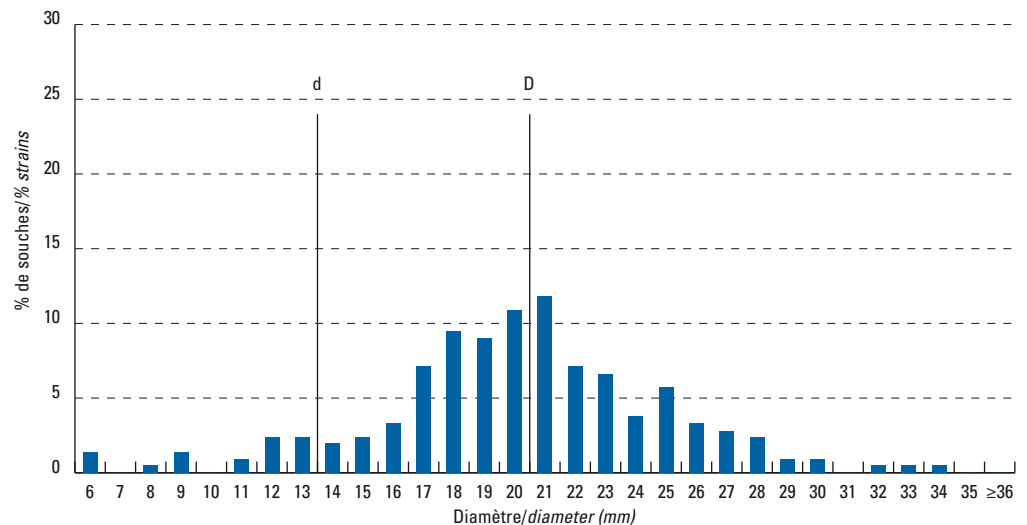


Figure 1.34
Klebsiella pneumoniae
 BLSE + (233 souches) :
 distribution des diamètres
 d'inhibition pour la céfoxitine

Klebsiella pneumoniae
 ESBL + (233 strains):
 distribution of inhibition zone
 diameters for
 ceftaxime (Réseau REUSSIR,
 2008). Cf. Tableau 1.4

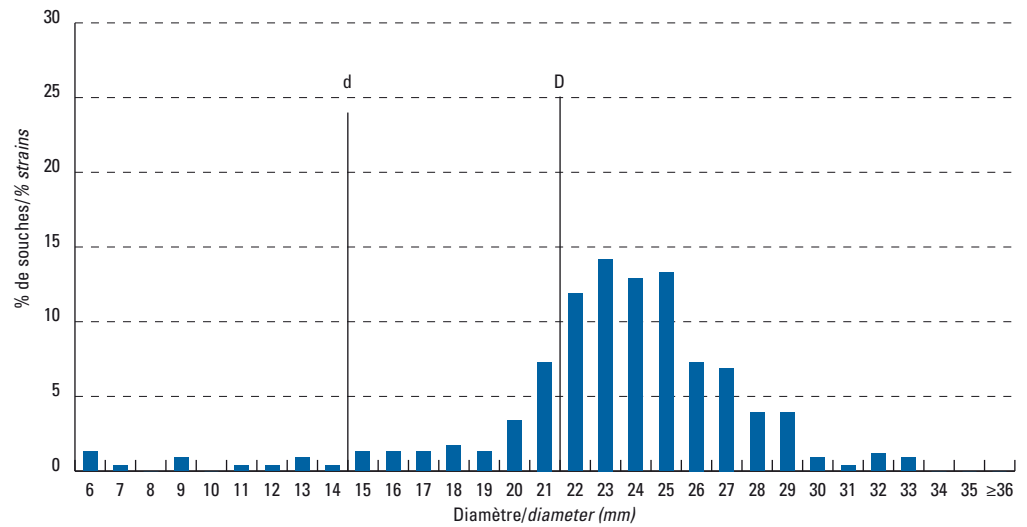


Figure 1.35
Klebsiella pneumoniae
 BLSE + (316 souches) :
 distribution des diamètres
 d'inhibition pour le céfotaxime

Klebsiella pneumoniae
 ESBL + (316 strains):
 distribution of inhibition zone
 diameters for
 ceftaxime (Réseau REUSSIR,
 2008). Cf. Tableau 1.4

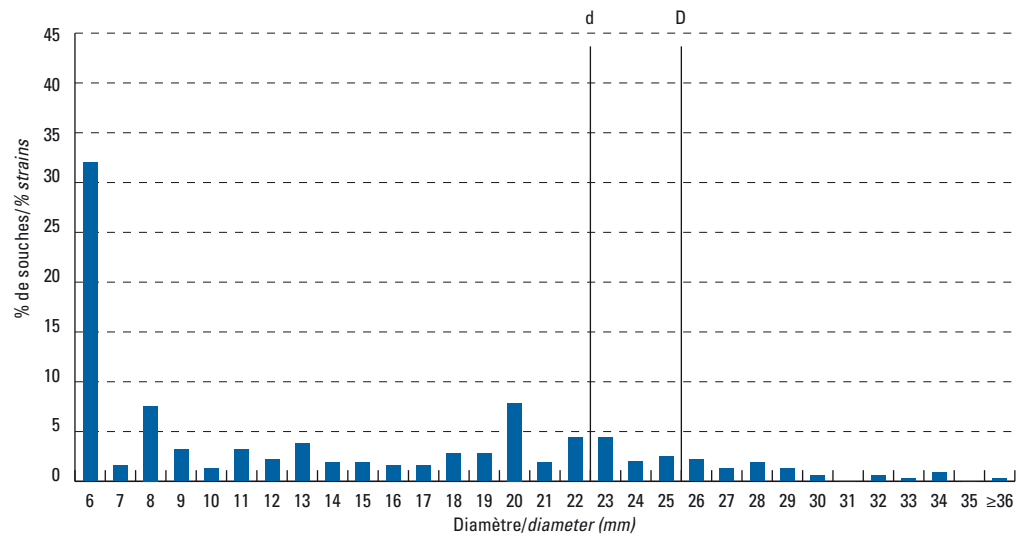


Figure 1.36
Klebsiella pneumoniae
 BLSE + (301 souches) :
 distribution des diamètres
 d'inhibition pour la ceftazidime

Klebsiella pneumoniae
 ESBL + (301 strains):
 distribution of inhibition zone
 diameters for
 ceftazidime (Réseau REUSSIR,
 2008). Cf. Tableau 1.4

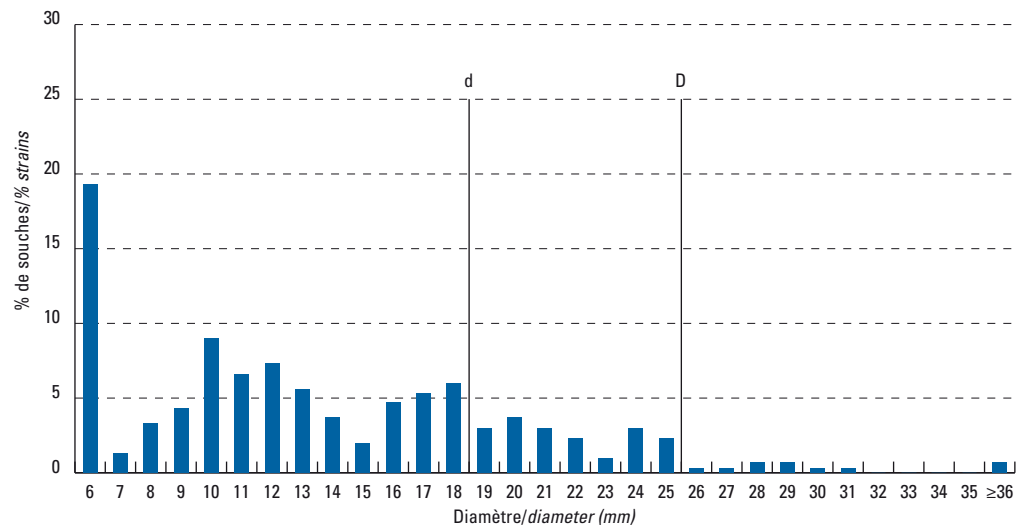


Figure 1.37
Klebsiella pneumoniae
 BLSE + (221 souches) :
 distribution des diamètres
 d'inhibition pour l'aztréonam

Klebsiella pneumoniae
 ESBL + (221 strains):
 distribution of inhibition zone
 diameters for aztreonam (Réseau
 REUSSIR, 2008). Cf. Tableau 1.4

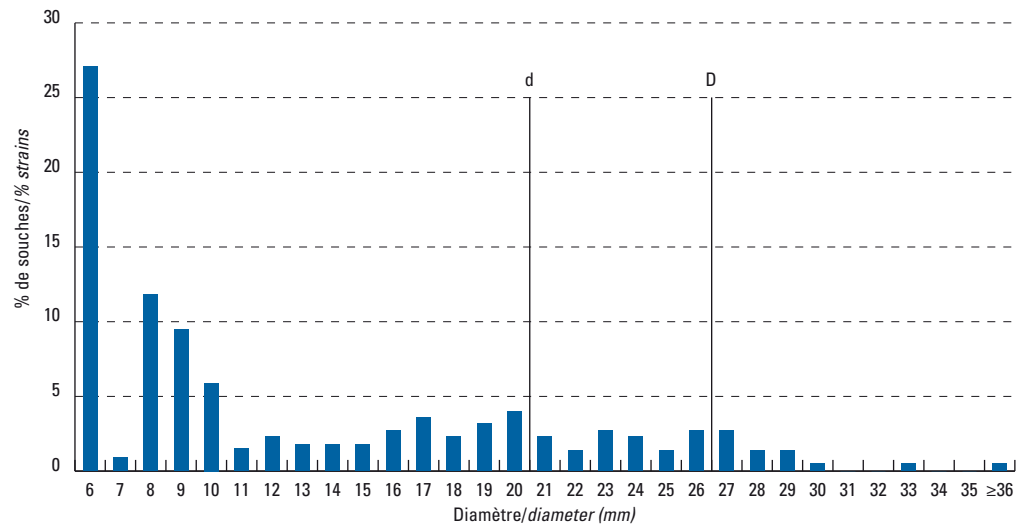


Figure 1.38
Klebsiella pneumoniae
 BLSE + (291 souches) :
 distribution des diamètres
 d'inhibition pour le céfépime

Klebsiella pneumoniae
 ESBL + (291 strains):
 distribution of inhibition zone
 diameters for cefepime (Réseau
 REUSSIR, 2008). Cf. Tableau 1.4

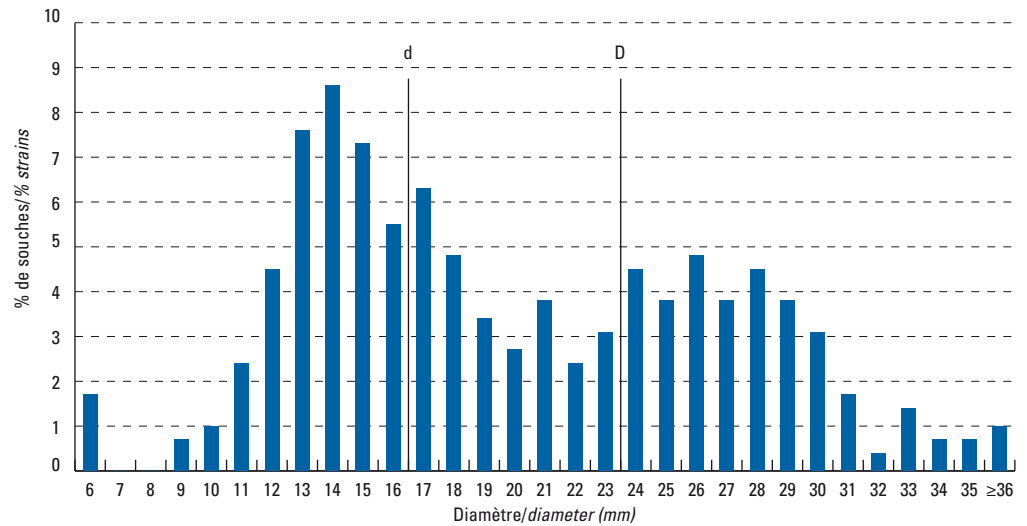


Figure 1.39
Klebsiella pneumoniae
 (118 souches) : distribution
 des diamètres d'inhibition
 pour le cefpirome

Klebsiella pneumoniae
 ESBL + (118 strains):
 distribution of inhibition zone
 diameters for ceftipime (Réseau
 REUSSIR, 2008). Cf. Tableau 1.4

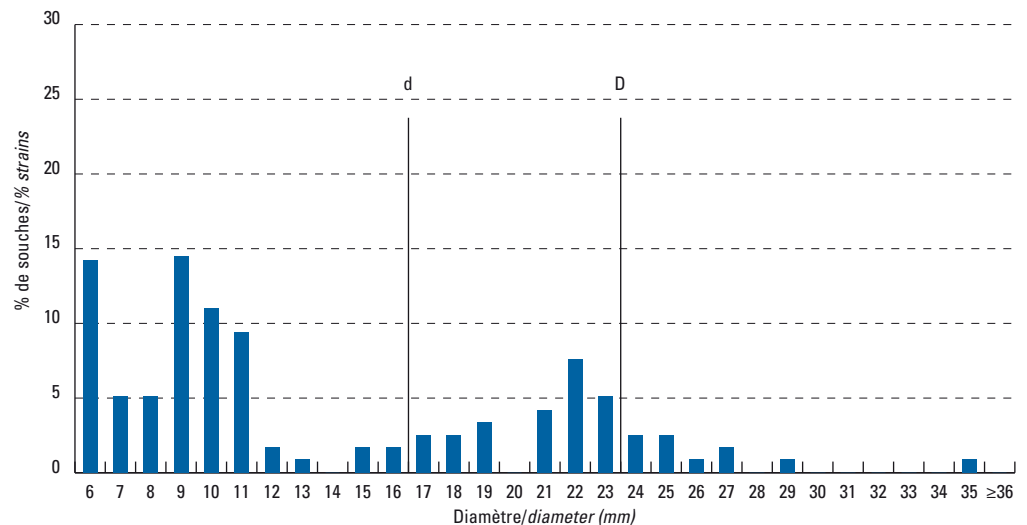


Figure 1.40
Klebsiella pneumoniae
 BLSE + (252 souches) :
 distribution des diamètres
 d'inhibition pour l'impénème

Klebsiella pneumoniae
 ESBL + (252 strains):
 distribution
 of inhibition zone diameters
 for imipenem (Réseau REUSSIR,
 2008). Cf. Tableau 1.4

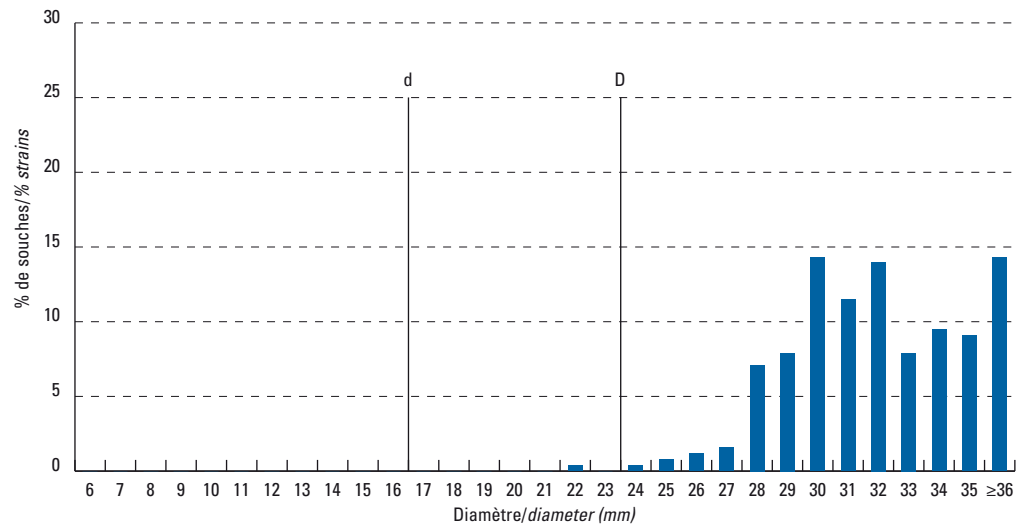


Figure 1.41
Enterobacter aerogenes
 BLSE + (237 souches) :
 distribution des diamètres
 d'inhibition pour l'association
 amoxicilline-clavulanate

Enterobacter aerogenes
 ESBL + (237 strains):
 distribution
 of inhibition zone diameters for
 amoxicillin-clavulanate;
 (Réseau REUSSIR, 2008).
 Cf. Tableau 1.5

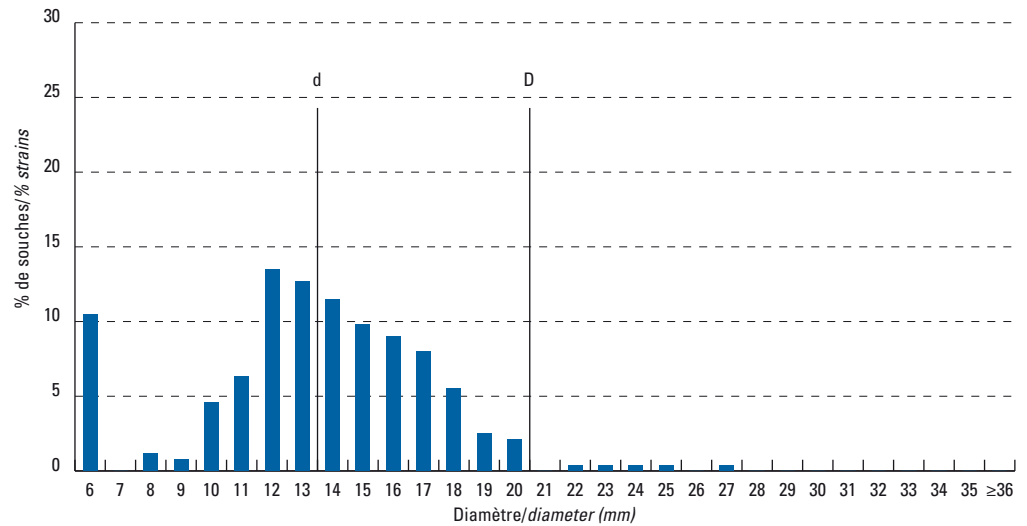


Figure 1.42
Enterobacter aerogenes
 BLSE + (116 souches) :
 distribution des diamètres
 d'inhibition pour l'association
 ticarcilline-clavulanate

Enterobacter aerogenes
 ESBL + (116 strains):
 distribution
 of inhibition zone diameters for
 ticarcillin-clavulanate (Réseau
 REUSSIR, 2008). Cf. Tableau 1.5

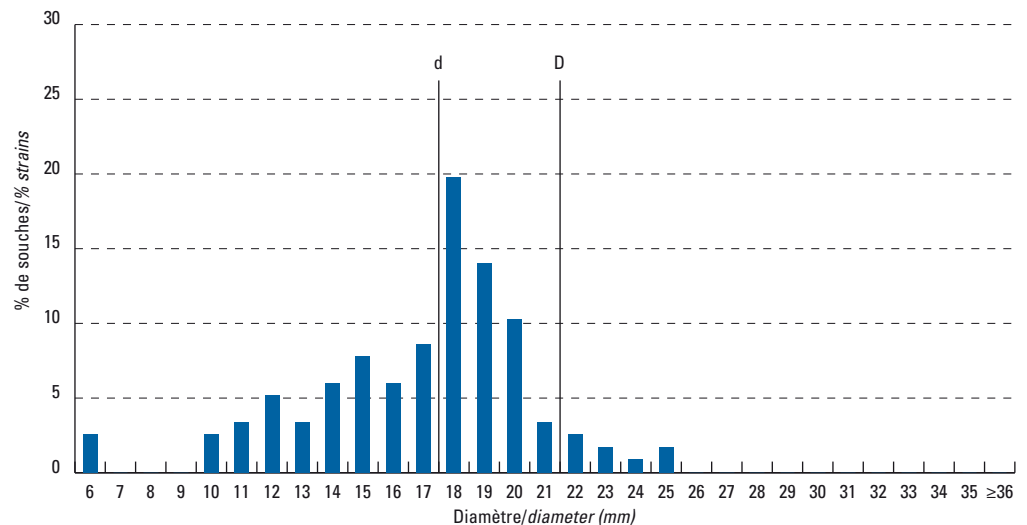


Figure 1.43

Enterobacter aerogenes
BLSE + (129 souches) :
distribution des diamètres
d'inhibition pour l'association
pipéracilline-tazobactam

Enterobacter aerogenes
ESBL + (129 strains):
distribution of inhibition zone
diameters for
piperacillin-tazobactam
(Réseau REUSSIR, 2008).
Cf. Tableau 1.5

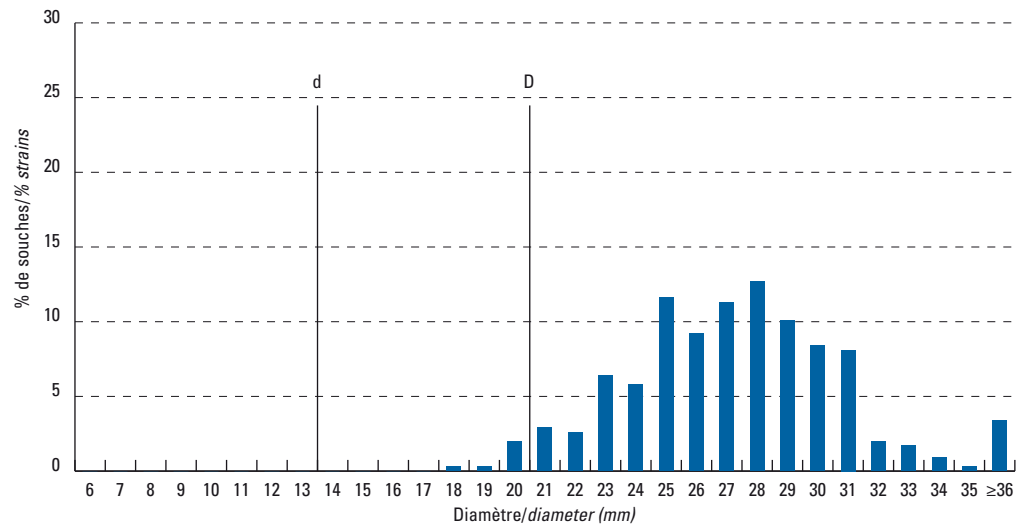


Figure 1.44

Enterobacter aerogenes
BLSE + (104 souches) :
distribution des diamètres
d'inhibition pour la céfoxitine

Enterobacter aerogenes
ESBL + (104 strains):
distribution of inhibition zone
diameters for
cefoxitin (Réseau REUSSIR,
2008). Cf. Tableau 1.5

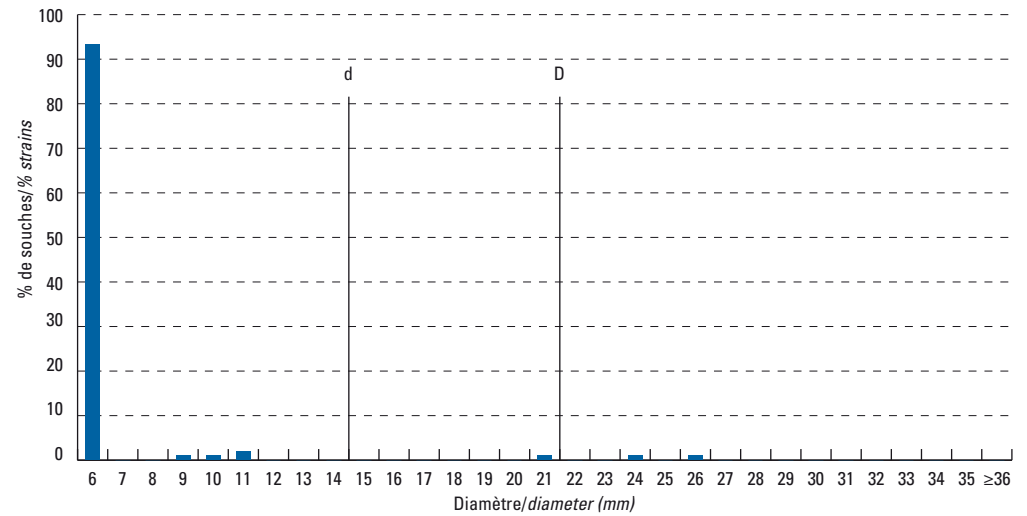


Figure 1.45

Enterobacter aerogenes
BLSE + (197 souches) :
distribution des diamètres
d'inhibition pour le céfotaxime

Enterobacter aerogenes
ESBL + (197 strains):
distribution of inhibition zone
diameters for
cefotaxime (Réseau REUSSIR,
2008). Cf. Tableau 1.5

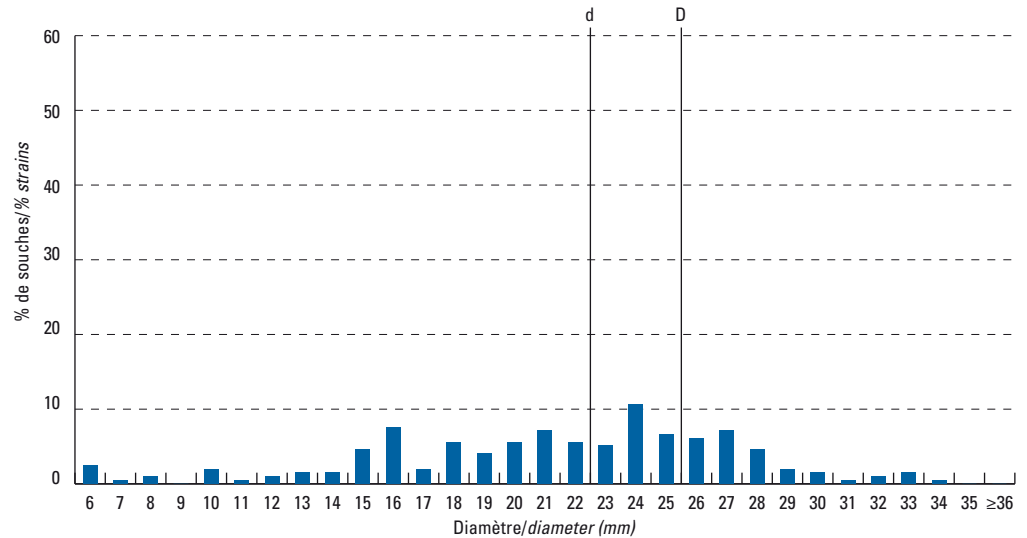


Figure 1.46
Enterobacter aerogenes
 BLSE + (220 souches) :
 distribution des diamètres
 d'inhibition pour la ceftazidime

Enterobacter aerogenes
 ESBL + (220 strains):
 distribution of inhibition zone
 diameters for ceftazidime (Réseau REUSSIR,
 2008). Cf. Tableau 1.5

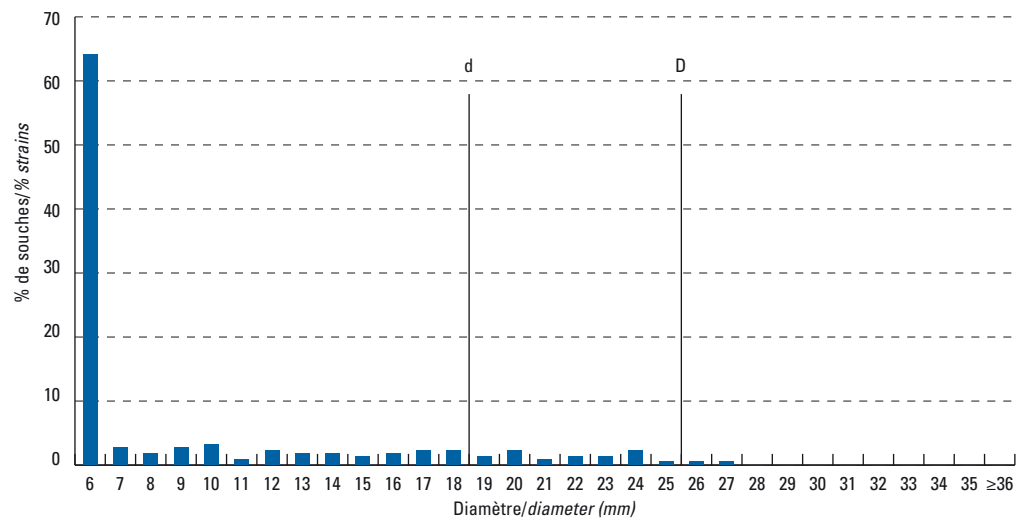


Figure 1.47
Enterobacter aerogenes
 BLSE + (117 souches) :
 distribution des diamètres
 d'inhibition pour l'aztréonam

Enterobacter aerogenes
 ESBL + (117 strains):
 distribution of inhibition zone
 diameters for aztreonam (Réseau REUSSIR,
 2008). Cf. Tableau 1.1

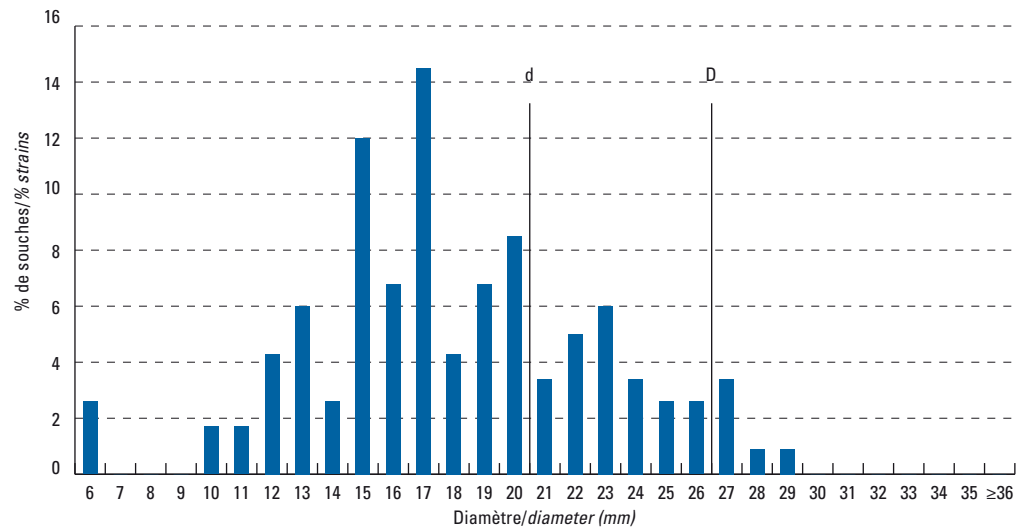


Figure 1.48
Enterobacter aerogenes
 BLSE + (207 souches) :
 distribution des diamètres
 d'inhibition pour le céfépime

Enterobacter aerogenes
 ESBL + (207 strains):
 distribution of inhibition zone
 diameters for cefepime (Réseau REUSSIR,
 2008). Cf. Tableau 1.5

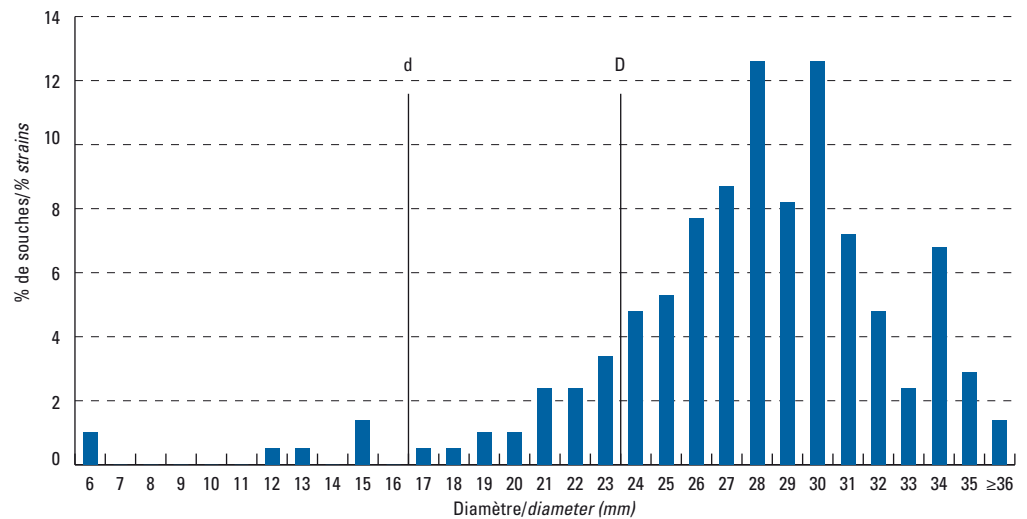


Figure 1.49
Enterobacter aerogenes
 BLSE + (40 souches) :
 distribution des diamètres
 d'inhibition pour le céfpirome

Enterobacter aerogenes
 ESBL + (40 strains):
 distribution of inhibition zone diameters for
 ceftipime (Réseau REUSSIR,
 2008). Cf. Tableau 1.5

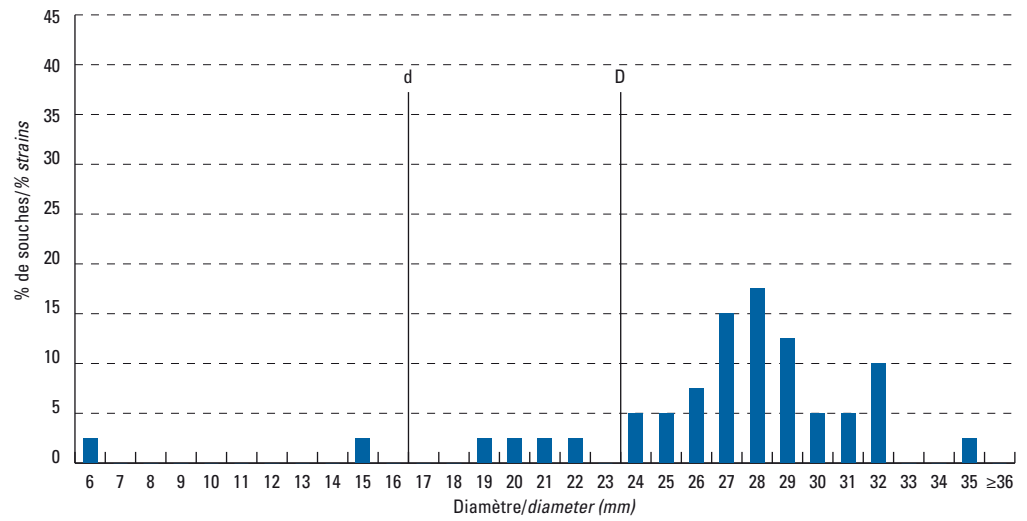


Figure 1.50
Enterobacter aerogenes
 BLSE + (143 souches) :
 distribution des diamètres
 d'inhibition pour l'imipénème

Enterobacter aerogenes
 ESBL + (143 strains):
 distribution of inhibition zone diameters for
 imipenem (Réseau REUSSIR,
 2008). Cf. Tableau 1.5

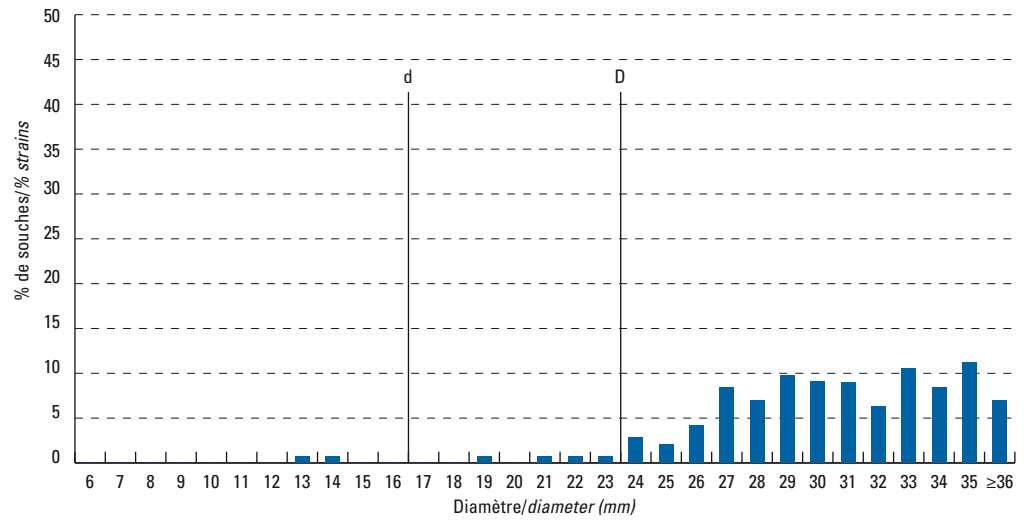


Figure 1.51
Enterobacter cloacae
 BLSE + (332 souches) :
 distribution des diamètres
 d'inhibition pour l'association
 amoxicilline-clavulanate

Enterobacter cloacae
 ESBL + (332 strains):
 distribution of inhibition zone diameters for
 amoxicillin-clavulanate (Réseau
 REUSSIR, 2008). Cf. Tableau 1.6

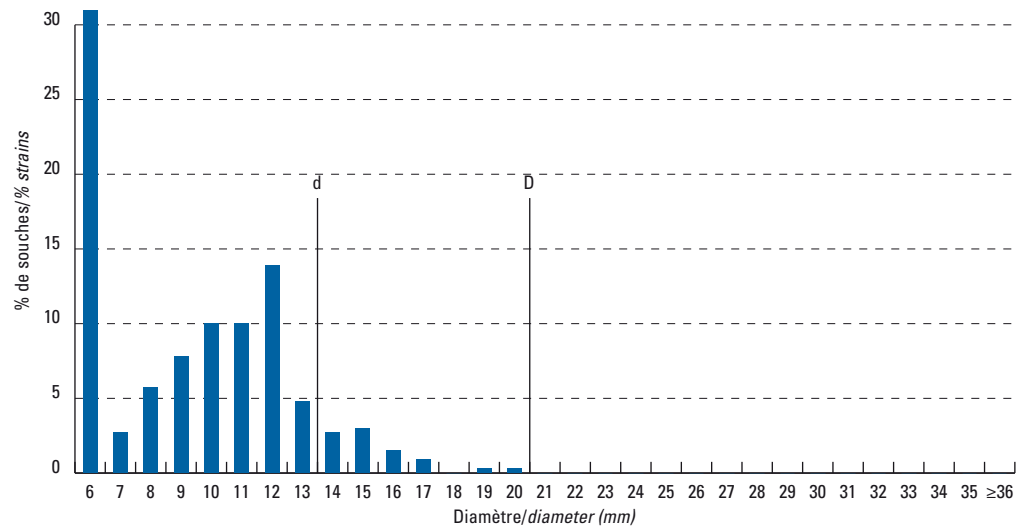


Figure 1.52

Enterobacter cloacae
BLSE + (95 souches) :
distribution des diamètres
d'inhibition pour l'association
ticarcilline-clavulanate

Enterobacter cloacae
ESBL + (95 strains):
distribution
of inhibition zone diameters for
ticarcillin-clavulanate (Réseau
REUSSIR, 2008). Cf. Tableau 1.6

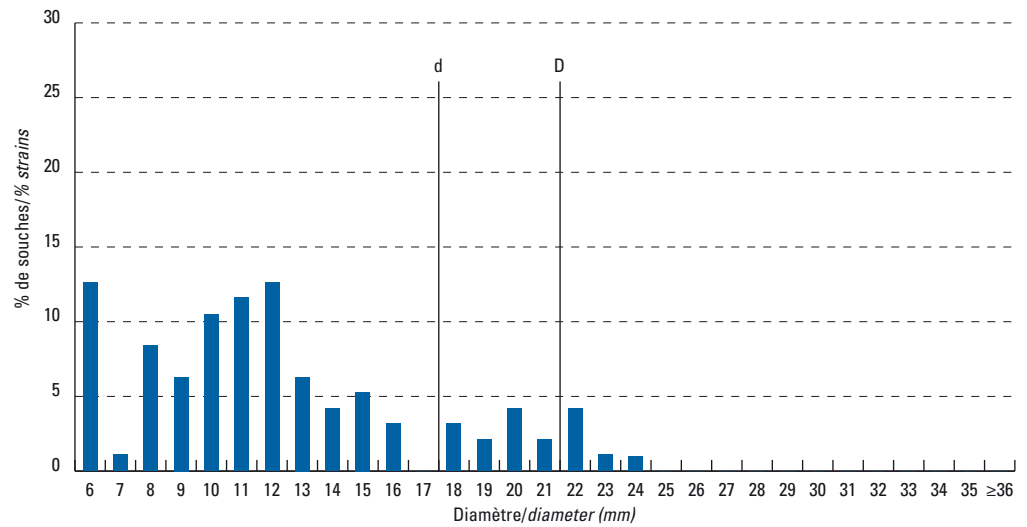


Figure 1.53

Enterobacter cloacae
BLSE + (126 souches) :
distribution des diamètres
d'inhibition pour l'association
pipéracilline-tazobactam

Enterobacter cloacae
ESBL + (126 strains):
distribution
of inhibition zone diameters for
piperacillin-tazobactam
(Réseau REUSSIR, 2008).
Cf. Tableau 1.6

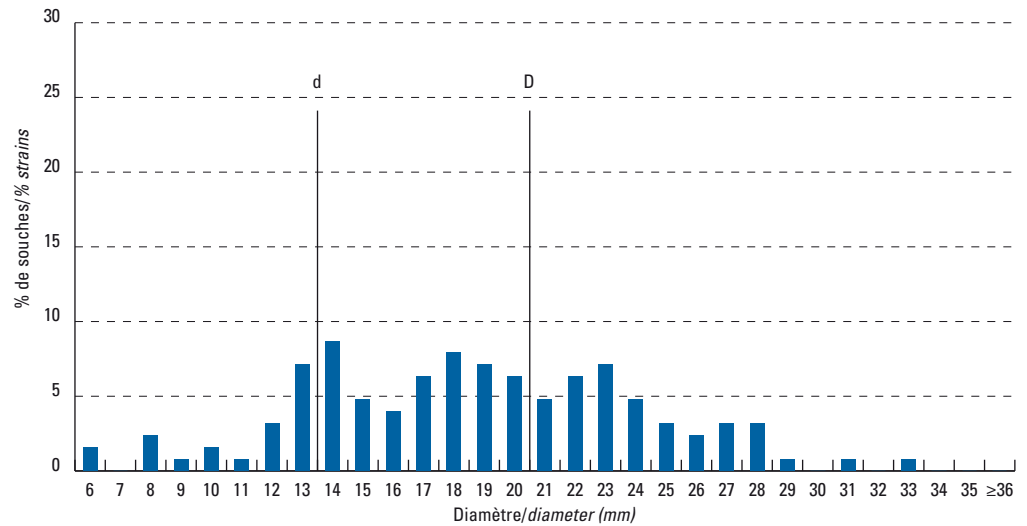


Figure 1.54

Enterobacter cloacae
BLSE + (155 souches) :
distribution des diamètres
d'inhibition pour la céfoxitine

Enterobacter cloacae
ESBL + (155 strains):
distribution
of inhibition zone diameters for
cefoxitin (Réseau REUSSIR,
2008). Cf. Tableau 1.6

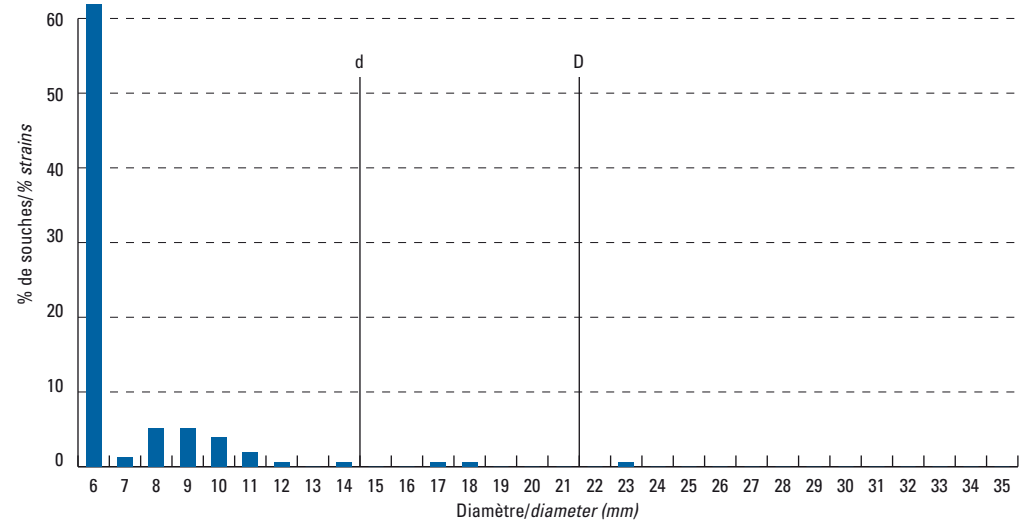


Figure 1.55

Enterobacter cloacae
BLSE + (329 souches) :
distribution des diamètres
d'inhibition pour le céfotaxime

Enterobacter cloacae
ESBL + (329 strains):
distribution
of inhibition zone diameters for
cefotaxime (Réseau REUSSIR,
2008). Cf. Tableau 1.6

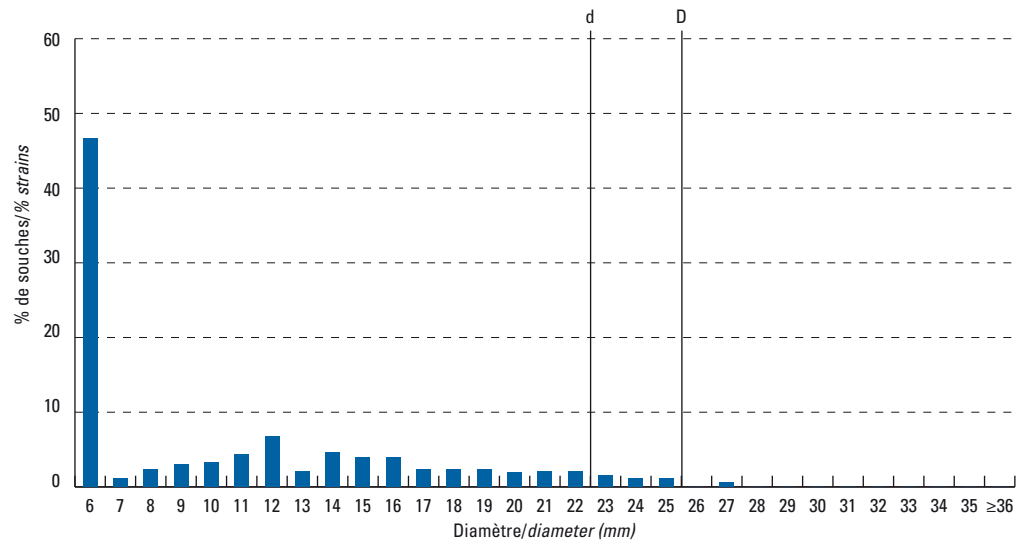


Figure 1.56

Enterobacter cloacae
BLSE + (270 souches) :
distribution des diamètres
d'inhibition pour la ceftazidime

Enterobacter cloacae
ESBL + (270 strains):
distribution
of inhibition zone diameters for
ceftazidime (Réseau REUSSIR,
2008). Cf. Tableau 1.6

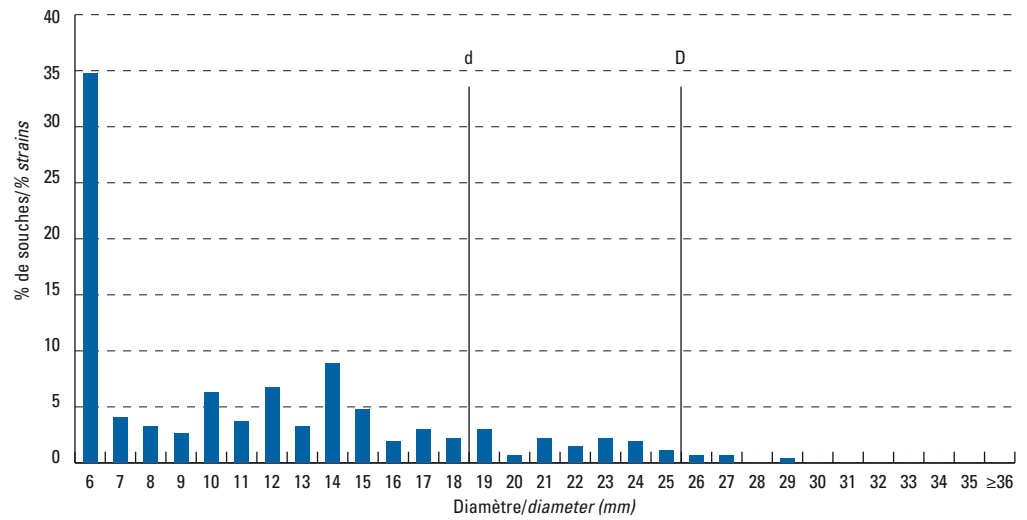


Figure 1.57

Enterobacter cloacae
BLSE + (140 souches) :
distribution des diamètres
d'inhibition pour l'aztréonam

Enterobacter cloacae
ESBL + (140 strains):
distribution
of inhibition zone diameters for
aztreonam (Réseau REUSSIR,
2008). Cf. Tableau 1.6

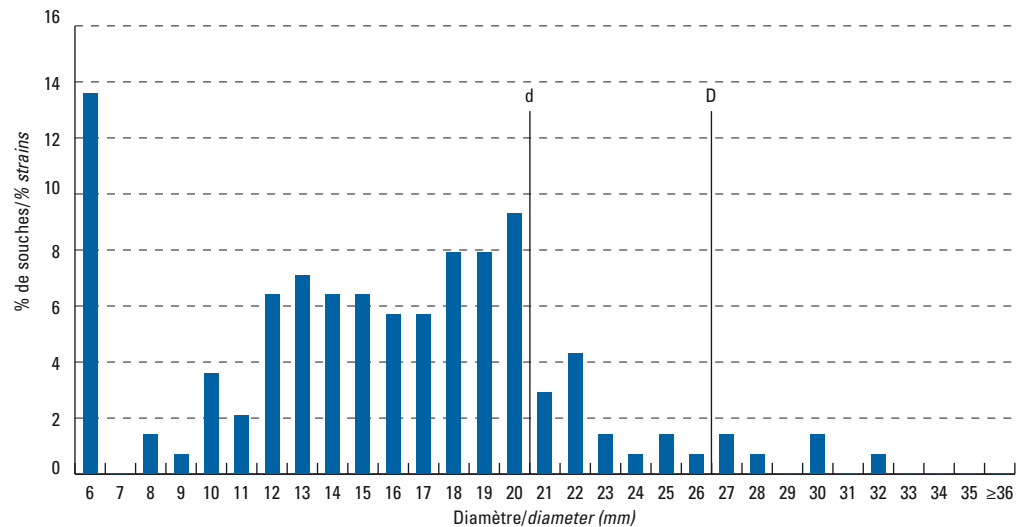


Figure 1.58

Enterobacter cloacae
BLSE + (285 souches) :
distribution des diamètres
d'inhibition pour le céfépime

Enterobacter cloacae
ESBL + (285 strains):
distribution of inhibition zone diameters for
cefepime (Réseau REUSSIR,
2008). Cf. Tableau 1.6

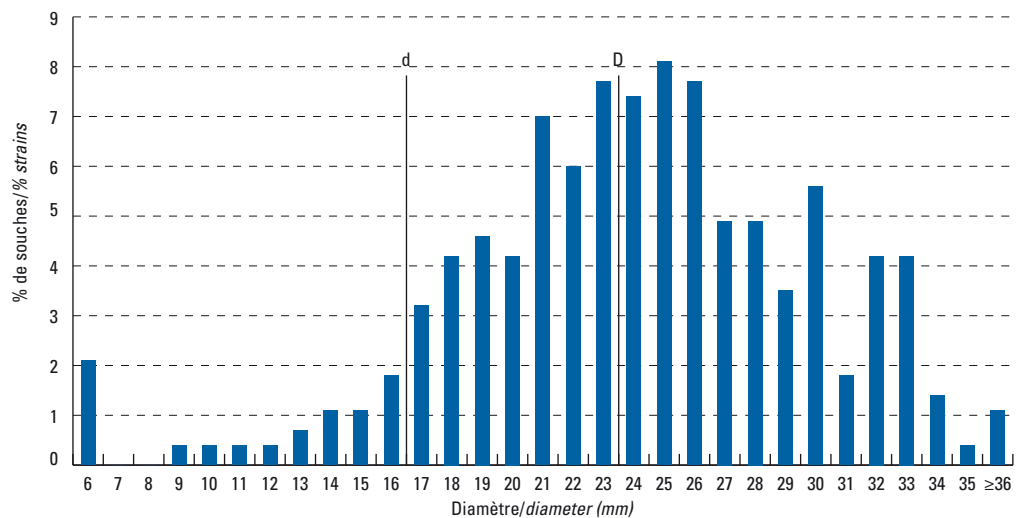


Figure 1.59

Enterobacter cloacae
BLSE + (46 souches) :
distribution des diamètres
d'inhibition pour le céfpirome

Enterobacter cloacae
ESBL + (46 strains):
distribution of inhibition zone diameters for
cefpirome (Réseau REUSSIR,
2008). Cf. Tableau 1.6

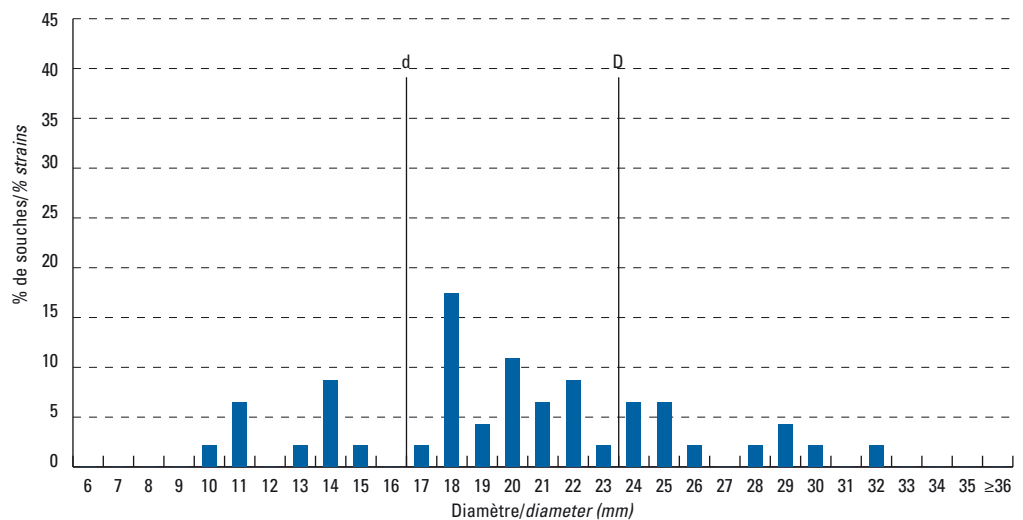


Figure 1.60

Enterobacter cloacae
BLSE + (166 souches) :
distribution des diamètres
d'inhibition pour l'impénème

Enterobacter cloacae
ESBL + (166 strains):
distribution of inhibition zone diameters for
imipenem (Réseau REUSSIR,
2008). Cf. Tableau 1.6

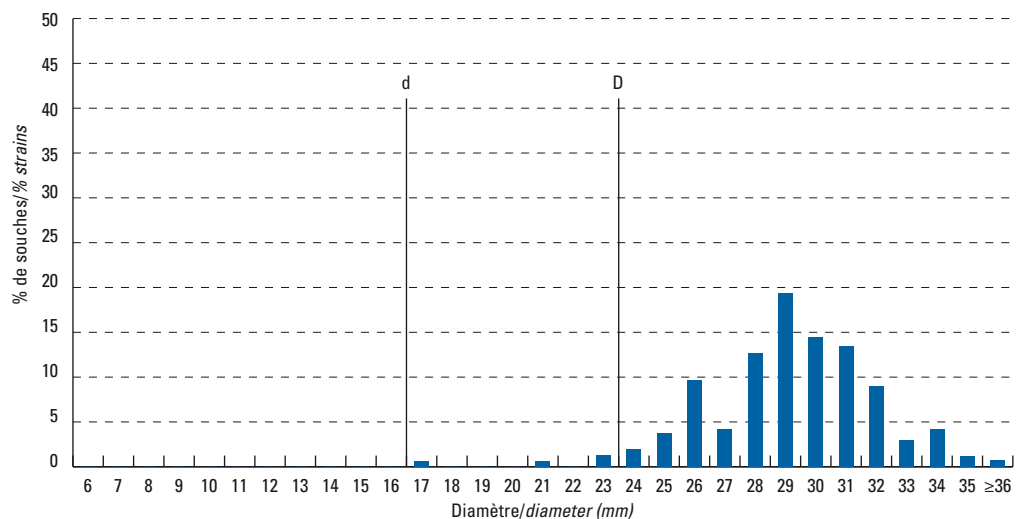


Figure 1.61

Klebsiella pneumoniae
BLSE + (242 souches) :
distribution des diamètres
d'inhibition pour l'acide
nalidixique

Klebsiella pneumoniae
ESBL + (242 strains):
distribution of inhibition zone
diameters
for nalidixic acid
(Réseau REUSSIR, 2008).
Cf. Tableau 1.7

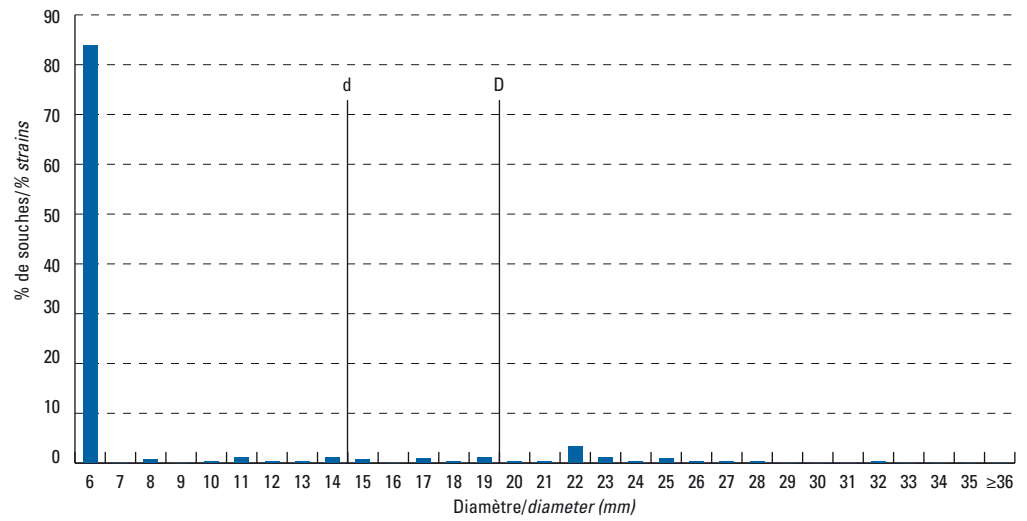


Figure 1.62

Klebsiella pneumoniae
BLSE + (252 souches) :
distribution des diamètres
d'inhibition pour la
ciprofloxacine

Klebsiella pneumoniae
ESBL + (252 strains):
distribution of inhibition zone
diameters for
ciprofloxacin (Réseau REUSSIR,
2008). Cf. Tableau 1.7

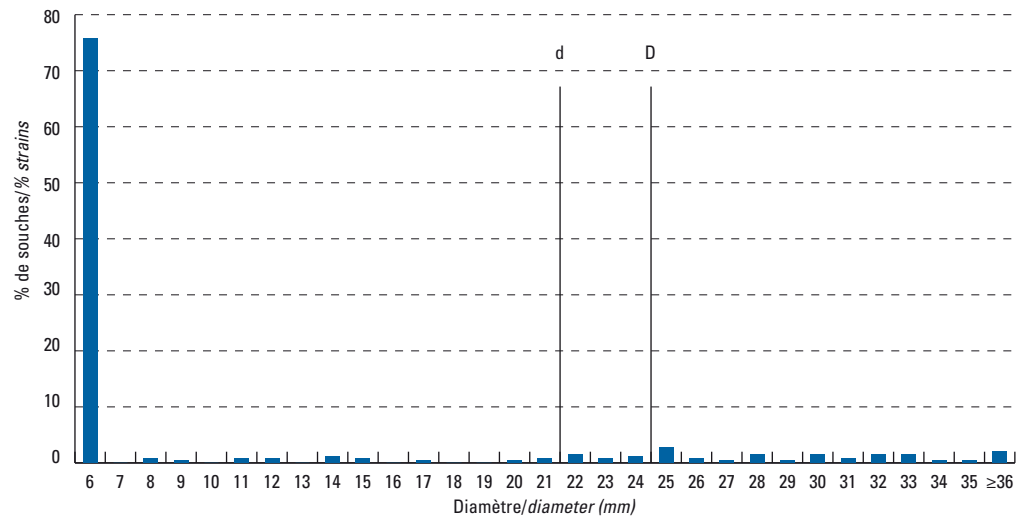


Figure 1.63

Klebsiella pneumoniae
BLSE + (257 souches) :
distribution des diamètres
d'inhibition pour la gentamicine

Klebsiella pneumoniae
ESBL + (257 strains):
distribution of inhibition zone
diameters for
gentamicin (Réseau REUSSIR,
2008). Cf. Tableau 1.7

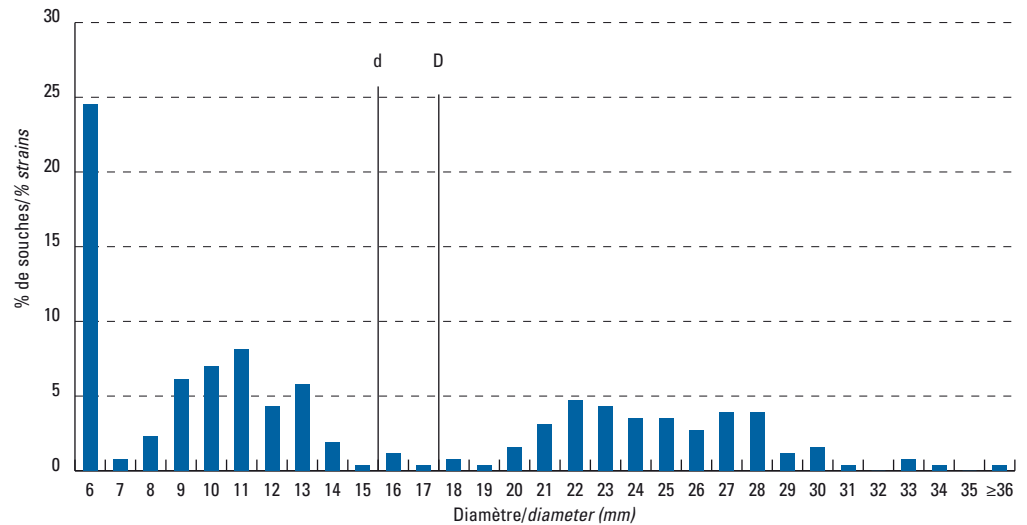


Figure 1.64
Klebsiella pneumoniae
 BLSE + (254 souches):
 distribution des diamètres
 d'inhibition pour la tobramycine

Klebsiella pneumoniae
 ESBL + (254 strains):
 distribution
 of inhibition zone diameters for
 tobramycin (Réseau REUSSIR,
 2008). Cf. Tableau 1.7

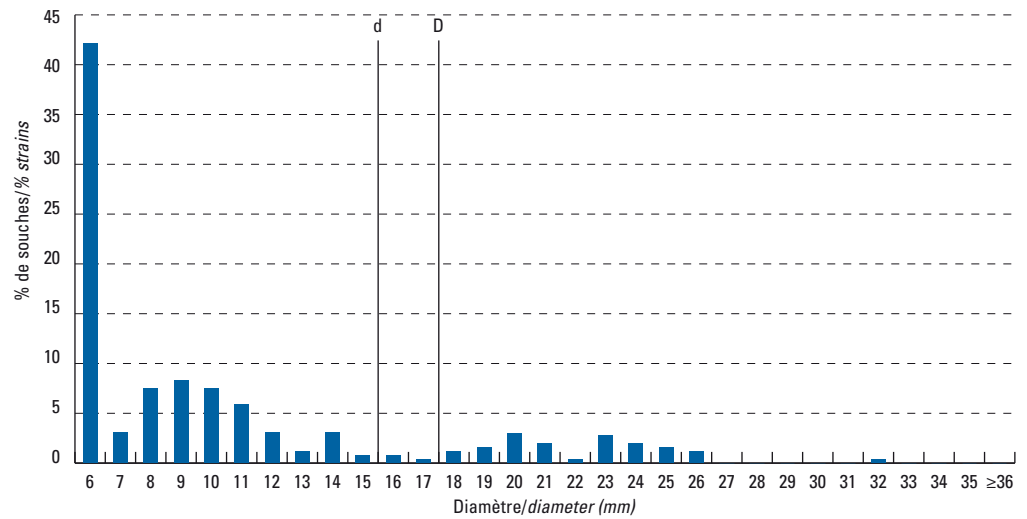


Figure 1.65
Klebsiella pneumoniae
 BLSE + (257 souches):
 distribution des diamètres
 d'inhibition pour l'amikacine

Klebsiella pneumoniae
 ESBL + (257 strains):
 distribution
 of inhibition zone diameters for
 amikacin (Réseau REUSSIR,
 2008). Cf. Tableau 1.7

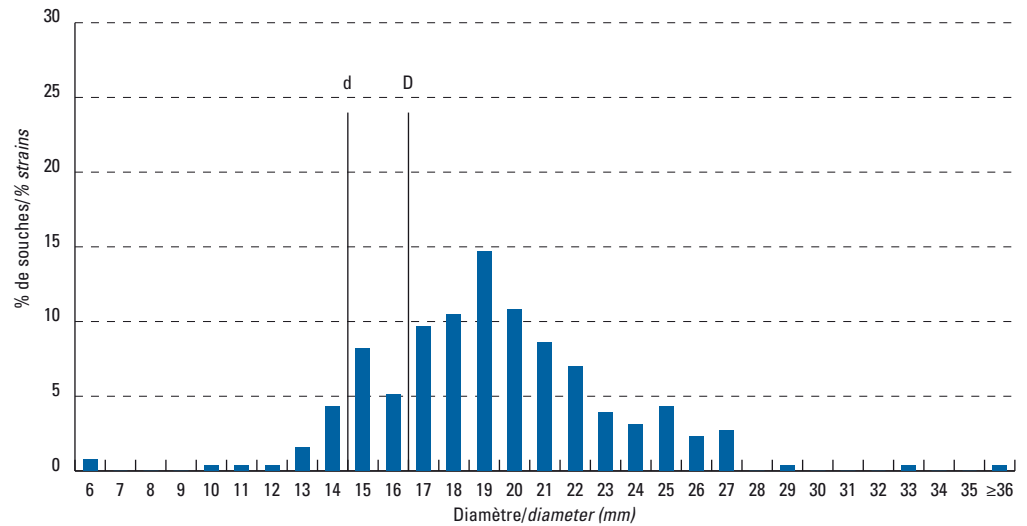


Figure 1.66
Enterobacter aerogenes
 BLSE + (130 souches):
 distribution des diamètres
 d'inhibition pour l'acide
 nalidixique

Enterobacter aerogenes
 ESBL + (130 strains):
 distribution
 of inhibition zone diameters for
 nalidixic acid (Réseau REUSSIR,
 2008). Cf. Tableau 1.8

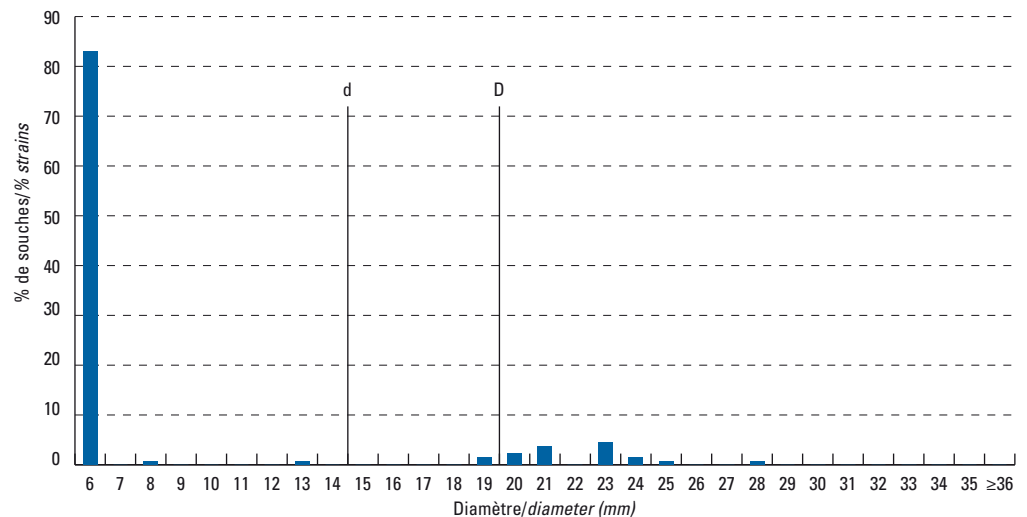


Figure 1.67

Enterobacter aerogenes
BLSE + (131 souches) :
distribution des diamètres
d'inhibition pour la
ciprofloxacine

Enterobacter aerogenes
ESBL + (131 strains):
distribution of inhibition zone diameters for
ciprofloxacin (Réseau REUSSIR,
2008). Cf. Tableau 1.8

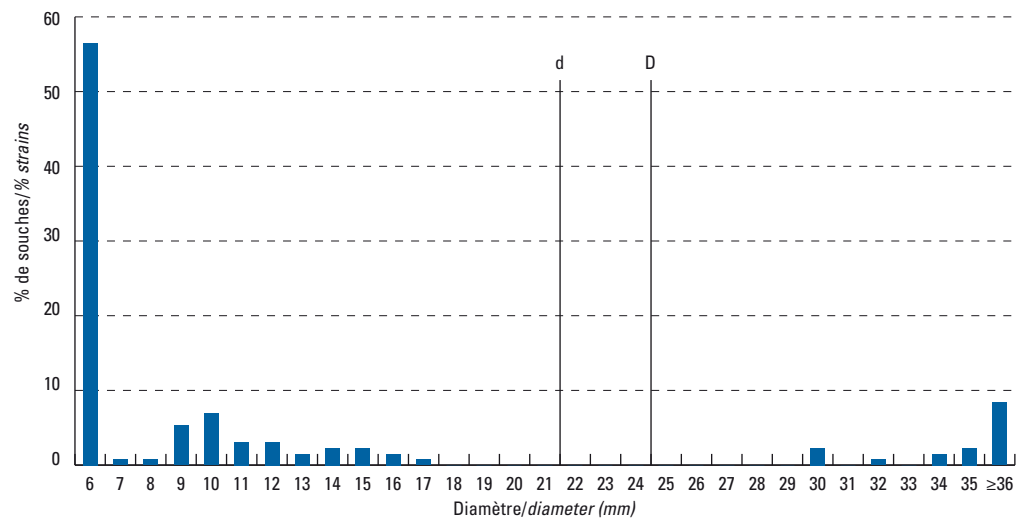


Figure 1.68

Enterobacter aerogenes
BLSE + (140 souches) :
distribution des diamètres
d'inhibition pour
la gentamicine

Enterobacter aerogenes
ESBL + (140 strains):
distribution of inhibition zone diameters for
gentamicin (Réseau REUSSIR,
2008). Cf. Tableau 1.8

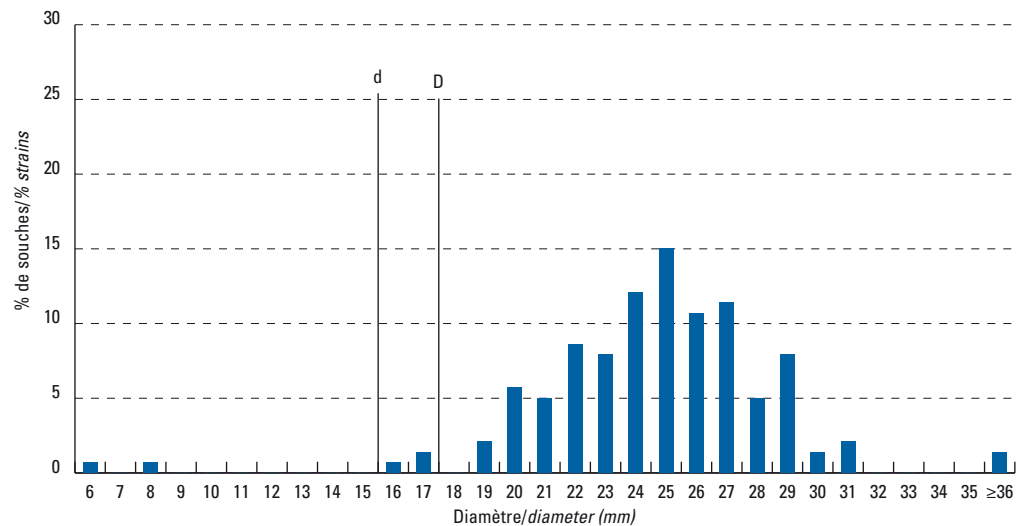


Figure 1.69

Enterobacter aerogenes
BLSE + (138 souches):
distribution des diamètres
d'inhibition pour
la tobramycine

Enterobacter aerogenes
ESBL + (138 strains):
distribution of inhibition zone diameters for
tobramycin (Réseau REUSSIR,
2008). Cf. Tableau 1.8

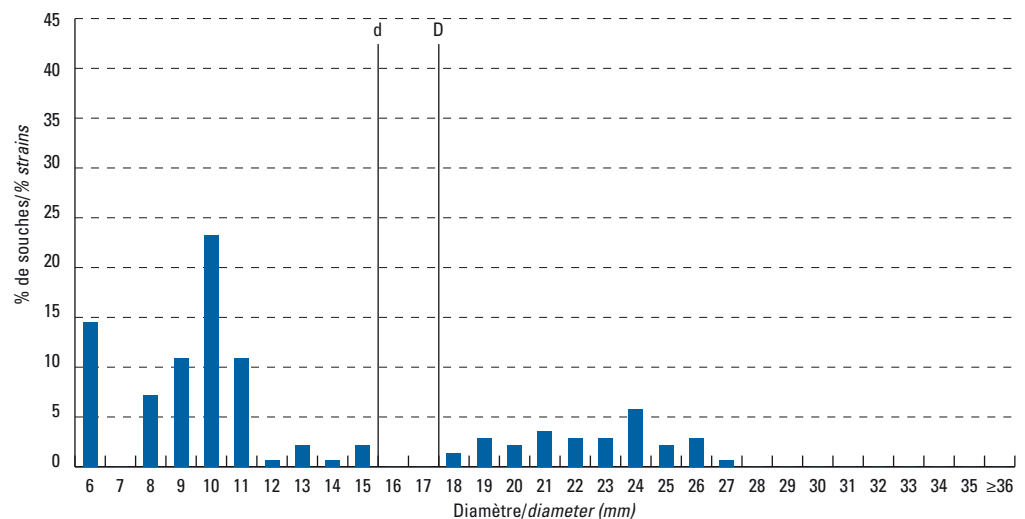


Figure 1.70
Enterobacter aerogenes
 BLSE + (141 souches) :
 distribution des diamètres
 d'inhibition pour l'amikacine

Enterobacter aerogenes
 ESBL + (141 strains):
 distribution
 of inhibition zone diameters for
 amikacin (Réseau REUSSIR,
 2008). Cf. Tableau 1.8

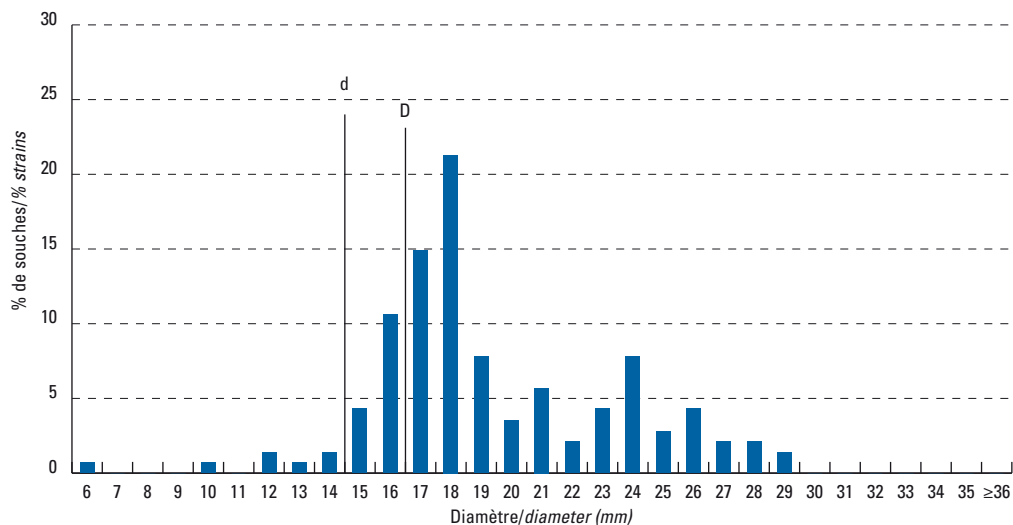


Figure 1.71
Enterobacter cloacae
 BLSE + (169 souches) :
 distribution des diamètres
 d'inhibition pour l'acide
 nalidixique

Enterobacter cloacae
 ESBL + (169 strains):
 distribution
 of inhibition zone diameters for
 nalidixic acid (Réseau REUSSIR,
 2008). Cf. Tableau 1.9

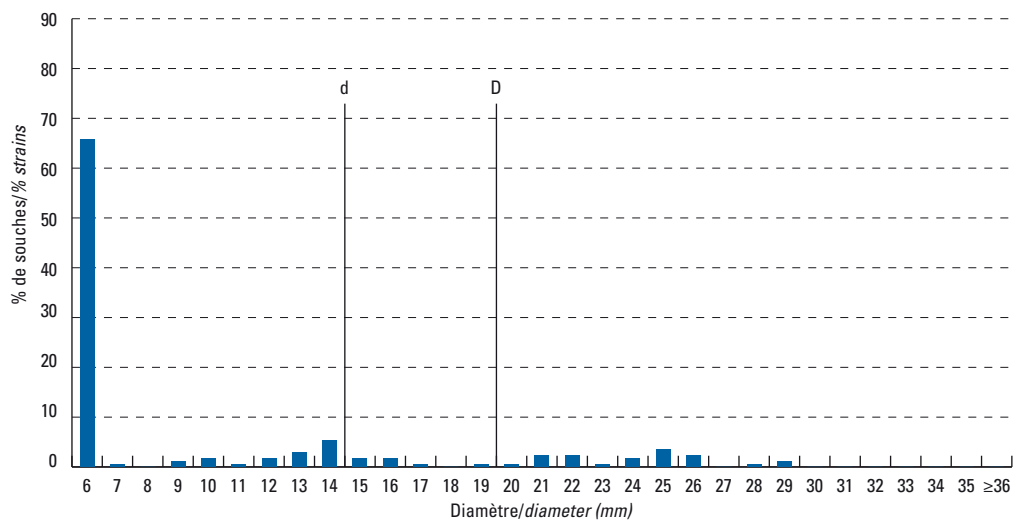


Figure 1.72
Enterobacter cloacae
 BLSE + (168 souches) :
 distribution des diamètres
 d'inhibition pour
 la ciprofloxacine

Enterobacter cloacae
 ESBL + (168 strains):
 distribution
 of inhibition zone diameters for
 ciprofloxacin (Réseau REUSSIR,
 2008). Cf. Tableau 1.9

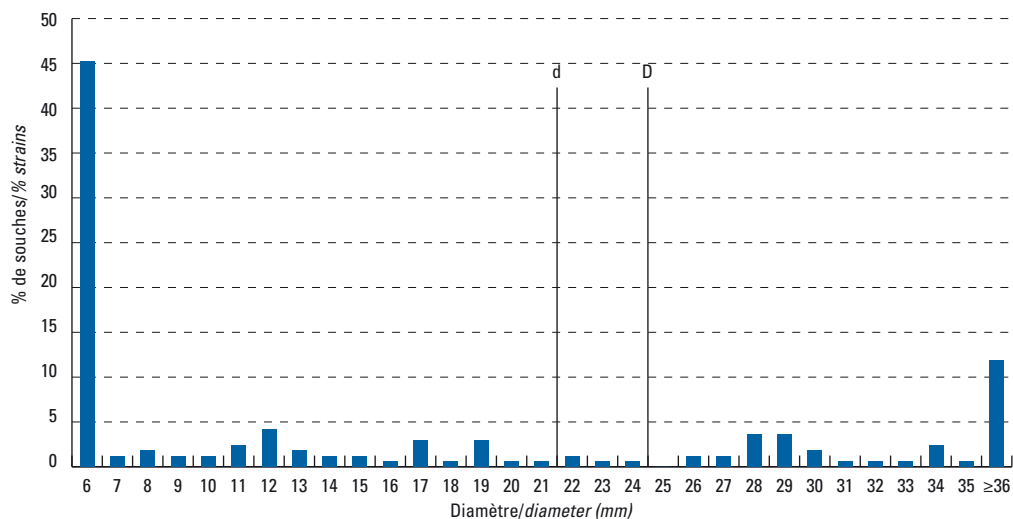


Figure 1.73

Enterobacter cloacae
BLSE + (172 souches) :
distribution des diamètres
d'inhibition pour
la gentamicine

Enterobacter cloacae
ESBL + (172 strains):
distribution
of inhibition zone diameters for
gentamicin (Réseau REUSSIR,
2008). Cf. Tableau 1.9

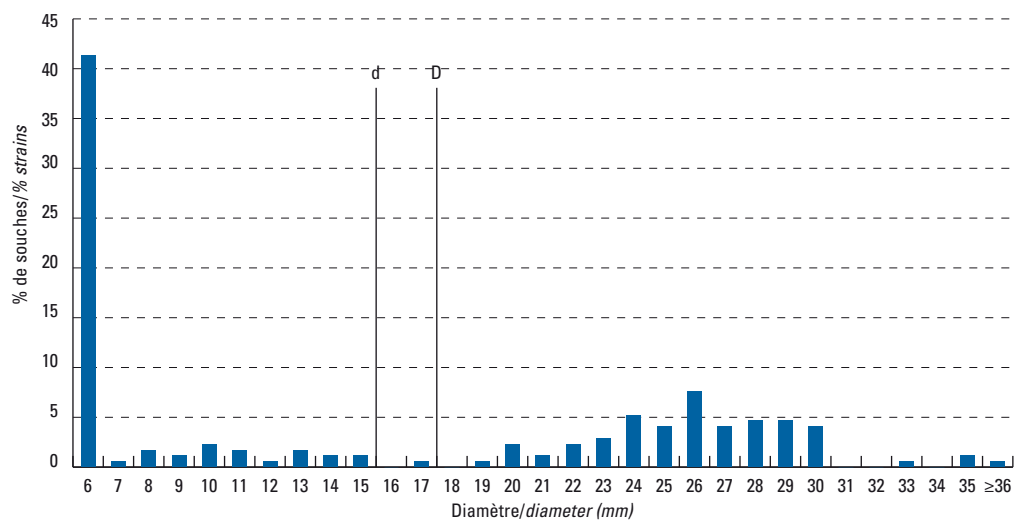


Figure 1.74

Enterobacter cloacae
BLSE + (170 souches) :
distribution des diamètres
d'inhibition pour
la tobramycine

Enterobacter cloacae
ESBL + (170 strains):
distribution
of inhibition zone diameters for
tobramycin (Réseau REUSSIR,
2008). Cf. Tableau 1.9

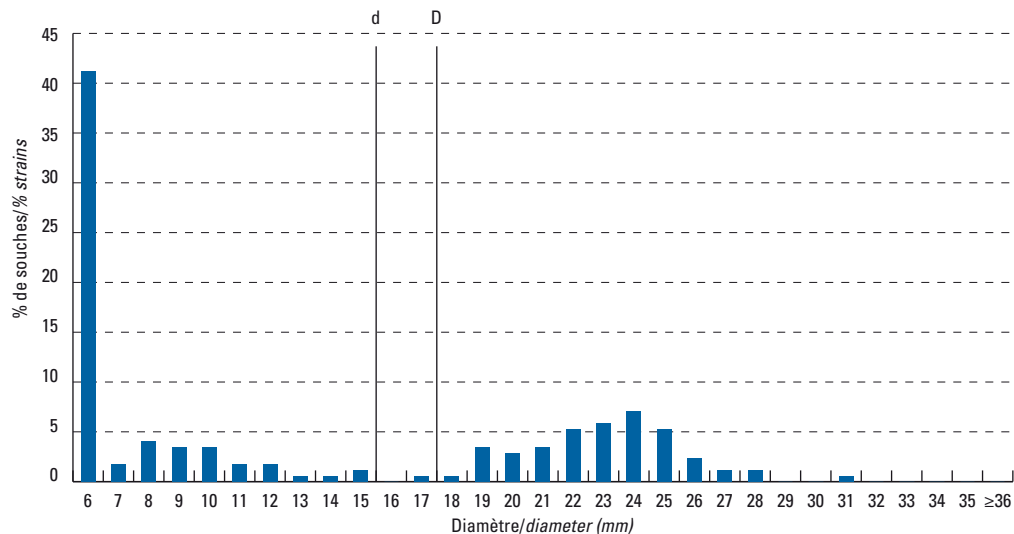


Figure 1.75

Enterobacter cloacae
BLSE + (172 souches) :
distribution des diamètres
d'inhibition pour l'amikacine

Enterobacter cloacae
ESBL + (172 strains):
distribution
of inhibition zone diameters for
amikacin (Réseau REUSSIR,
2008). Cf. Tableau 1.9

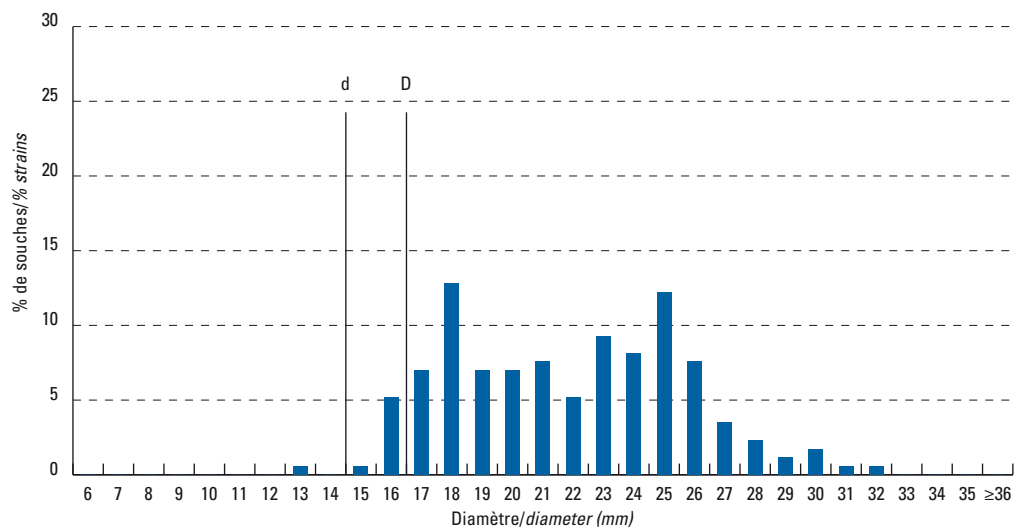


Figure 1.76

Escherichia coli

(880 souches) : distribution des diamètres d'inhibition pour l'amoxicilline, souches isolées de bactériémies

Escherichia coli

(880 strains): distribution of inhibition zone diameters for amoxicillin; strains isolated from bacteraemia (Réseau AZAY-Résistance, 2009). Cf. Tableau 1.10

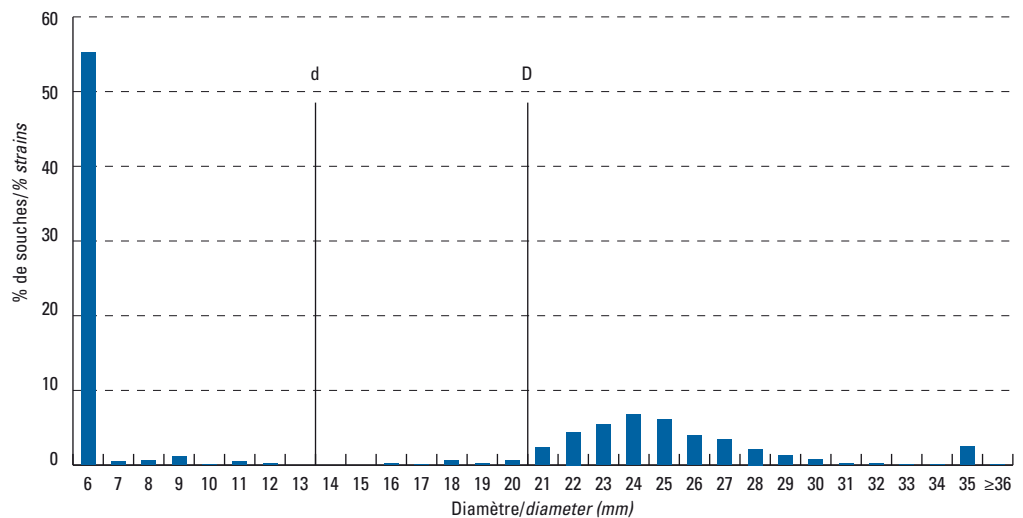


Figure 1.77

Escherichia coli

(879 souches) : distribution des diamètres d'inhibition pour l'association amoxicilline-clavulanate, souches isolées de bactériémies

Escherichia coli

(879 strains): distribution of inhibition zone diameters for amoxicillin-clavulanate; strains isolated from bacteraemia (Réseau AZAY-Résistance, 2009). Cf. Tableau 1.10

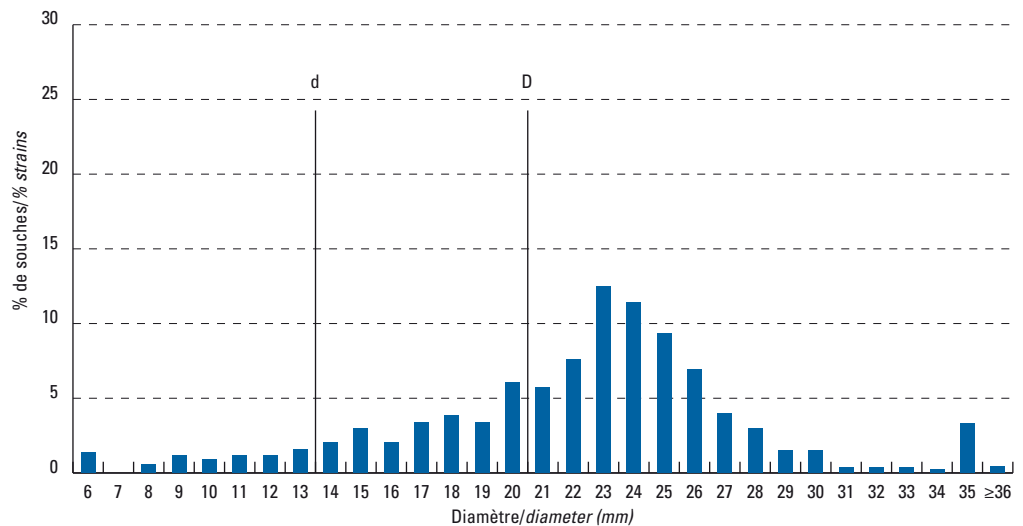


Figure 1.78

Escherichia coli

(877 souches) : distribution des diamètres d'inhibition pour le céfotaxime, souches isolées de bactériémies

Escherichia coli

(877 strains): distribution of inhibition zone diameters for cefotaxime; strains isolated from bacteraemia (Réseau AZAY-Résistance, 2009). Cf. Tableau 1.10

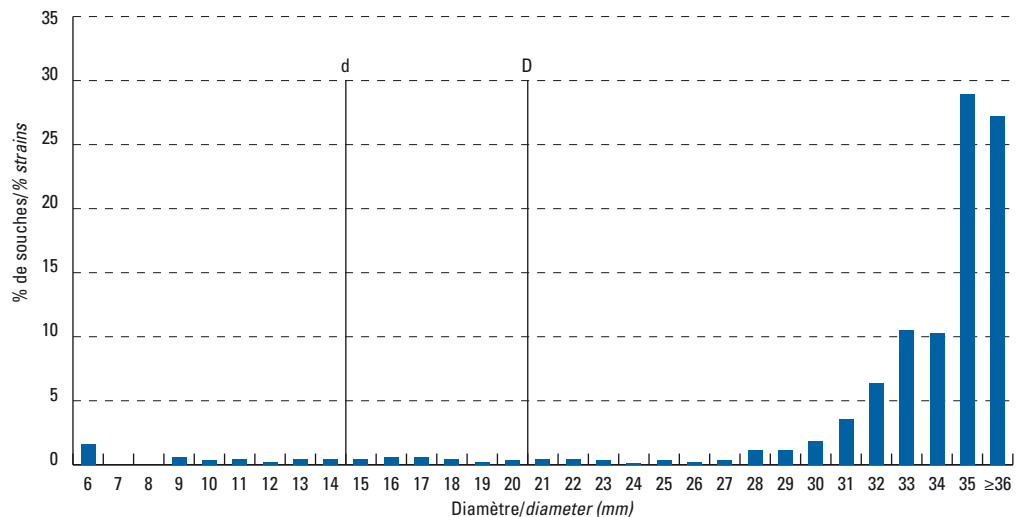


Figure 1.79

Escherichia coli

(869 souches) : distribution des diamètres d'inhibition pour l'imipénème, souches isolées de bactériémies

Escherichia coli

(869 strains): distribution of inhibition zone diameters for imipenem; strains isolated from bacteraemia (Réseau AZAY-Résistance, 2009). Cf. Tableau 1.10

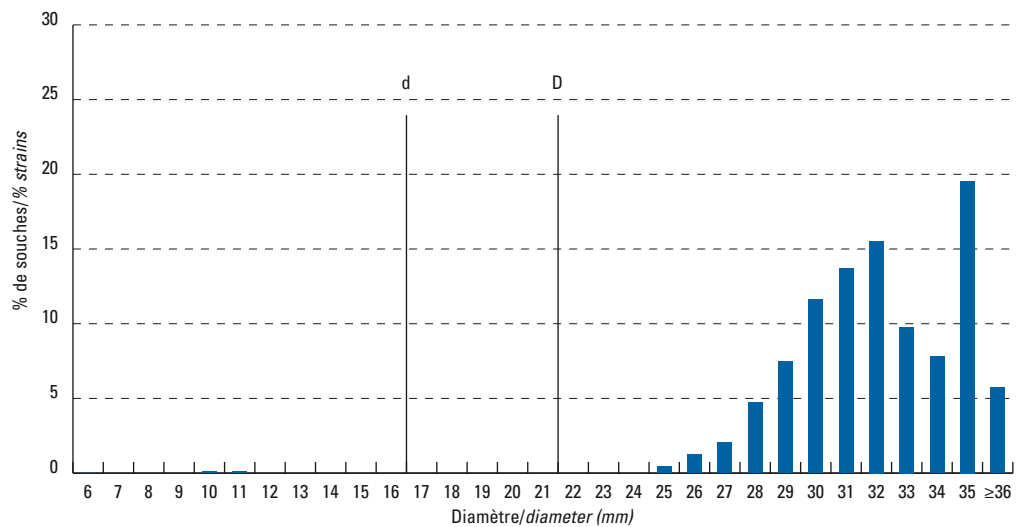


Figure 1.80

Escherichia coli

(877 souches) : distribution des diamètres d'inhibition pour la gentamicine, souches isolées de bactériémies

Escherichia coli

(877 strains): distribution of inhibition zone diameters for gentamicin; strains isolated from bacteraemia (Réseau AZAY-Résistance, 2009). Cf. Tableau 1.10

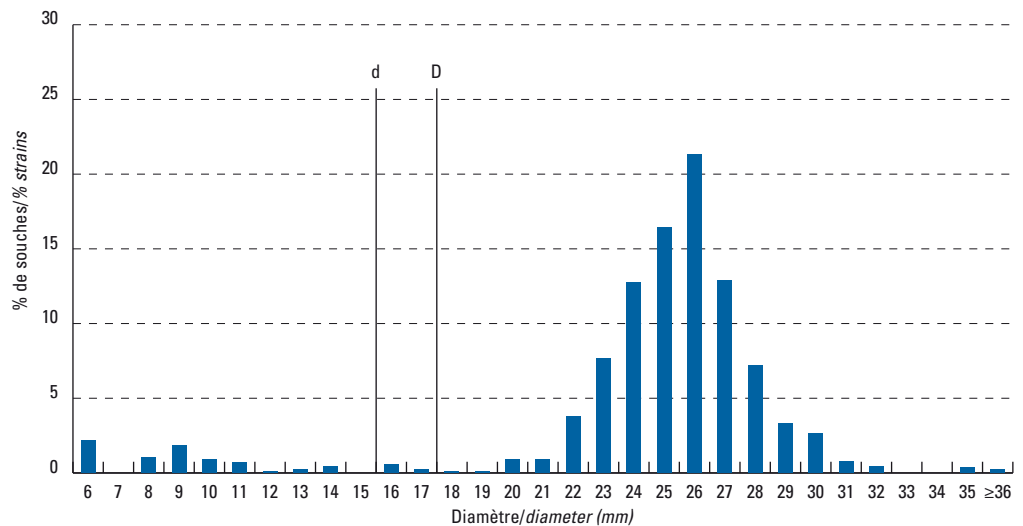


Figure 1.81

Escherichia coli

(558 souches) : distribution des diamètres d'inhibition pour l'acide nalidixique, souches isolées de bactériémies

Escherichia coli

(558 strains): distribution of inhibition zone diameters for nalidixic acid; strains isolated from bacteraemia (Réseau AZAY-Résistance, 2009). Cf. Tableau 1.10

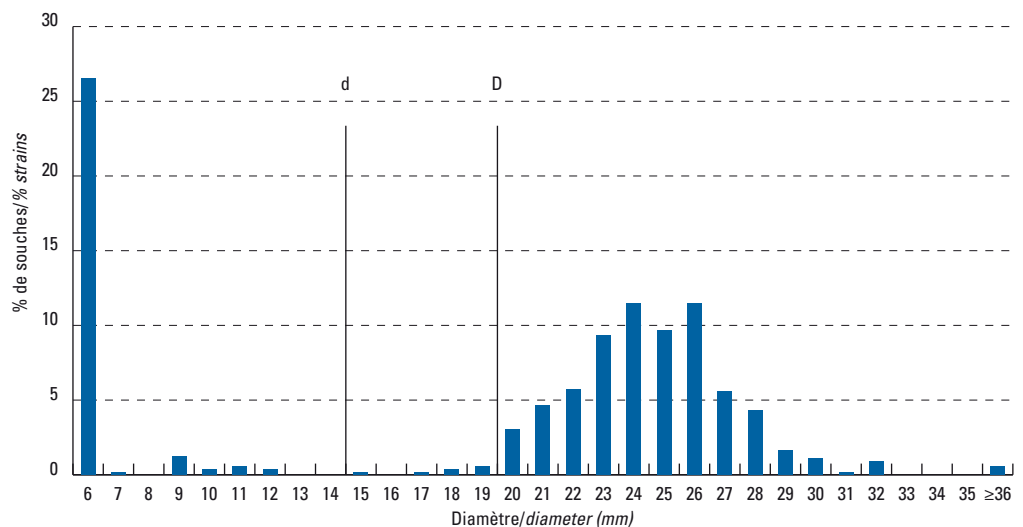


Figure 1.82

Escherichia coli
(877 souches) : distribution des diamètres d'inhibition pour la ciprofloxacine, souches isolées de bactériémies

Escherichia coli
(877 strains): distribution of inhibition zone diameters for ciprofloxacin; strains isolated from bacteraemia (Réseau AZAY-Résistance, 2009). Cf. Tableau 1.10

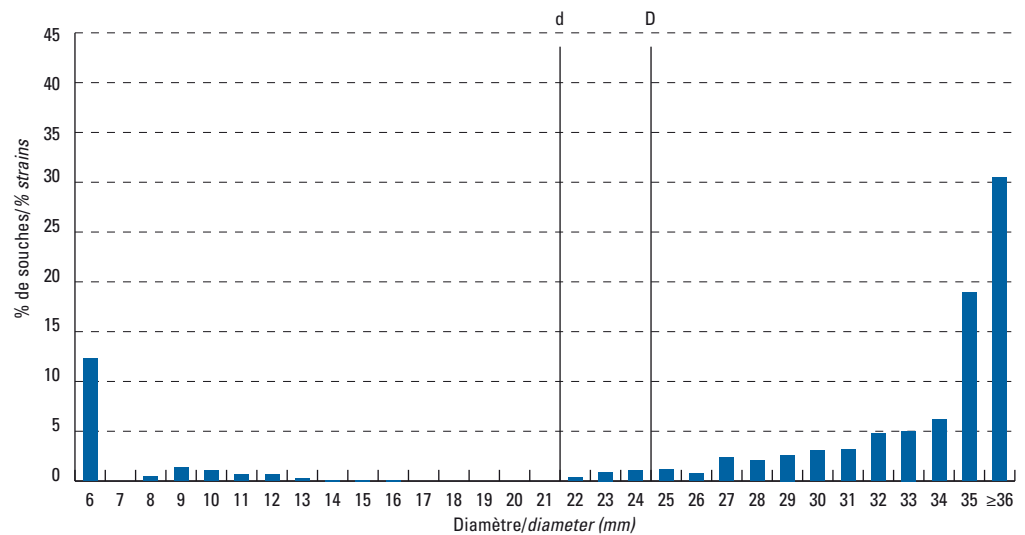


Figure 1.83

Escherichia coli
(388 souches) : distribution des diamètres d'inhibition pour la ciprofloxacine sur les souches sensibles à l'acide nalidixique, souches isolées de bactériémies

Escherichia coli
(388 strains): distribution of inhibition zone diameters for ciprofloxacin on strains susceptible to nalidixic acid; strains isolated from bacteraemia (Réseau AZAY-Résistance, 2009). Cf. Tableau 1.10

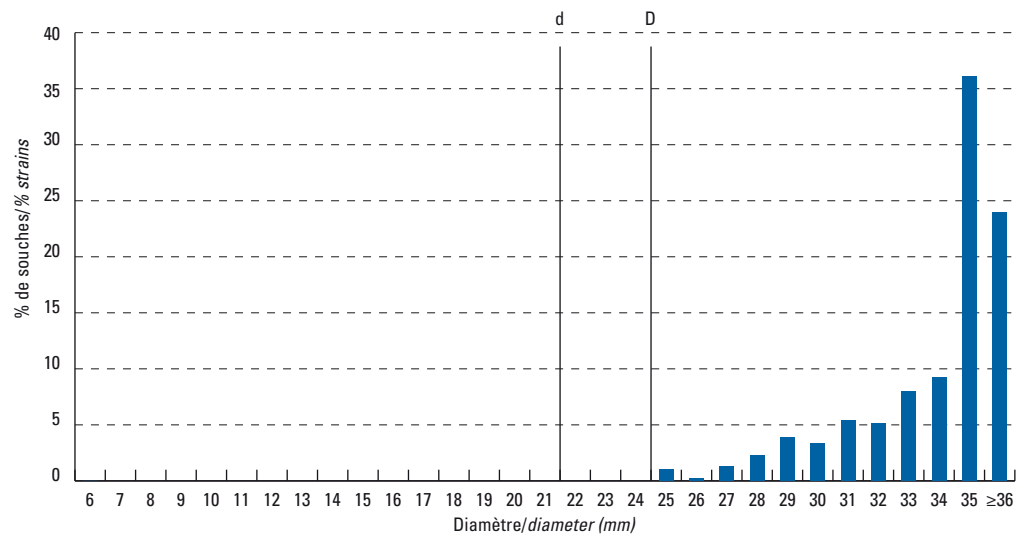


Figure 1.84

Escherichia coli
(163 souches) : distribution des diamètres d'inhibition pour la ciprofloxacine sur les souches intermédiaires ou résistantes à l'acide nalidixique, souches isolées de bactériémies

Escherichia coli
(163 strains): distribution of inhibition zone diameters for ciprofloxacin on nalidixic acid non-susceptible strains (I+R); strains isolated from bacteraemia (Réseau AZAY-Résistance, 2009). Cf. Tableau 1.10

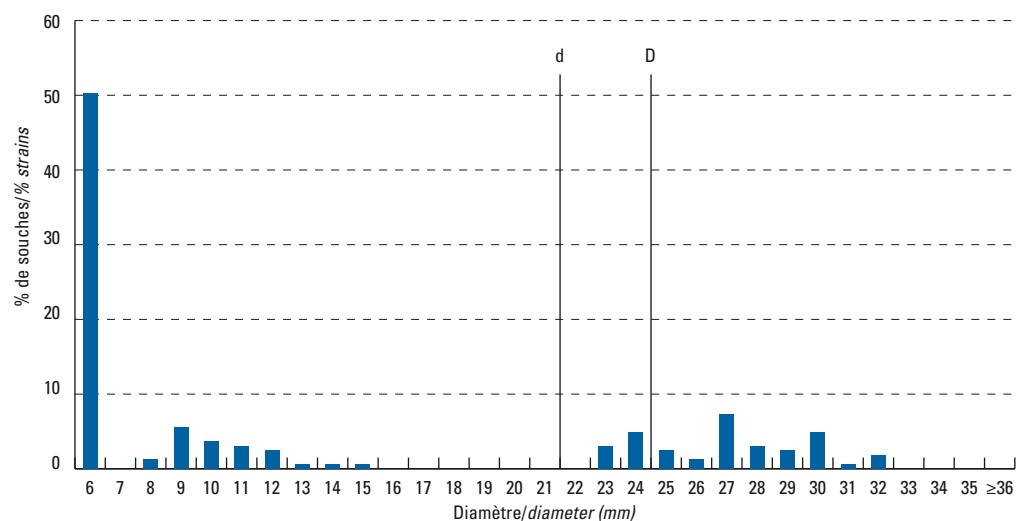


Figure 1.85

Escherichia coli

(350 souches) : distribution des diamètres d'inhibition pour amoxicilline-clavulanate sur les souches sensibles à l'amoxicilline, souches isolées de bactériémies

Escherichia coli

(350 strains): distribution of inhibition zone diameters for amoxicillin-clavulanate on strains susceptible to amoxicillin, strains isolated from bacteraemia (Réseau AZAY-Résistance, 2009). Cf. Tableau 1.10

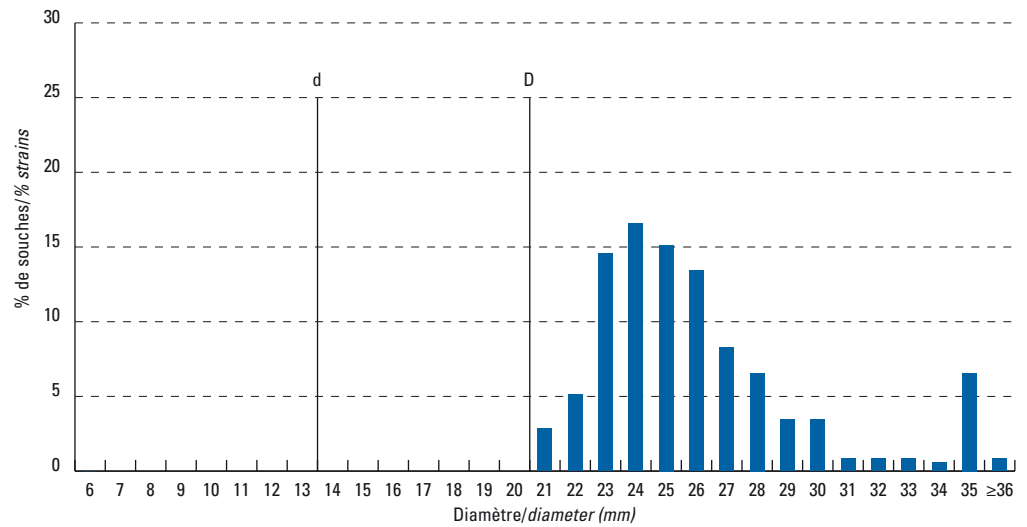


Figure 1.86

Escherichia coli

(520 souches) : distribution des diamètres d'inhibition pour amoxicilline-clavulanate sur les souches non sensibles à l'amoxicilline (I+R), souches isolées de bactériémies

Escherichia coli

(520 strains): distribution of inhibition zone diameters for amoxicillin-clavulanate on amoxicillin-non susceptible strains (I+R); strains isolated from bacteraemia (Réseau AZAY-Résistance, 2009). Cf. Tableau 1.10

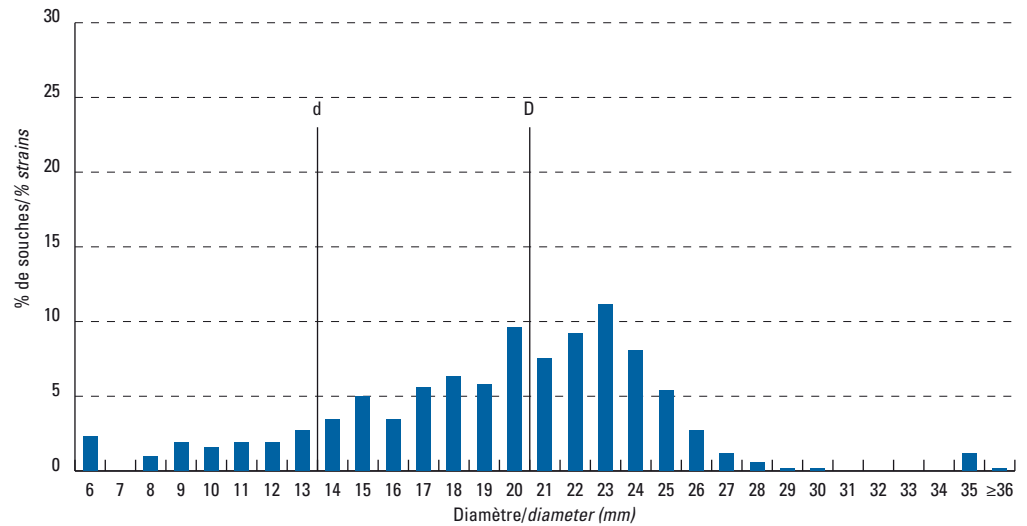


Figure 1.87

Escherichia coli

(541 souches) : distribution des diamètres d'inhibition pour le cotrimoxazole

Escherichia coli

(541 strains): distribution of inhibition zone diameters for cotrimoxazole; strains isolated from bacteraemia (Réseau AZAY-Résistance, 2009). Cf. Tableau 1.10

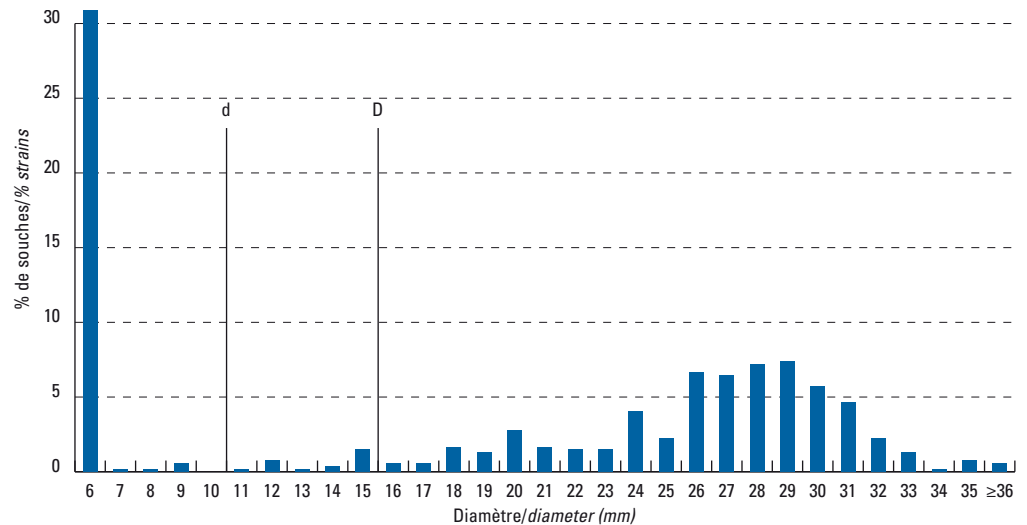


Figure 1.88

Escherichia coli

(2 949 souches) : distribution des diamètres d'inhibition pour l'amoxicilline, souches isolées de bovins

Escherichia coli

(2949 strains): distribution of inhibition zone diameters for amoxicillin; strains isolated from bovines (Réseau RESAPATH, 2009). Cf. Tableau 1.11

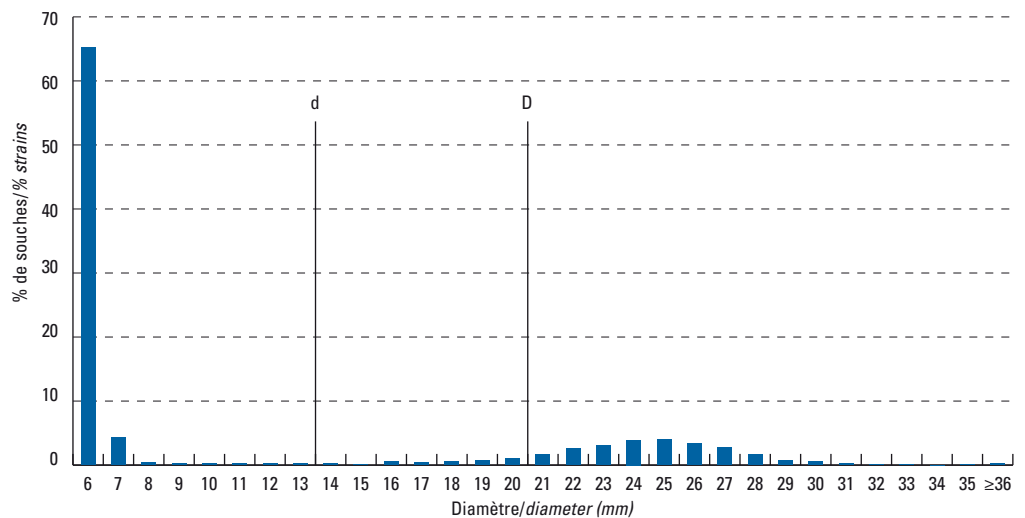


Figure 1.89

Escherichia coli

(3 354 souches) : distribution des diamètres d'inhibition pour l'association amoxicilline-clavulanate, souches isolées de bovins

Escherichia coli

(3354 strains): distribution of inhibition zone diameters for amoxicillin-clavulanate; strains isolated from bovines (Réseau RESAPATH, 2009). Cf. Tableau 1.11

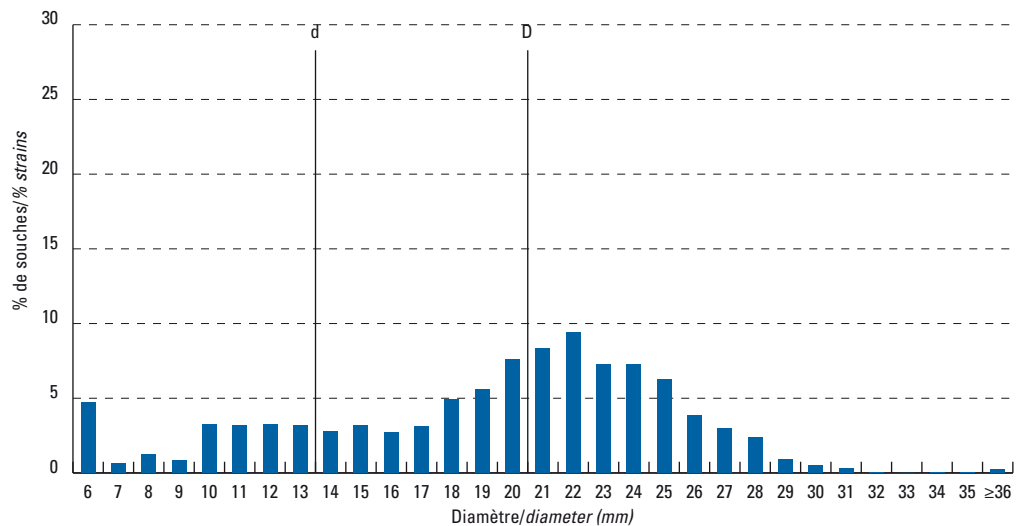


Figure 1.90

Escherichia coli

(3 287 souches) : distribution des diamètres d'inhibition pour le ceftiofur, souches isolées de bovins

Escherichia coli

(3287 strains): distribution of inhibition zone diameters for ceftiofur; strains isolated from bovines (Réseau RESAPATH, 2009). Cf. Tableau 1.11

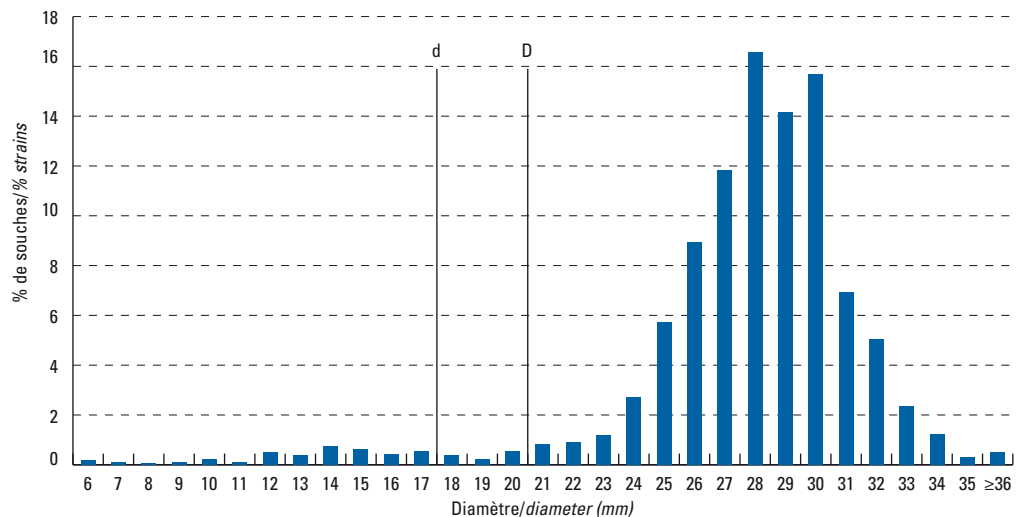


Figure 1.91

Escherichia coli

(3 419 souches) : distribution des diamètres d'inhibition pour la gentamicine, souches isolées de bovins

Escherichia coli

(3419 strains): distribution of inhibition zone diameters for gentamicin; strains isolated from bovines (Réseau RESAPATH, 2009). Cf. Tableau 1.11

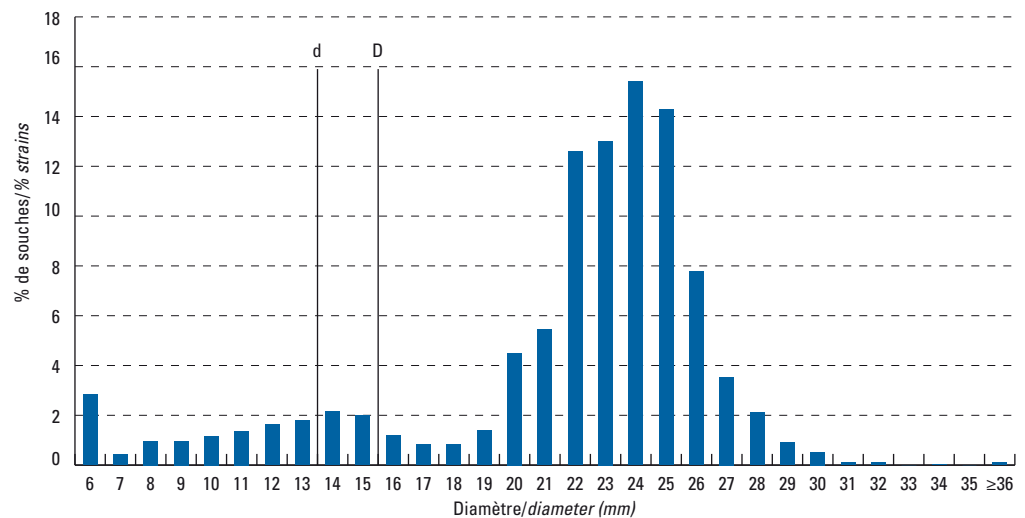


Figure 1.92

Escherichia coli

(3 113 souches) : distribution des diamètres d'inhibition pour l'enrofloxacin, souches isolées de bovins

Escherichia coli

(3113 strains): distribution of inhibition zone diameters for enrofloxacin; strains isolated from bovines (Réseau RESAPATH, 2009). Cf. Tableau 1.11

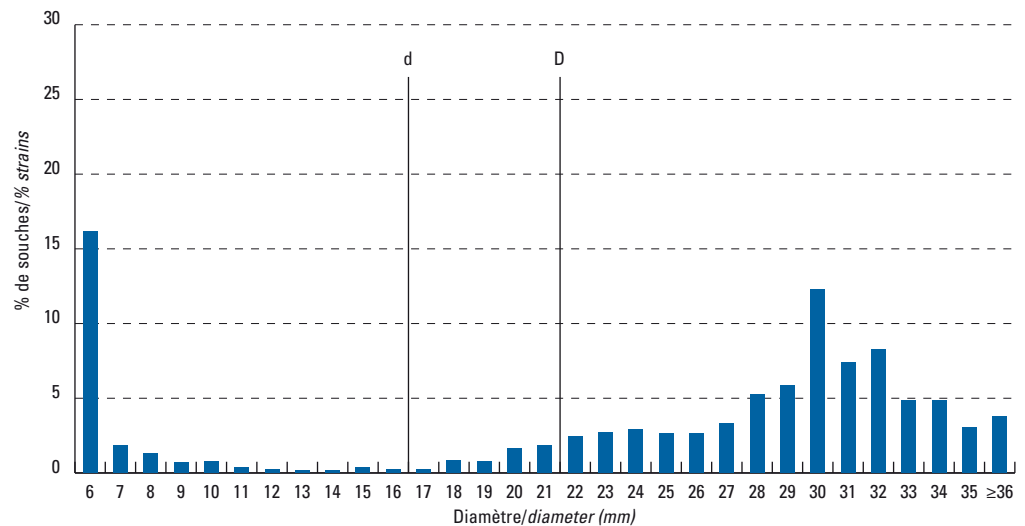


Figure 1.93

Streptococcus uberis

(1 200 souches) : distribution des diamètres d'inhibition pour l'érythromycine, souches isolées de bovins

Streptococcus uberis

(1200 strains): distribution of inhibition zone diameters for erythromycin; strains isolated from bovines (Réseau RESAPATH, 2009). Cf. Tableau 1.12

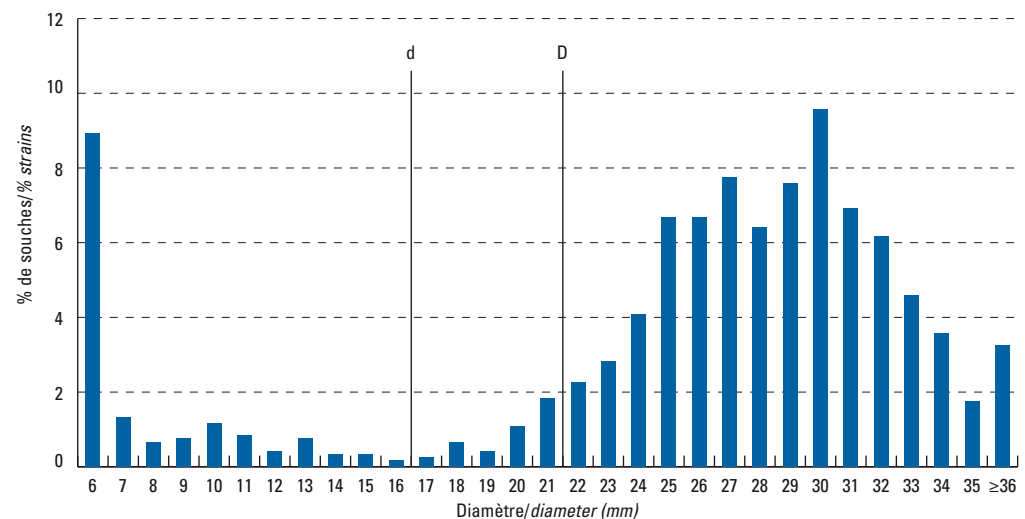


Figure 1.94

Streptococcus uberis
(1 197 souches) : distribution des diamètres d'inhibition pour la lincomycine, souches isolées de bovins

Streptococcus uberis
(1 197 strains): distribution of inhibition zone diameters for lincomycin; strains isolated from bovines (Réseau RESAPATH, 2009).
Cf. Tableau 1.12

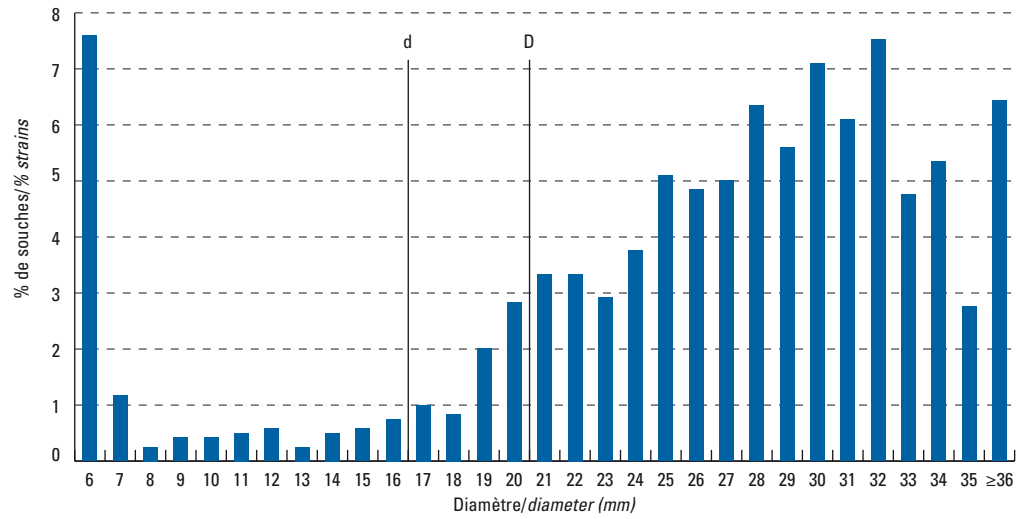


Figure 1.95

Streptococcus uberis
(1 312 souches) : distribution des diamètres d'inhibition pour la spiramycine, souches isolées de bovins

Streptococcus uberis
(1 312 strains): distribution of inhibition zone diameters for spiramycin; strains isolated from bovines (Réseau RESAPATH, 2009).
Cf. Tableau 1.12

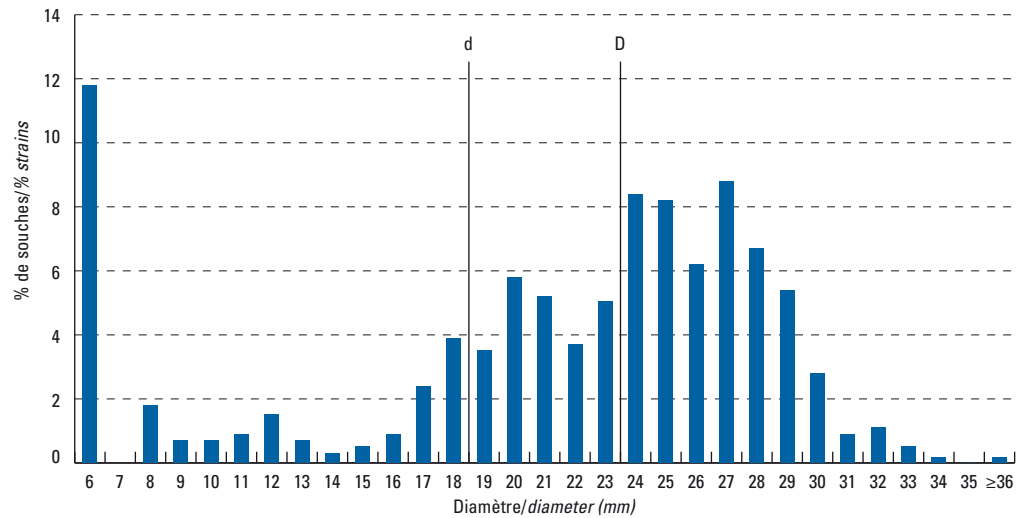


Figure 1.96

Streptococcus uberis
(1 167 souches) : distribution des diamètres d'inhibition pour la tétracycline, souches isolées de bovins

Streptococcus uberis
(1 167 strains): distribution of inhibition zone diameters for tetracycline; strains isolated from bovines (Réseau RESAPATH, 2009).
Cf. Tableau 1.12

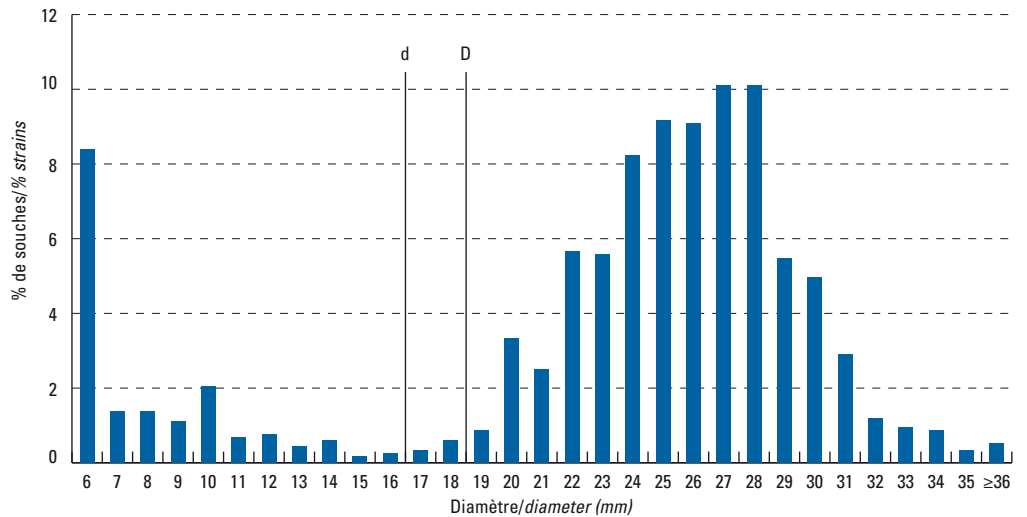


Tableau 1.1 - Escherichia coli non BLSE : distribution des diamètres d'inhibition
Table 1.1 - Escherichia coli non ESBL : distribution of inhibition zone diameters (réseau REUSSIR, 2008). Cf. Figures 1.1 à 1.10

Souches Strains	d Antibiotique Antibiotic	D Total souches N strains	Nombre de souches ayant un diamètre (mm) de : /Number of strains with a diameter (mm) of:																															
			6	7	8	9	10	11	12	13	14	15	16	17	18	19	20	21	22	23	24	25	26	27	28	29	30	31	32	33	34	35	≥36	
Toutes/ All	Amoxicilline + clavulanate	14 21	220	13	33	47	137	138	216	219	228	219	269	266	372	433	715	978	1191	1415	1700	1669	1500	1404	1103	765	622	430	289	202	161	105	384	
	Ticarcilline + clavulanate	18 22	9294	156	5	13	21	51	72	85	100	95	111	156	154	241	196	228	202	634	463	466	431	390	358	379	481	582	576	586	500	472	341	749
	Pipéracilline + tazobactam	14 21	11858	12	0	0	1	1	4	6	16	20	23	38	40	63	93	117	219	242	267	371	426	684	859	1108	1172	1266	1074	964	833	613	472	849
Toutes/ All	Céfoxitine	15 22	9779	86	4	7	22	21	29	25	27	31	40	21	24	40	39	39	44	195	198	283	470	656	925	1082	1125	1103	875	664	506	343	270	585
	Céftaxime	23 26	15847	117	3	16	19	33	31	47	29	39	51	28	33	35	42	42	35	49	67	71	73	116	99	122	178	237	424	668	968	1268	1682	9225
	Ceftazidime	19 26	15885	75	6	10	13	28	21	40	22	39	48	49	71	74	66	60	65	61	68	81	120	221	351	655	953	1317	1641	1914	1780	1565	1324	3147
	Céfépime	17 24	10429	14	1	3	7	5	14	15	13	25	18	17	31	41	42	57	44	41	43	52	61	69	86	111	229	234	425	498	775	1007	6450	
	Cefpirome	17 24	1768	16	1	2	2	3	4	7	6	8	9	8	2	11	5	2	6	8	7	9	15	21	26	29	40	65	61	109	144	168	187	787
	Imipénème	17 24	11816	0	0	0	0	0	0	0	0	0	0	0	0	0	0	0	0	10	10	27	42	69	110	194	294	548	626	854	1079	1193	1375	5385
	Aztréonam	21 27	8671	18	0	2	3	9	11	8	7	11	16	12	16	19	35	36	48	42	59	57	55	51	81	86	136	188	258	402	544	751	897	4813

S : sensible/susceptible - R : résistant/resistant

Tableau 1.2 - Escherichia coli BLSE + : distribution des diamètres d'inhibition
Table 1.2 - Escherichia coli ESBL + : distribution of inhibition zone diameters (réseau REUSSIR, 2008). Cf. Figures 1.11 à 1.20

Souches Strains	d Antibiotique Antibiotic	D Total souches N strains	Nombre de souches ayant un diamètre (mm) de : /Number of strains with a diameter (mm) of:																															
			6	7	8	9	10	11	12	13	14	15	16	17	18	19	20	21	22	23	24	25	26	27	28	29	30	31	32	33	34	35	≥36	
Toutes/ All	Amoxicilline + clavulanate	14 21	1105	40	8	24	17	56	41	46	49	52	66	78	81	78	106	78	74	35	24	24	24	20	12	5	2	3	0	1	2	1	2	4
	Ticarcilline + clavulanate	18 22	525	20	3	3	9	7	8	14	18	22	27	36	28	50	31	38	30	71	38	36	13	7	3	6	2	1	1	0	0	0	1	0
	Pipéracilline + tazobactam	14 21	613	2	0	0	0	0	0	1	3	6	6	5	16	17	22	55	51	49	53	50	58	42	53	31	28	23	17	9	8	5	3	
	Céfoxitine	15 22	491	25	1	1	10	4	8	5	5	5	3	5	5	8	11	5	7	20	15	27	41	46	55	49	45	33	24	8	6	7	2	5
	Céftaxime	23 26	1064	173	5	38	38	48	52	44	52	41	46	49	49	46	52	54	30	48	46	39	28	28	9	13	9	8	4	6	2	1	2	4
	Ceftazidime	19 26	1013	53	5	13	11	17	25	30	29	48	60	62	73	69	53	49	42	36	41	40	56	37	40	34	25	13	17	21	6	3	2	3
	Céfépime	17 24	986	9	0	2	6	7	12	16	11	24	34	31	43	59	66	67	69	60	50	45	48	46	42	34	33	53	32	31	24	7	9	15
Cefpirome	17 24	139	5	0	0	3	9	4	13	12	12	14	8	2	8	2	2	4	2	6	2	6	3	2	1	3	2	4	4	1	3	0	2	
Imipénème	17 24	687	0	0	0	0	0	0	0	0	1	0	0	0	0	0	0	1	1	2	1	4	6	8	15	28	50	48	89	88	83	70	189	
Aztréonam	21 27	657	48	1	4	11	19	20	26	20	23	30	25	33	33	26	39	41	34	47	35	39	20	21	17	13	8	9	5	2	1	3	4	

S : sensible/susceptible - R : résistant/resistant

Tableau 1.3 - *Klebsiella pneumoniae* non BLSE : distribution des diamètres d'inhibition
Table 1.3 - *Klebsiella pneumoniae* non ESBL: distribution of inhibition zone diameters (réseau REUSSIR, 2008). Cf. Figures 1.21 à 1.30

Souches Strains	Antibiotique Antibiotic	d >=	Total souches N strains	Nombre de souches ayant un diamètre (mm) de : /Number of strains with a diameter (mm) of:																														
				6	7	8	9	10	11	12	13	14	15	16	17	18	19	20	21	22	23	24	25	26	27	28	29	30	31	32	33	34	35	>=36
Toutes/All	Amoxicilline + clavulanate	14	2022	17	1	0	5	6	11	10	23	19	30	28	32	19	24	42	75	63	84	115	197	203	233	204	159	124	97	71	31	42	16	41
	Ticaracilline + clavulanate	18	1210	37	2	1	2	10	8	7	15	13	16	8	8	18	16	23	10	83	65	65	96	100	150	121	109	77	46	32	22	15	12	23
	Pipéracilline + tazobactam	14	1448	7	0	2	2	3	1	4	6	4	8	11	10	26	17	16	36	50	62	94	125	145	177	161	128	122	69	58	33	28	14	29
	Céfoxitine	15	1260	21	0	0	2	2	5	6	3	3	5	7	8	12	5	5	10	67	75	70	108	124	168	141	114	97	59	52	28	24	11	28
	Céftoxime	23	1885	64	1	1	0	3	5	7	2	2	0	4	1	2	3	13	4	2	7	4	7	9	12	22	27	52	64	123	130	190	184	940
	Ceftazidime	19	1794	43	1	1	1	3	4	2	5	3	0	4	7	0	3	10	9	8	13	14	22	53	85	124	154	160	223	182	194	142	92	232
	Céfépime	17	1370	8	1	0	1	5	6	7	9	9	5	2	2	9	4	0	4	4	6	4	6	11	17	15	19	46	36	67	103	127	164	673
	Cefpirome	17	363	16	0	0	2	0	1	0	0	1	0	0	1	2	0	1	1	3	0	1	4	5	4	1	10	21	22	30	25	38	41	133
	Imipénème	17	1476	0	0	0	0	0	0	0	0	0	0	0	0	0	0	1	0	0	1	3	4	16	26	48	97	143	149	207	168	147	135	329
	Aztréonam	21	1016	17	0	2	3	1	1	2	1	0	2	1	2	0	0	1	2	0	0	1	1	4	9	11	12	29	37	44	74	77	98	575

S : sensible/susceptible - R : résistant/resistant

Tableau 1.4 - *Klebsiella pneumoniae* BLSE + : distribution des diamètres d'inhibition
Table 1.4 - *Klebsiella pneumoniae* ESBL +: distribution of inhibition zone diameters (réseau REUSSIR, 2008). Cf. Figures 1.31 à 1.40

Souches Strains	Antibiotique Antibiotic	d >=	Total souches N strains	Nombre de souches ayant un diamètre (mm) de : /Number of strains with a diameter (mm) of:																														
				6	7	8	9	10	11	12	13	14	15	16	17	18	19	20	21	22	23	24	25	26	27	28	29	30	31	32	33	34	35	>=36
Toutes/All	Amoxicilline + clavulanate	14	324	14	1	1	5	8	6	25	22	41	42	36	21	8	9	19	15	11	11	12	8	3	1	1	2	0	0	1	0	0	1	
	Ticaracilline + clavulanate	18	214	18	1	4	6	17	21	16	24	17	19	12	9	11	13	6	4	6	7	0	1	1	0	0	1	0	0	0	0	0	0	
	Pipéracilline + tazobactam	14	211	3	0	1	3	0	2	5	5	4	5	7	15	20	19	23	25	15	14	8	12	7	6	5	2	2	0	1	1	1	0	0
	Céfoxitine	15	233	3	1	0	2	0	1	1	2	1	3	3	3	4	3	8	17	28	33	30	31	17	16	9	9	2	1	3	2	0	0	0
	Céftoxime	23	316	101	5	24	10	4	10	7	12	6	6	5	5	9	9	25	6	14	14	6	8	7	4	6	4	2	0	2	1	3	0	1
	Ceftazidime	19	301	58	4	10	13	27	20	22	17	11	6	14	16	18	9	11	9	7	3	9	7	1	1	2	2	1	1	0	0	0	0	2
	Céfépime	17	291	5	0	0	2	3	7	13	22	25	21	16	18	14	10	8	11	7	9	14	11	14	11	13	11	9	5	1	4	2	2	3
	Cefpirome	17	118	17	6	6	17	13	11	2	1	0	2	2	3	3	4	0	5	9	6	3	3	1	2	0	1	0	0	0	0	0	1	0
	Imipénème	17	252	0	0	0	0	0	0	0	0	0	0	0	0	0	0	0	0	1	0	1	2	3	4	18	20	36	29	35	20	24	23	36
	Aztréonam	21	221	60	2	26	21	13	4	5	4	4	4	4	6	8	5	7	9	5	3	6	5	3	6	6	3	1	0	0	1	0	0	1

S : sensible/susceptible - R : résistant/resistant

Tableau 1.5 - Enterobacter aerogenes BLSE + : distribution des diamètres d'inhibition
Table 1.5 - Enterobacter aerogenes ESBL +: distribution of inhibition zone diameters (réseau REUSSIR, 2008). Cf. Figures 1.41 à 1.50

Souches Strains	Antibiotique Antibiotic	d D	Total souches N strains	Nombre de souches ayant un diamètre (mm) de : /Number of strains with a diameter (mm) of:																															
				6	7	8	9	10	11	12	13	14	15	16	17	18	19	20	21	22	23	24	25	26	27	28	29	30	31	32	33	34	35	≥36	
Toutes/All	Amoxicilline + clavulanate	14 21	237	25	0	3	2	11	15	32	30	27	23	21	19	13	6	5	0	1	1	1	1	0	1	0	0	0	0	0	0	0	0	0	
	Ticarcilline + clavulanate	18 22	116	3	0	0	0	3	4	6	4	7	9	7	10	23	16	12	4	3	2	1	2	0	0	0	0	0	0	0	0	0	0	0	
	Pipéracilline + tazobactam	14 21	129	0	1	0	0	0	0	0	0	0	2	6	3	5	10	11	33	14	8	17	7	2	1	2	1	2	1	0	2	0	1	0	
	Céfoxitine	15 22	104	97	0	0	1	1	2	0	0	0	0	0	0	0	0	1	0	0	1	0	1	0	0	0	0	0	0	0	0	0	0	0	
	Céfotaxime	23 26	197	5	1	2	0	4	1	2	3	3	9	15	4	11	8	11	14	11	10	21	13	12	14	9	4	3	1	2	3	1	0	0	
	Ceftazidime	19 26	220	141	6	4	6	7	2	5	4	4	3	4	5	5	3	5	2	3	3	5	1	1	1	0	0	0	0	0	0	0	0	0	0
	Céfépime	17 24	207	2	0	0	0	0	1	1	0	3	0	1	1	2	2	5	7	10	11	16	18	26	17	26	15	10	5	14	6	3	0	0	
	Cefpirome	17 24	40	1	0	0	0	0	0	0	0	0	1	0	0	0	1	1	1	1	0	2	2	3	6	7	5	2	2	4	0	0	1	0	0
	Imipénème	17 24	143	0	0	0	0	0	0	1	1	0	0	1	1	0	0	1	1	1	1	4	3	6	12	10	14	13	13	9	15	12	16	10	0
	Aztréonam	21 27	117	3	0	0	0	2	2	5	7	3	14	8	17	5	8	10	4	6	7	4	3	3	4	1	1	0	0	0	0	0	0	0	0

S : sensible/susceptible - R : résistant/resistant

Tableau 1.6 - Enterobacter cloacae BLSE + : distribution des diamètres d'inhibition
Table 1.6 - Enterobacter cloacae ESBL +: distribution of inhibition zone diameters (réseau REUSSIR, 2008). Cf. Figures 1.51 à 1.60

Souches Strains	Antibiotique Antibiotic	d D	Total souches N strains	Nombre de souches ayant un diamètre (mm) de : /Number of strains with a diameter (mm) of:																																
				6	7	8	9	10	11	12	13	14	15	16	17	18	19	20	21	22	23	24	25	26	27	28	29	30	31	32	33	34	35	≥36		
Toutes/All	Amoxicilline + clavulanate	14 21	332	121	9	19	26	33	33	46	16	9	10	5	3	0	1	1	0	0	0	0	0	0	0	0	0	0	0	0	0	0	0	0		
	Ticarcilline + clavulanate	18 22	95	12	1	8	6	10	11	12	6	4	5	3	0	3	2	4	2	4	1	1	0	0	0	0	0	0	0	0	0	0	0	0	0	
	Pipéracilline + tazobactam	14 21	126	2	0	3	1	2	1	4	9	11	6	5	8	10	9	8	6	8	9	6	4	3	4	4	1	0	1	0	1	0	0	0	0	
	Céfoxitine	15 22	155	123	2	8	8	6	3	1	0	1	0	0	1	1	0	0	0	1	0	0	0	0	0	0	0	0	0	0	0	0	0	0	0	
	Céfotaxime	23 26	329	153	4	8	10	11	14	22	7	15	13	13	8	8	6	7	7	5	4	4	4	0	2	0	0	0	0	0	0	0	0	0	0	0
	Ceftazidime	19 26	270	94	11	9	7	17	10	18	9	24	13	5	8	6	8	2	6	4	6	5	3	2	2	0	1	0	0	0	0	0	0	0	0	
	Céfépime	17 24	285	6	0	0	1	1	1	1	1	2	3	3	5	9	12	13	12	20	17	22	21	23	22	14	14	10	16	5	12	12	4	1	3	
	Cefpirome	17 24	46	0	0	0	0	1	3	0	1	4	1	0	1	8	2	5	3	4	1	3	3	1	0	1	0	1	2	1	0	1	0	0	0	0
	Imipénème	17 24	166	0	0	0	0	0	0	0	0	0	0	0	0	1	0	0	1	0	2	3	6	16	7	21	32	24	22	15	5	7	2	1	0	
	Aztréonam	21 27	140	19	0	2	1	5	3	9	10	9	9	8	8	11	11	13	4	6	2	1	2	1	2	1	0	2	0	1	0	0	0	0	0	0

S : sensible/susceptible - R : résistant/resistant

Tableau 1.7 - *Klebsiella pneumoniae* BLSE + : distribution des diamètres d'inhibition
Table 1.7 - *Klebsiella pneumoniae* ESBL +: distribution of inhibition zone diameters (réseau REUSSIR, 2008). Cf. Figures 1.66 à 1.70

Souches Strains	Antibiotique Antibiotic	d ≥	Total souches N/strains	Nombre de souches ayant un diamètre (mm) de :/Number of strains with a diameter (mm) of:																															
				6	7	8	9	10	11	12	13	14	15	16	17	18	19	20	21	22	23	24	25	26	27	28	29	30	31	32	33	34	35	≥36	
Toutes/All	Acide nalidixique	15	20	203	0	2	0	1	3	1	1	3	2	0	2	1	3	1	1	8	3	1	2	1	1	1	0	0	1	0	0	0	0	0	
	Ciprofloxacine	22	25	191	0	2	1	0	2	0	3	2	0	1	0	0	1	2	4	2	3	7	2	1	4	1	4	2	4	1	1	1	5		
	Gentamicine	16	18	63	2	6	16	18	21	11	15	5	1	3	1	2	1	4	8	12	11	9	9	7	10	10	3	4	1	0	2	1	0	1	
	Tobramycine	16	18	107	8	19	21	19	15	8	3	8	2	2	1	3	4	8	5	1	7	5	4	3	0	0	0	0	1	0	0	0	0	0	
	Amikacine	15	17	2	0	0	0	1	1	1	4	11	21	13	25	27	38	28	22	18	10	8	11	6	7	0	1	0	0	1	0	0	0	0	

S : sensible/susceptible - R : résistant/resistant

Tableau 1.8 - *Enterobacter aerogenes* BLSE + : distribution des diamètres d'inhibition
Table 1.8 - *Enterobacter aerogenes* ESBL +: distribution of inhibition zone diameters (réseau REUSSIR, 2008). Cf. Figures 1.66 à 1.70

Souches Strains	Antibiotique Antibiotic	d ≥	Total souches N/strains	Nombre de souches ayant un diamètre (mm) de :/Number of strains with a diameter (mm) of:																																	
				6	7	8	9	10	11	12	13	14	15	16	17	18	19	20	21	22	23	24	25	26	27	28	29	30	31	32	33	34	35	≥36			
Toutes/All	Acide nalidixique	15	20	108	0	1	0	0	0	1	0	0	0	0	0	2	3	5	0	6	2	1	0	0	1	0	0	0	0	0	0	0	0	0			
	Ciprofloxacine	22	25	74	1	1	7	9	4	4	2	3	2	1	0	0	0	0	0	0	0	0	0	0	0	0	0	0	0	0	0	0	1	0	2	3	11
	Gentamicine	16	18	1	0	1	0	0	0	0	0	0	1	2	0	3	8	7	12	11	17	21	15	16	7	11	2	3	0	0	0	0	0	0	2		
	Tobramycine	16	18	20	0	10	15	32	15	1	3	1	3	0	0	2	4	3	5	4	4	8	3	4	1	0	0	0	0	0	0	0	0	0	0	0	
	Amikacine	15	17	1	0	0	0	1	0	2	1	2	6	15	21	30	11	5	8	3	6	11	4	6	3	3	2	0	0	0	0	0	0	0	0	0	

S : sensible/susceptible - R : résistant/resistant

Tableau 1.9 - *Enterobacter cloacae* BLSE + : distribution des diamètres d'inhibition
Table 1.9 - *Enterobacter cloacae* ESBL +: distribution of inhibition zone diameters (réseau REUSSIR, 2008). Cf. Figures 1.71 à 1.75

Souches Strains	Antibiotique Antibiotic	d ≥	Total souches N/strains	Nombre de souches ayant un diamètre (mm) de :/Number of strains with a diameter (mm) of:																															
				6	7	8	9	10	11	12	13	14	15	16	17	18	19	20	21	22	23	24	25	26	27	28	29	30	31	32	33	34	35	≥36	
Toutes/All	Acide nalidixique	15	20	111	1	0	2	3	1	3	5	9	3	3	1	0	1	1	4	4	1	3	6	4	0	1	2	0	0	0	0	0	0	0	
	Ciprofloxacine	22	25	76	2	3	2	2	4	7	3	2	2	1	5	1	5	1	1	2	1	1	0	2	2	6	6	3	1	1	1	4	1	20	
	Gentamicine	16	18	71	1	3	2	4	3	1	3	2	2	0	1	0	1	4	2	4	5	9	7	13	7	8	7	0	0	1	0	2	1	0	0
	Tobramycine	16	18	70	3	7	6	6	3	3	1	1	2	0	1	1	6	5	6	9	10	12	9	4	2	2	0	0	1	0	0	0	0	0	0
	Amikacine	15	17	0	0	0	0	0	0	0	1	1	9	12	22	12	13	9	16	14	21	13	6	4	2	3	1	1	0	0	0	0	0	0	0

Tableau 1.10 - Escherichia coli : distribution des diamètres d'inhibition, souches responsables de bactériémies
Table 1.10 - Escherichia coli: distribution of inhibition zone diameters, strains isolated from bacteraemia (réseau Azay-résistance, 2009). Cf. Figures 1.76 à 1.87

Souches Strains	Antibiotique Antibiotic	d Total souches N strains	Nombre de souches ayant un diamètre (mm) de : /Number of strains with a diameter (mm) of:																																			
			6	7	8	9	10	11	12	13	14	15	16	17	18	19	20	21	22	23	24	25	26	27	28	29	30	31	32	33	34	35	≥36					
Toutes/All	Amoxicilline	14 21	486	4	5	10	1	4	2				2	1	5	2	5	21	39	48	60	54	35	30	19	11	7	2	2	1	1	22	1					
	Amoxicilline + clavulanate	14 21	879	5	10	8	10	8	10	10	14	18	26	18	30	34	30	53	50	67	110	100	82	61	35	26	13	3	3	3	2	29	4					
	Céfotaxime	15 21	877	14		5	3	4	2	4	4	4	4	5	5	4	2	3	4	4	3	1	3	2	3	10	10	16	31	56	92	90	254	239				
	Impipénème	17 22	869					1	1														4	11	18	41	65	101	119	135	85	68	170	50				
Gentamicine	16 18	877	19	9	16	8	6	1	2	4	0	5	2	1	1	8	8	33	67	112	144	187	113	63	29	23	7	4			3	2						
Cotrimoxazole	11 16	541	191	1	1	3			1	4	1	2	8	3	3	9	7	15	9	8	8	22	12	36	35	39	40	31	25	12	7	1	4	3				
Ac. nalidixique	15 20	558	148	1	7	2	3	2				1	1	1	2	3	17	26	32	52	64	54	64	31	24	9	6	1	5				3					
Ciprofloxacine	22 25	877	108	4	12	9	6	6	2	1	1	1							3	8	9	10	7	21	18	23	27	28	42	44	54	166	267					
S ac. nalidixique	22 25	388																					4	1	5	9	15	13	21	20	31	36	140	93				
R ac. nalidixique	22 25	163	82	2	9	6	5	4	1	1	1									5	8	4	2	12	5	4	8	1	3									
S amoxicilline + clavulanate	14 21	350																10	18	51	58	53	47	29	23	12	12	3	3	3	2	23	3					
R amoxicilline + clavulanate	14 21	520	12	5	10	8	10	8	10	10	14	18	26	18	29	33	30	50	39	48	58	42	28	14	6	3	1	1				6	1					

S : sensible/susceptible - R : résistant/resistant

Tableau 1.11 - *Escherichia coli* : distribution des diamètres d'inhibition, tous prélèvements chez les bovins
Table 1.11 - *Escherichia coli* : distribution of inhibition zone diameters, strains isolated from bovines (réseau RESAPATH, 2009). Cf. Figures 1.88 à 1.92

Souches Strains	d	D	Total souches N strains	Nombre de souches ayant un diamètre (mm) de : / Number of strains with a diameter (mm) of:																														
				6	7	8	9	10	11	12	13	14	15	16	17	18	19	20	21	22	23	24	25	26	27	28	29	30	31	32	33	34	35	≥36
Toutes/All	Antibiotique Antibiotic	<		1923	129	11	6	9	6	6	9	7	2	18	11	16	22	32	50	75	90	116	118	99	83	48	23	15	7	4	3	1	2	8
		≥	2949																															
		<		159	22	41	29	109	107	109	107	93	106	90	105	165	187	255	280	316	243	209	130	101	79	30	17	10	2	0	1	1	8	
		≥	3354																															
		<		3287	6	3	2	3	7	4	17	13	24	21	14	18	12	8	18	27	30	39	89	188	294	389	544	465	516	227	166	77	40	10
	≥	3419																																
	<		97	15	33	33	40	47	56	61	74	68	41	28	28	48	154	186	430	445	527	488	266	121	72	31	18	4	3	0	1	0	4	
	≥	3113																																
	<		504	58	41	21	25	11	8	6	6	11	7	8	27	23	50	57	76	85	91	82	83	104	164	183	382	230	257	151	150	95	117	
	≥	3113																																

Tableau 1.12 - *Streptococcus uberis* : distribution des diamètres d'inhibition, tous prélèvements chez les bovins
Table 1.12 - *Streptococcus uberis* : distribution of inhibition zone diameters, strains isolated from bovines (réseau RESAPATH, 2009). Cf. Figures 1.93 à 1.96

Souches Strains	d	D	Total souches N strains	Nombre de souches ayant un diamètre (mm) de : / Number of strains with a diameter (mm) of:																														
				6	7	8	9	10	11	12	13	14	15	16	17	18	19	20	21	22	23	24	25	26	27	28	29	30	31	32	33	34	35	≥36
Toutes/All	Antibiotique Antibiotic	<		107	16	8	9	14	10	5	9	4	4	2	3	8	5	13	22	27	34	49	80	80	93	77	91	115	83	74	55	43	21	39
		≥	1200																															
		<		91	14	3	5	6	7	3	6	7	9	12	10	24	34	40	40	35	45	61	58	60	76	67	85	73	90	57	64	33	77	
		≥	1197																															
		<		109	18	7	14	20	8	14	20	5	3	13	23	31	42	84	89	96	81	70	81	70	81	70	78	85	73	71	35	27	17	5
	≥	1312																																
	<		98	16	16	13	24	8	9	5	7	2	3	4	7	10	39	29	66	65	96	107	106	118	118	64	58	34	14	11	10	4	6	
	≥	1167																																